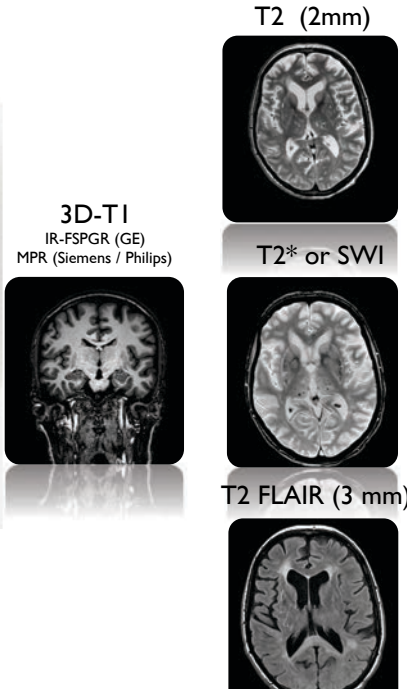
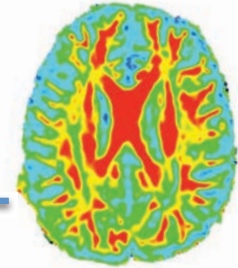




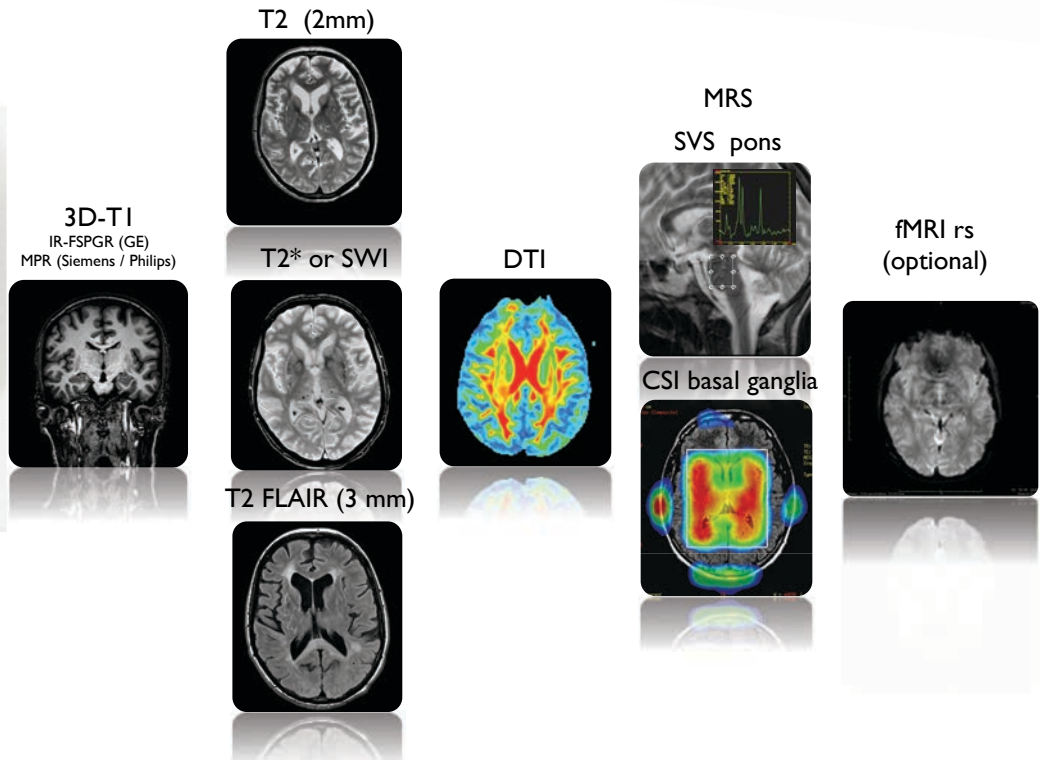
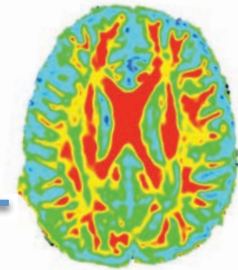
IRM multimodale après agression cérébrale

Dr Nicolas Adam
CCA Réanimation chirurgicale polyvalente Husson Mourier
Groupe hospitalier Pitié-Salpêtrière

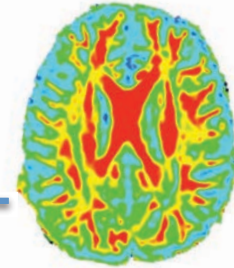
IRM morphologique



IRM multimodale

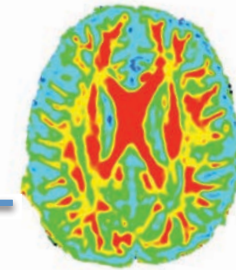


Plan

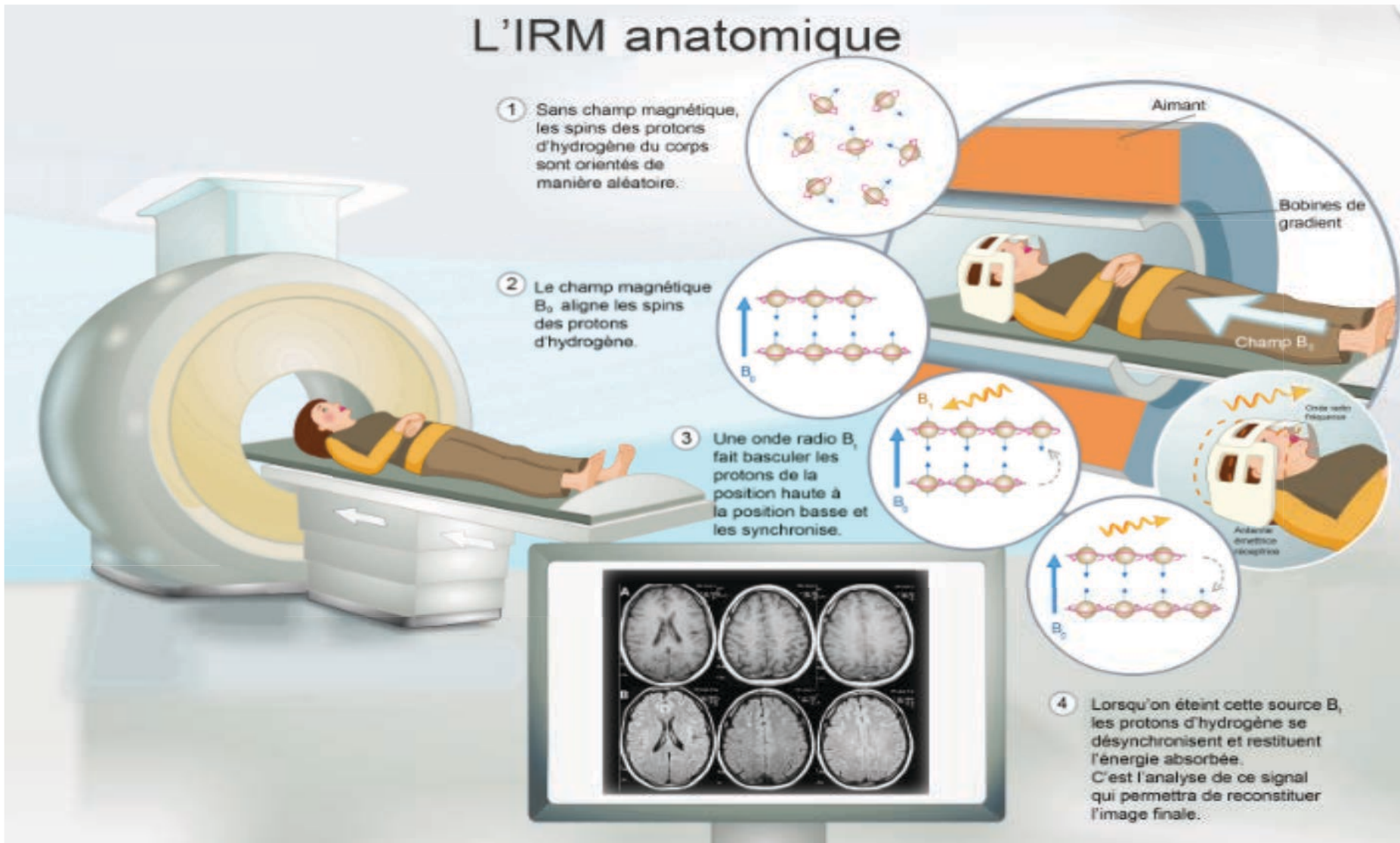


- IRM morphologique rappels
- IRM en tenseur de diffusion
- Spectro-IRM
- IRM fonctionnelle-RS-BOLD
- Applications

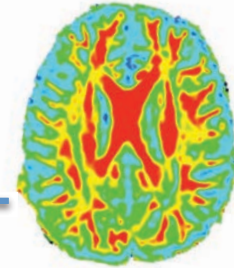
IRM morphologique



L'IRM anatomique

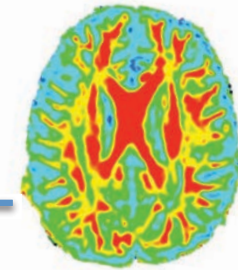


Plan

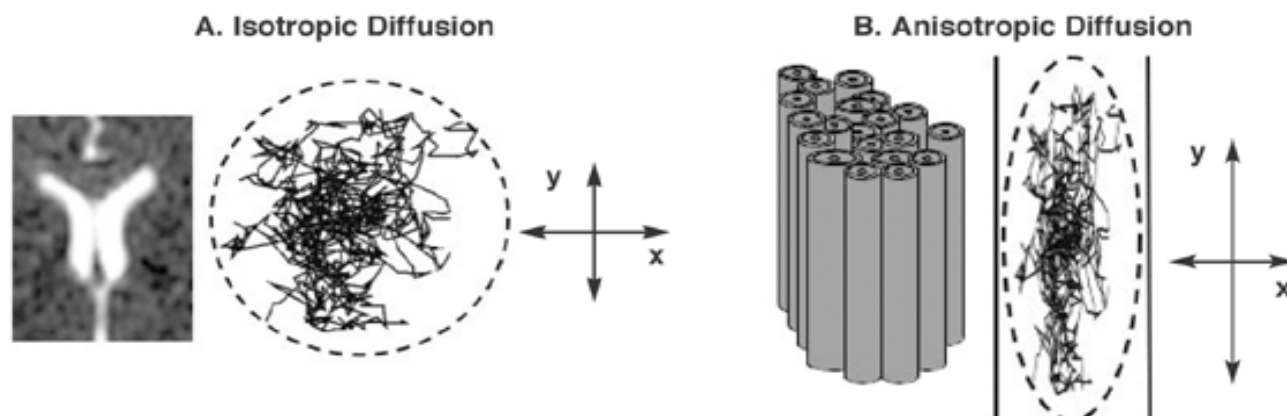


- IRM morphologique rappels
- IRM en tenseur de diffusion
- Spectro-IRM
- IRM fonctionnelle-RS-BOLD
- Applications

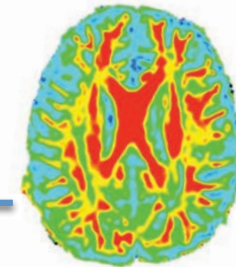
DWI



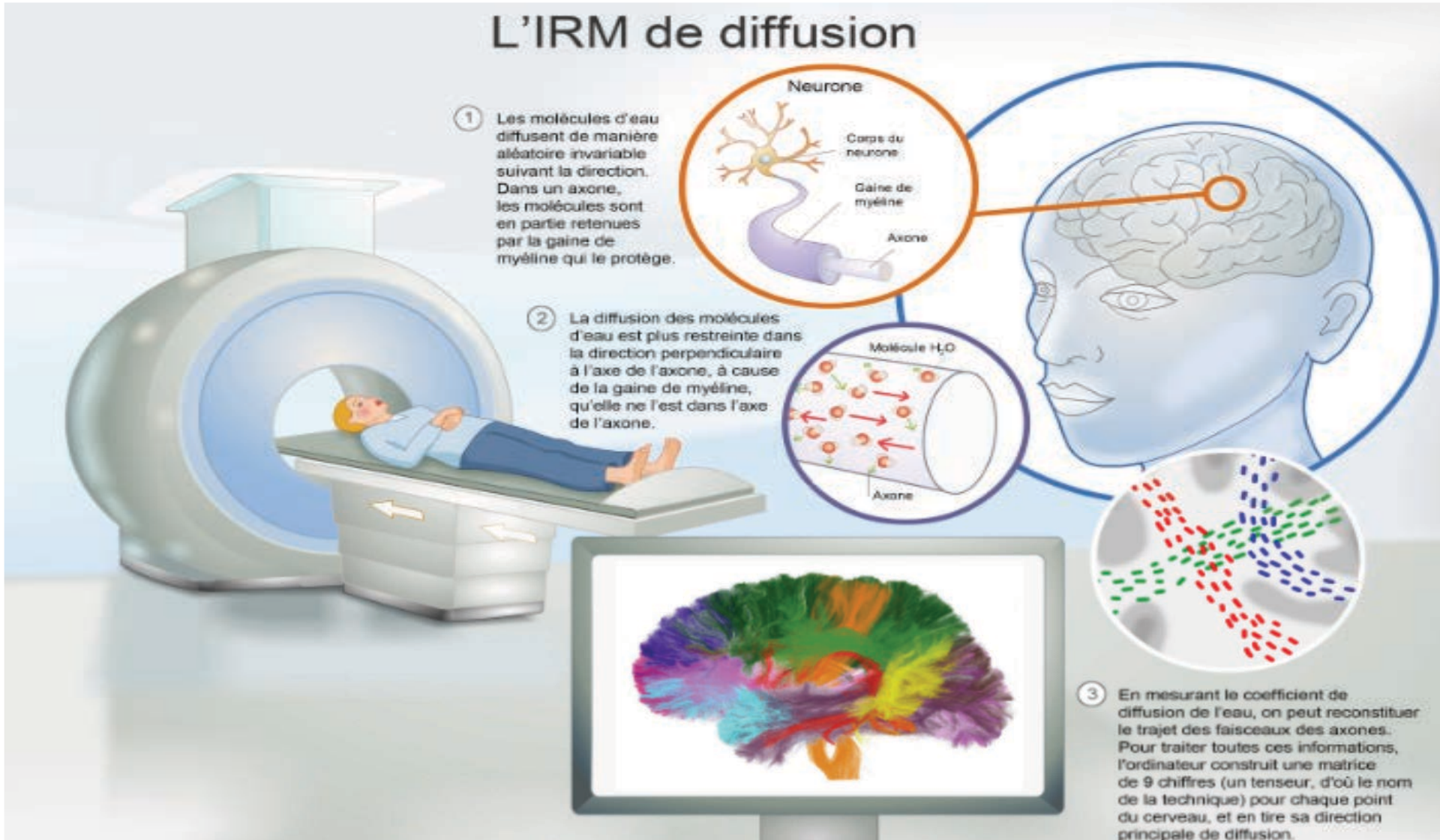
- Quand on parle de diffusion, on parle des molécules d'eau
- Mouvements Browniens ou libres (LCR)
 - Diffusion isotrope
 - Ou restreints/constraints (axones)
 - Diffusion anisotrope



DWI



L'IRM de diffusion

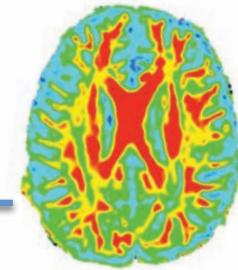


① Les molécules d'eau diffusent de manière aléatoire invariable suivant la direction. Dans un axone, les molécules sont en partie retenues par la gaine de myéline qui le protège.

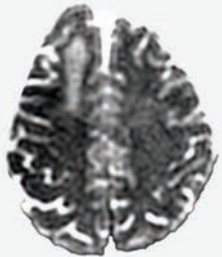
② La diffusion des molécules d'eau est plus restreinte dans la direction perpendiculaire à l'axe de l'axone, à cause de la gaine de myéline, qu'elle ne l'est dans l'axe de l'axone.

③ En mesurant le coefficient de diffusion de l'eau, on peut reconstituer le trajet des faisceaux des axones. Pour traiter toutes ces informations, l'ordinateur construit une matrice de 9 chiffres (un tenseur, d'où le nom de la technique) pour chaque point du cerveau, et en tire sa direction principale de diffusion.

DWI

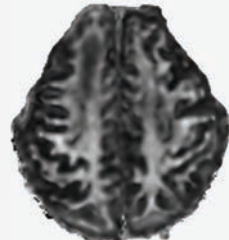


Mean Diffusivity (MD)
= ADC



$$MD = \bar{\lambda} = \frac{\lambda_1 + \lambda_2 + \lambda_3}{3}$$

Fractionnal Anisotropy (FA)



$$FA = \sqrt{\frac{2}{3}} \cdot \sqrt{\frac{(\lambda_1 - \bar{\lambda})^2 + (\lambda_2 - \bar{\lambda})^2 + (\lambda_3 - \bar{\lambda})^2}{\lambda_1^2 + \lambda_2^2 + \lambda_3^2}}$$

DWI



Mean Diffusivity (MD)
= ADC



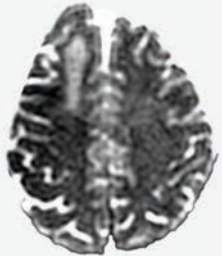
$$MD = \bar{\lambda} = \frac{\lambda_1 + \lambda_2 + \lambda_3}{3}$$

DWI

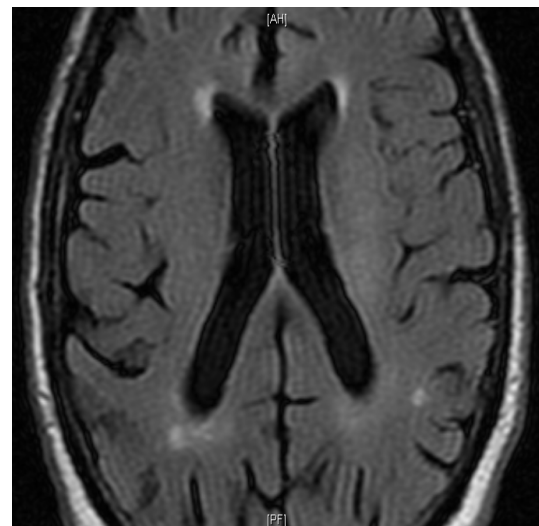


Hémiplégie droite brutale

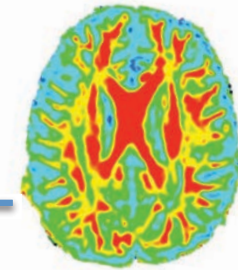
Mean Diffusivity (MD)
= ADC



$$MD = \bar{\lambda} = \frac{\lambda_1 + \lambda_2 + \lambda_3}{3}$$

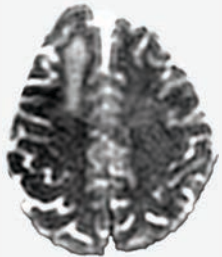


DWI

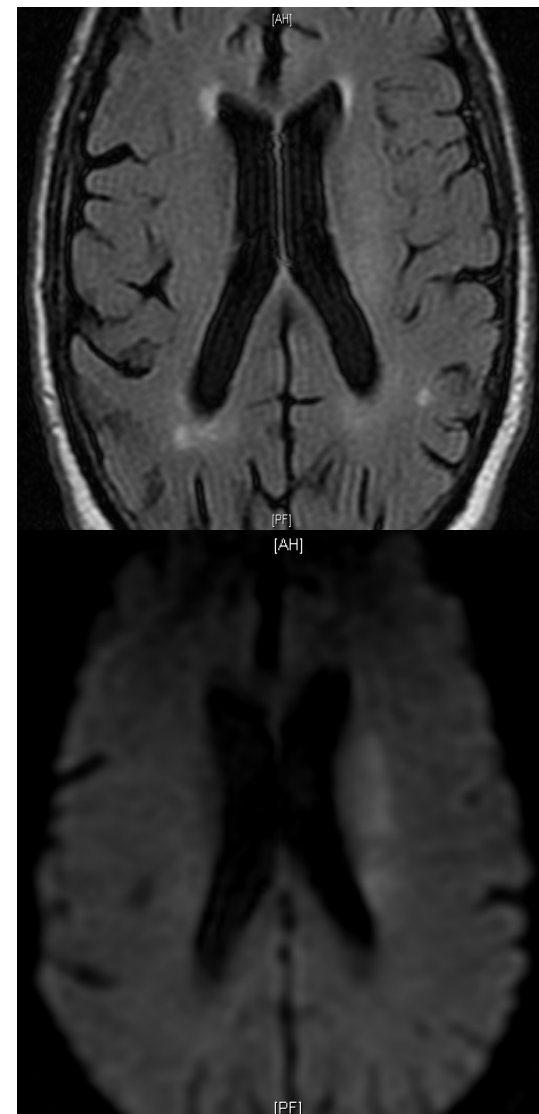


Hémiplégie droite brutale

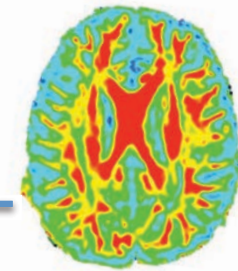
Mean Diffusivity (MD)
= ADC



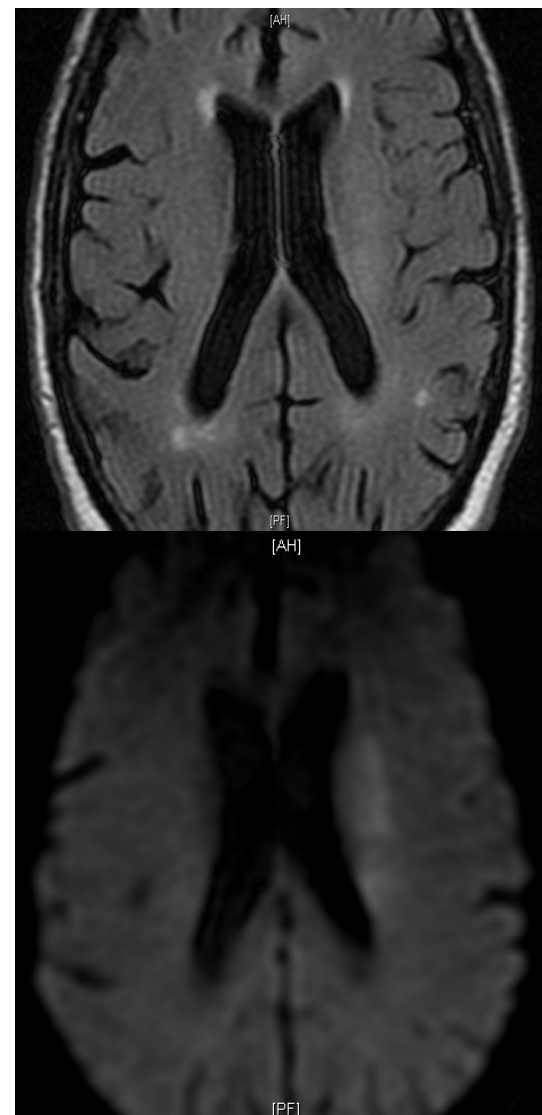
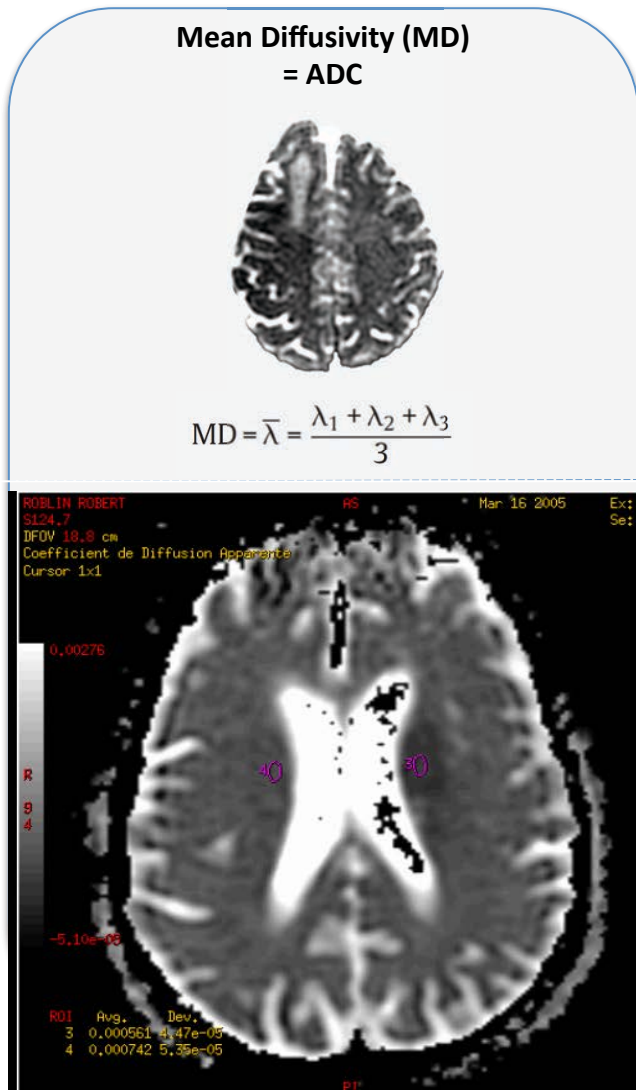
$$MD = \bar{\lambda} = \frac{\lambda_1 + \lambda_2 + \lambda_3}{3}$$



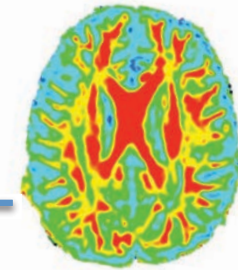
DWI



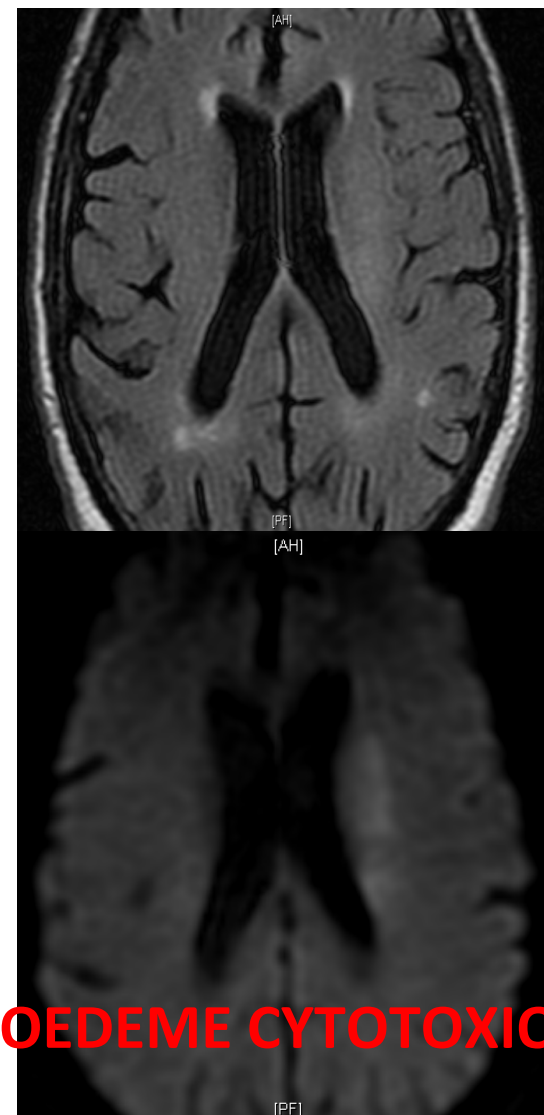
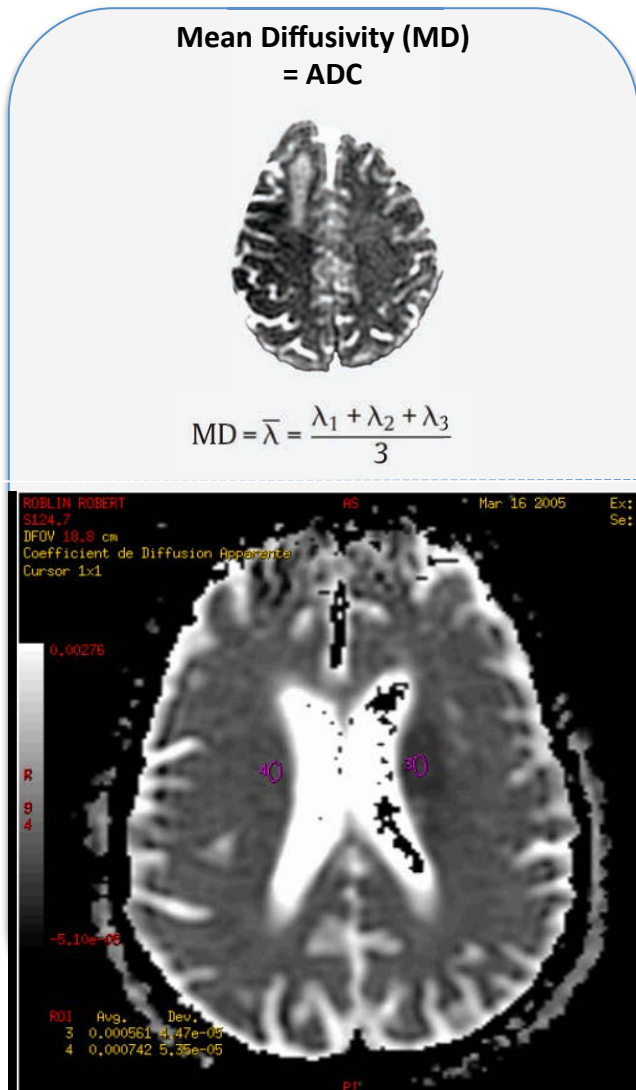
Hémiplégie droite brutale



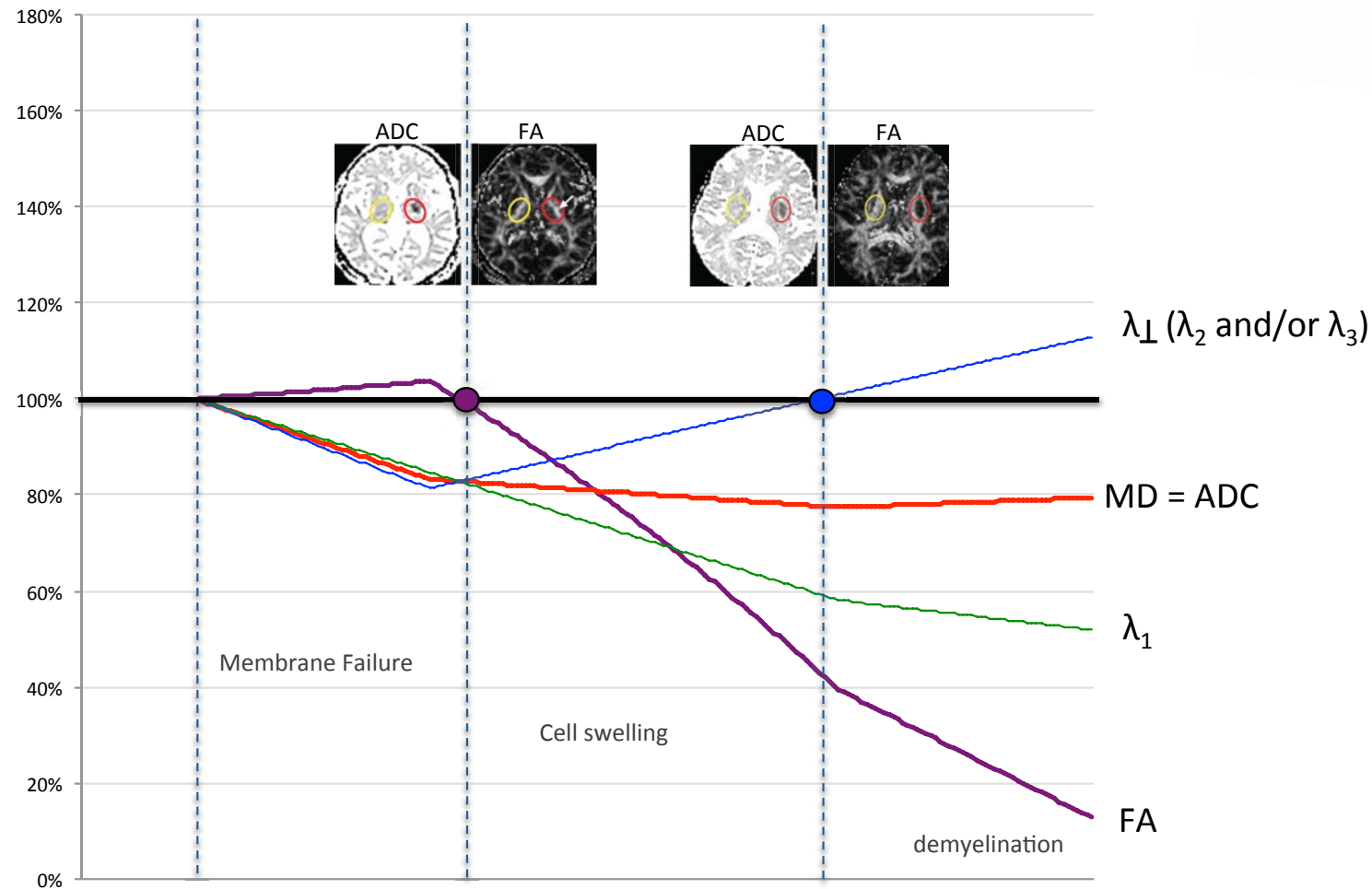
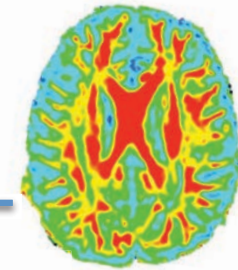
DWI



Hémiplégie droite brutale

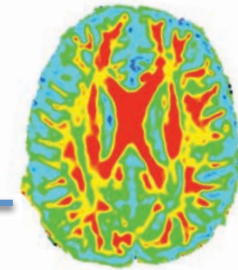


DWI & œdème cytotoxique

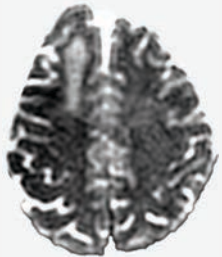


Courtesy from Lionel Velly

DWI

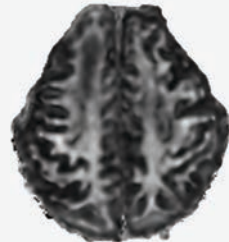


Mean Diffusivity (MD)
= ADC



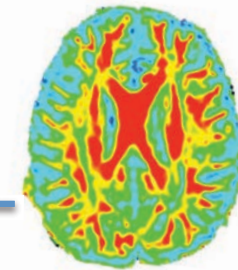
$$MD = \bar{\lambda} = \frac{\lambda_1 + \lambda_2 + \lambda_3}{3}$$

Fractionnal Anisotropy (FA)

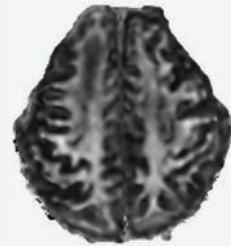


$$FA = \sqrt{\frac{2}{3}} \cdot \sqrt{\frac{(\lambda_1 - \bar{\lambda})^2 + (\lambda_2 - \bar{\lambda})^2 + (\lambda_3 - \bar{\lambda})^2}{\lambda_1^2 + \lambda_2^2 + \lambda_3^2}}$$

DWI

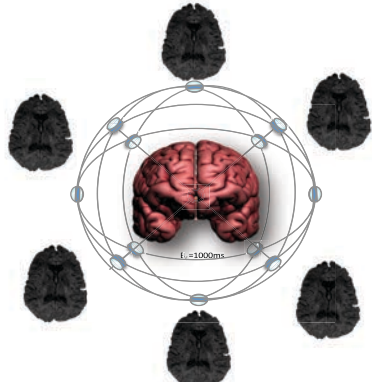
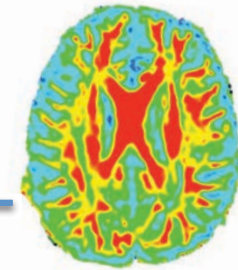


Fractionnal Anisotropy (FA)

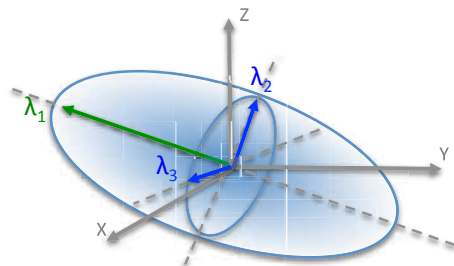


$$FA = \sqrt{\frac{2}{3}} \cdot \sqrt{\frac{(\lambda_1 - \bar{\lambda})^2 + (\lambda_2 - \bar{\lambda})^2 + (\lambda_3 - \bar{\lambda})^2}{\lambda_1^2 + \lambda_2^2 + \lambda_3^2}}$$

DWI

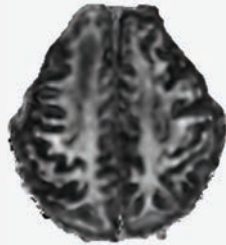


Minimum 6 directions



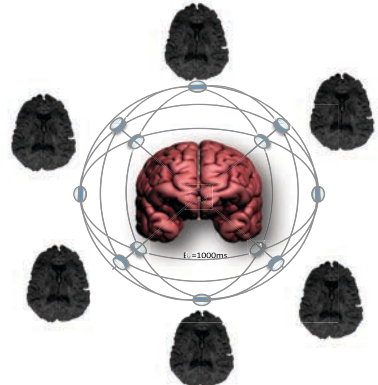
Cartographie en 3D

Fractionnal Anisotropy (FA)



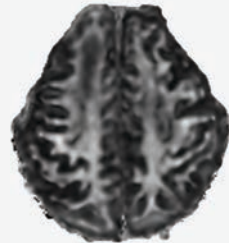
$$FA = \sqrt{\frac{2}{3}} \cdot \sqrt{\frac{(\lambda_1 - \bar{\lambda})^2 + (\lambda_2 - \bar{\lambda})^2 + (\lambda_3 - \bar{\lambda})^2}{\lambda_1^2 + \lambda_2^2 + \lambda_3^2}}$$

DWI

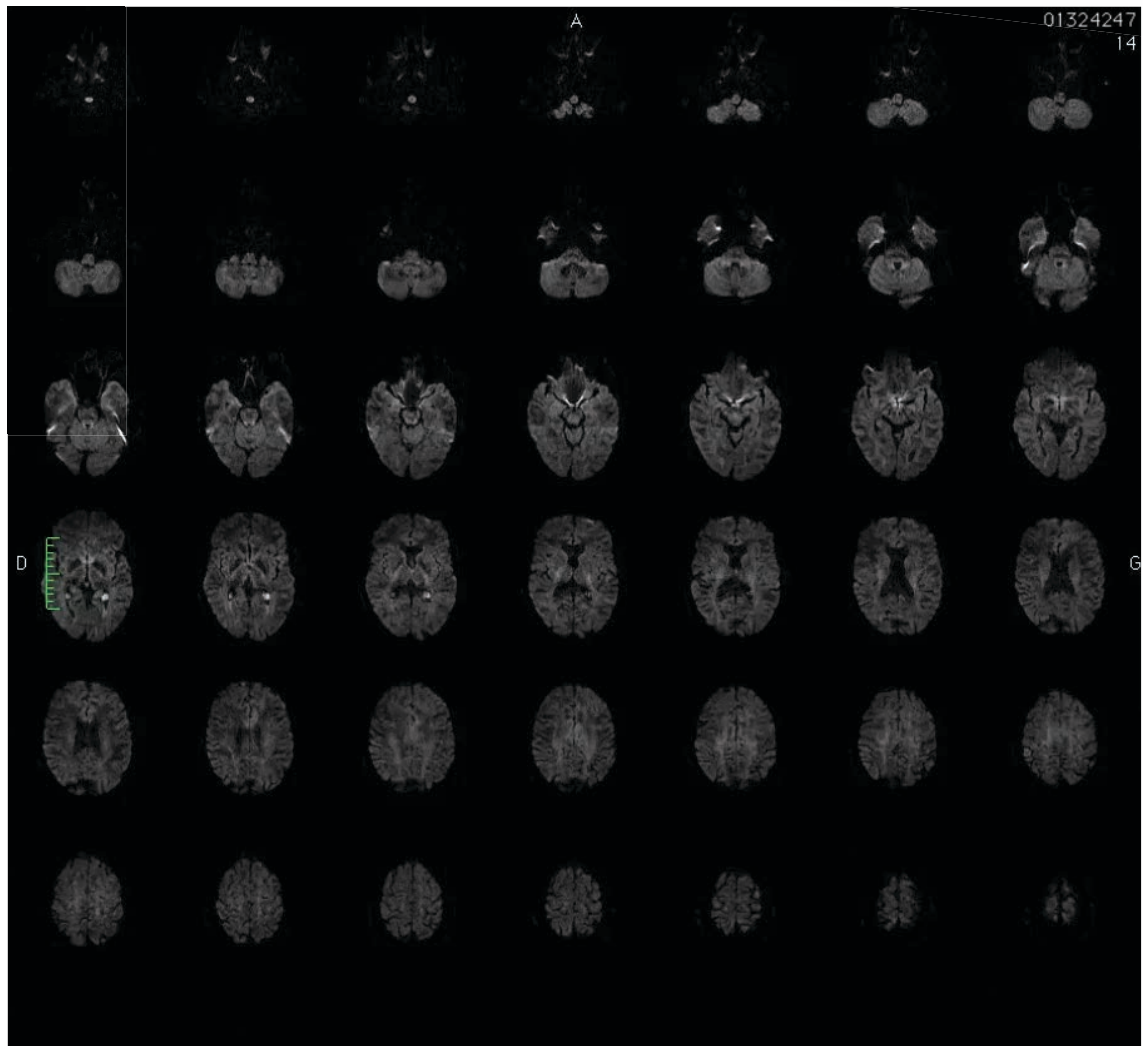


Minimum 6 directions

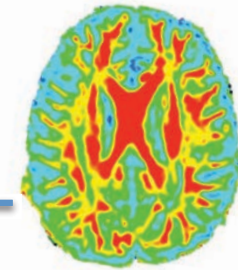
Fractionnal Anisotropy (FA)



$$FA = \sqrt{\frac{2}{3}} \cdot \sqrt{\frac{(\lambda_1 - \bar{\lambda})^2 + (\lambda_2 - \bar{\lambda})^2 + (\lambda_3 - \bar{\lambda})^2}{\lambda_1^2 + \lambda_2^2 + \lambda_3^2}}$$

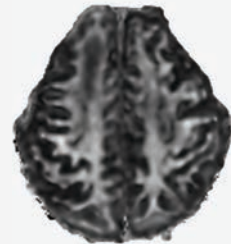


DWI



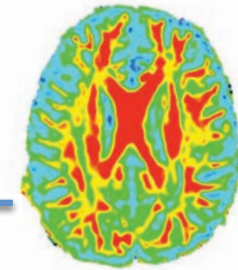
- L1= diffusivité axiale
- Lt=diffusivité radiale

Fractionnal Anisotropy (FA)

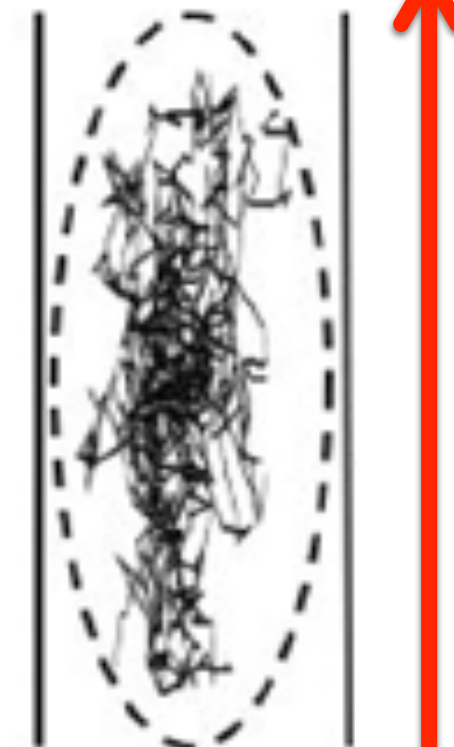
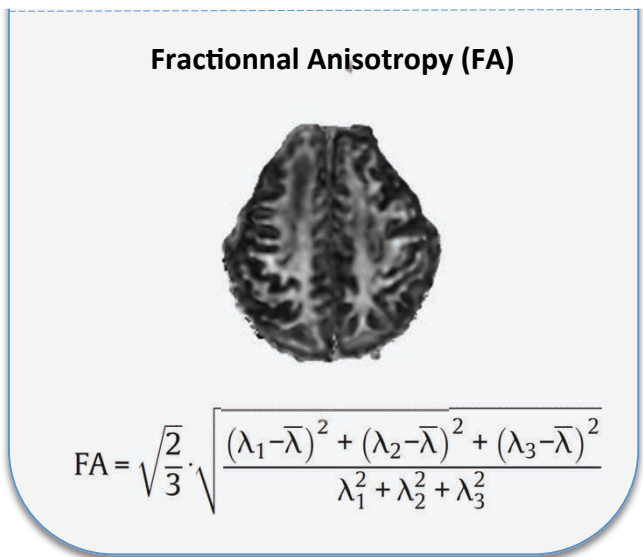


$$FA = \sqrt{\frac{2}{3}} \cdot \sqrt{\frac{(\lambda_1 - \bar{\lambda})^2 + (\lambda_2 - \bar{\lambda})^2 + (\lambda_3 - \bar{\lambda})^2}{\lambda_1^2 + \lambda_2^2 + \lambda_3^2}}$$

DWI



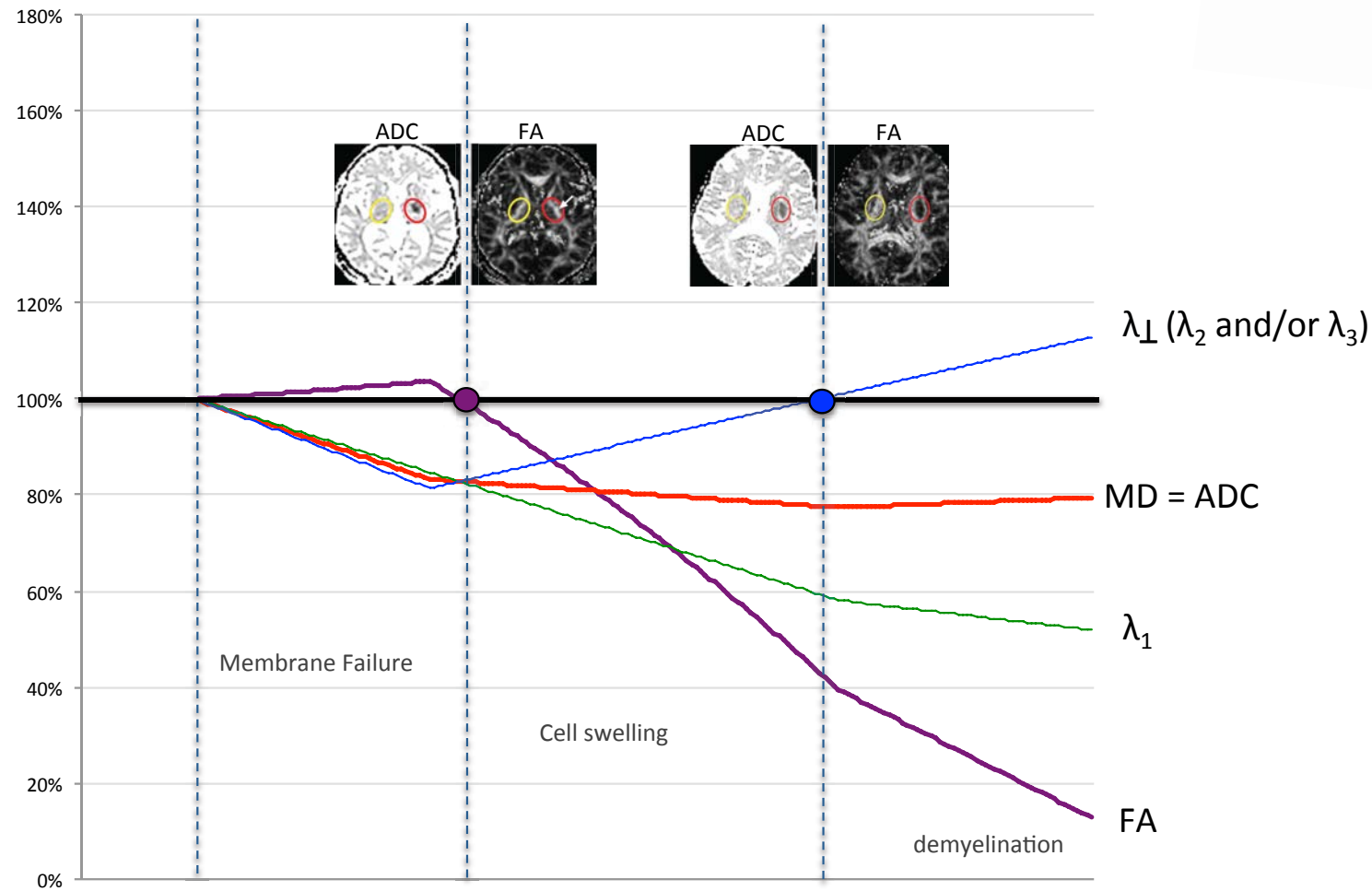
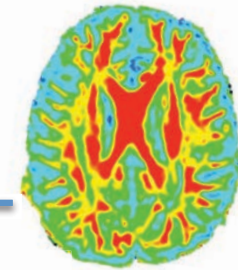
- L1= diffusivité axiale
- Lt=diffusivité radiale



Lt

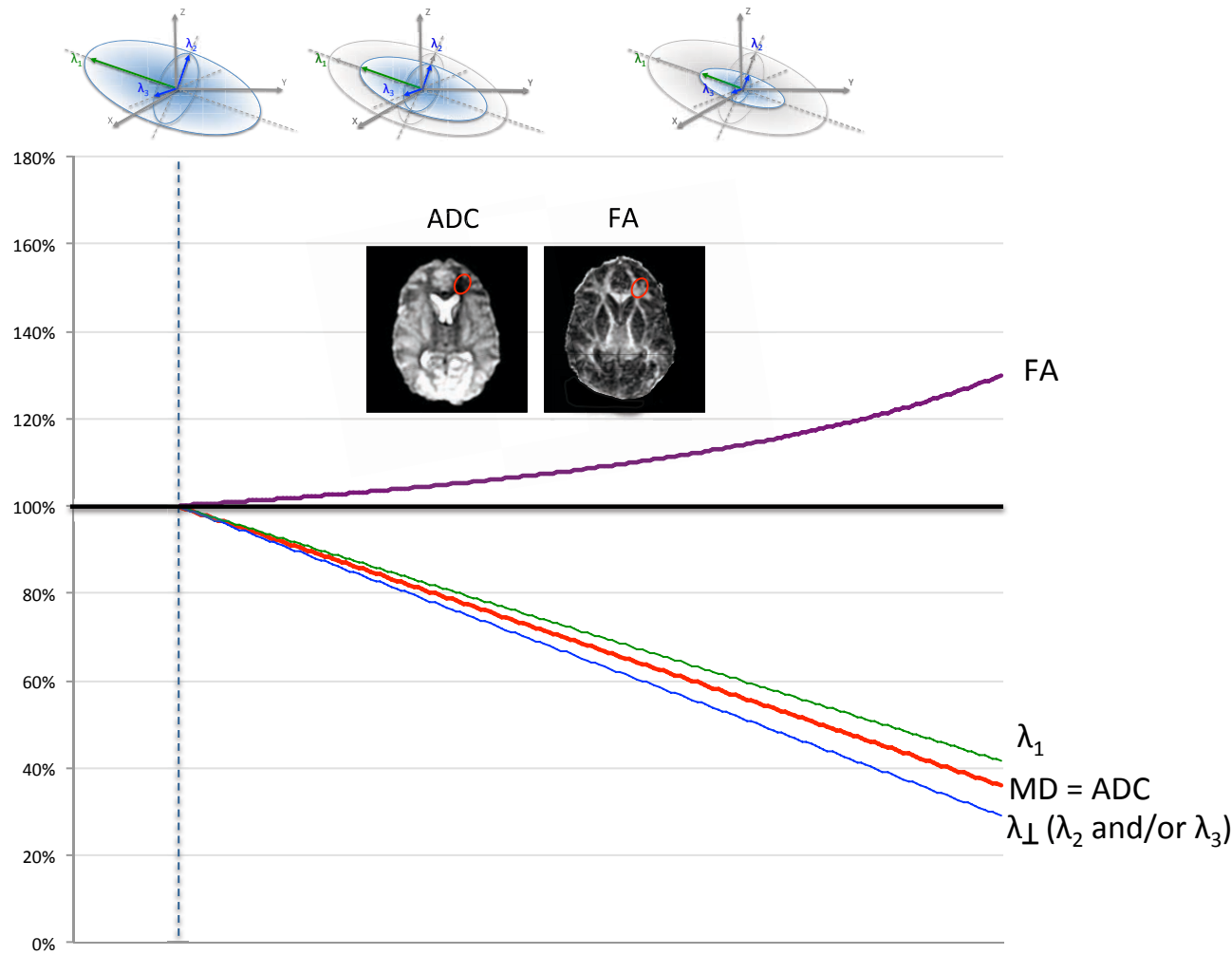
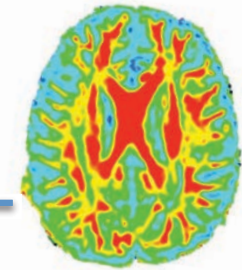
L1

DWI & œdème cytotoxique



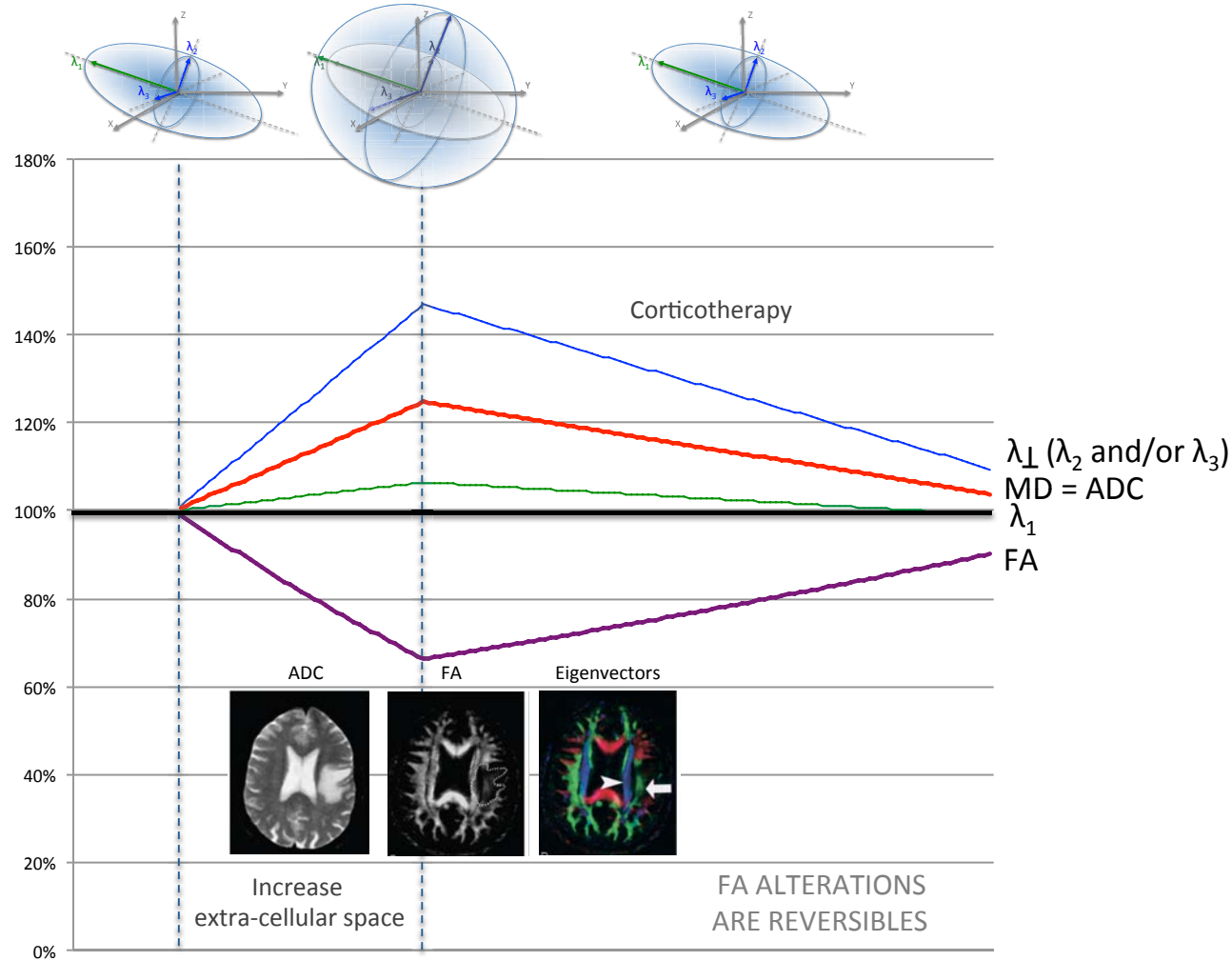
Courtesy from Lionel Velly

DWI & Ischémie aiguë



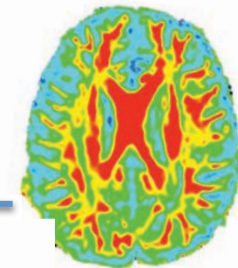
Courtesy from Lionel Velly

DWI & œdème vasogénique

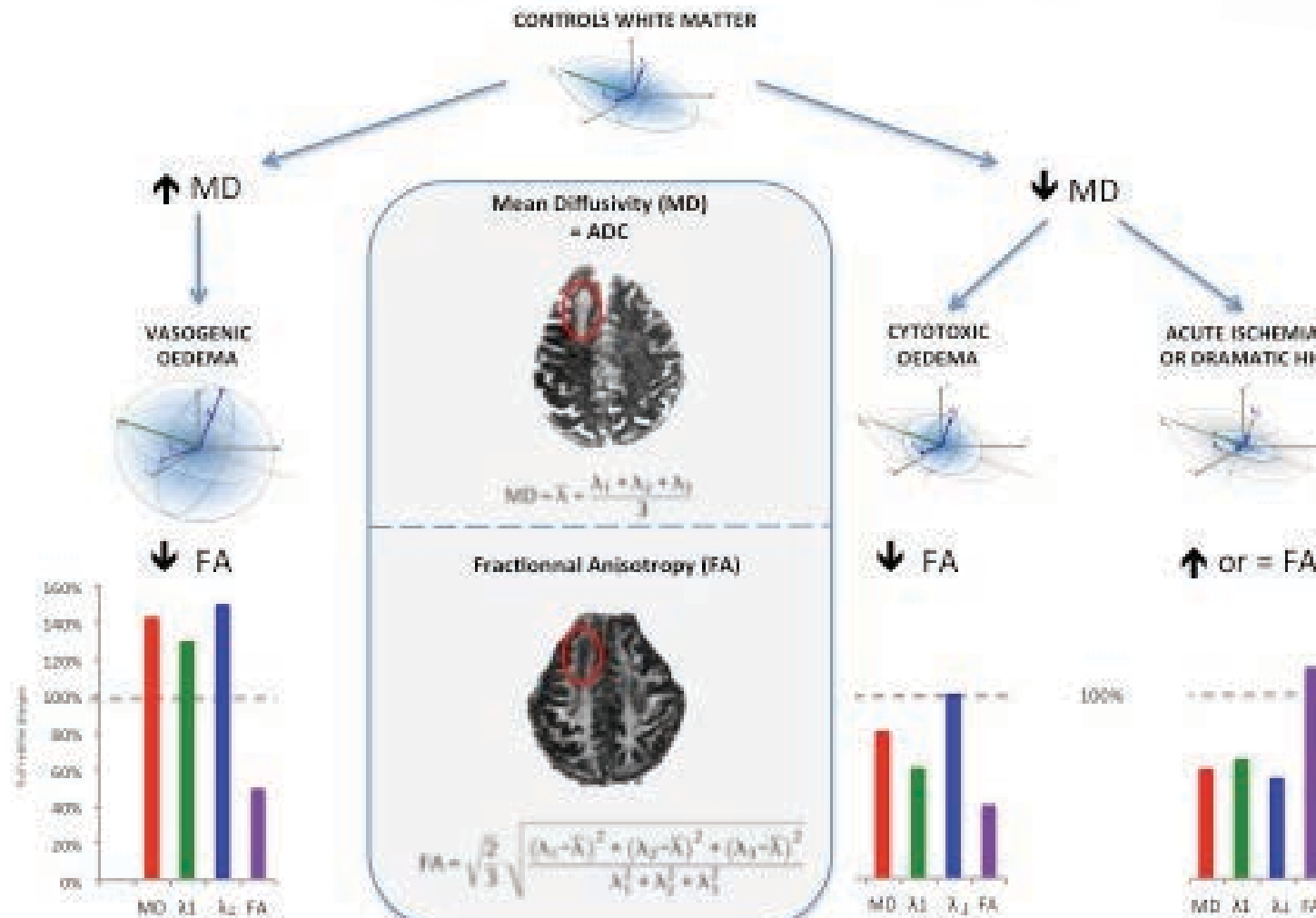


Courtesy from Lionel Velly

DWI Résumé

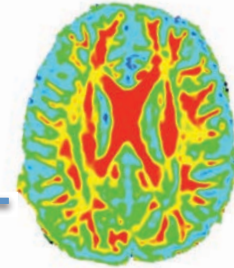


Relationship between MD and FA



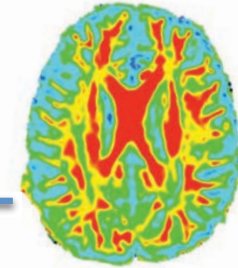
Courtesy from Lionel Velly

Plan



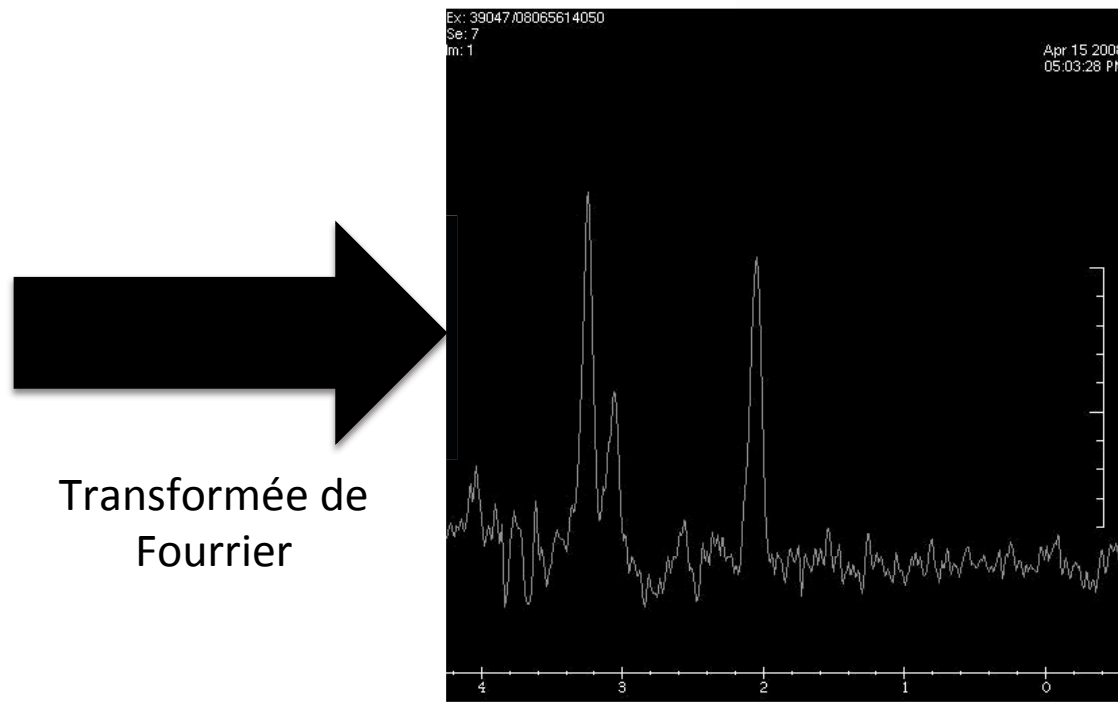
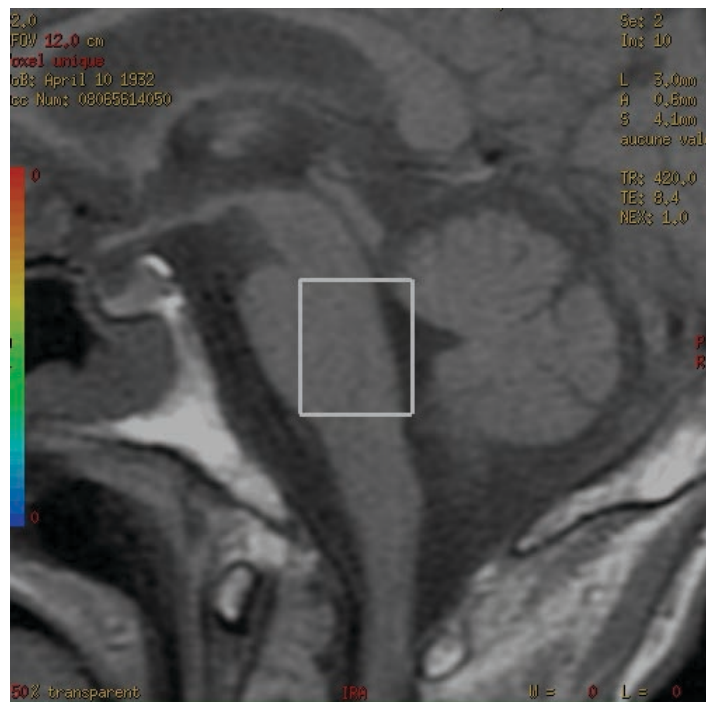
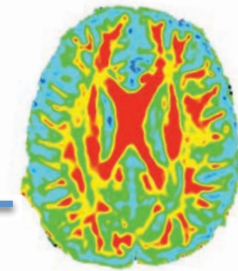
- IRM morphologique rappels
- IRM en tenseur de diffusion
- Spectro-IRM
- IRM fonctionnelle-RS-BOLD
- Applications

Spectro-IRM

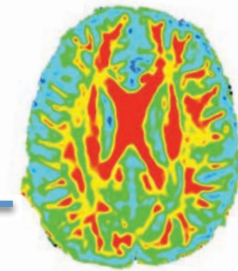


- Chaque métabolite a une fréquence de résonance différente
- Dans un voxel donné on peut mesurer la concentration d'un métabolite donné
- La créatine est pris comme référence (stable)
- La choline reflète le métabolisme membranaire
- Le N-acétyl-aspartate (NAA) est un marqueur de la souffrance neuronale

Spectro-IRM



Spectro-IRM

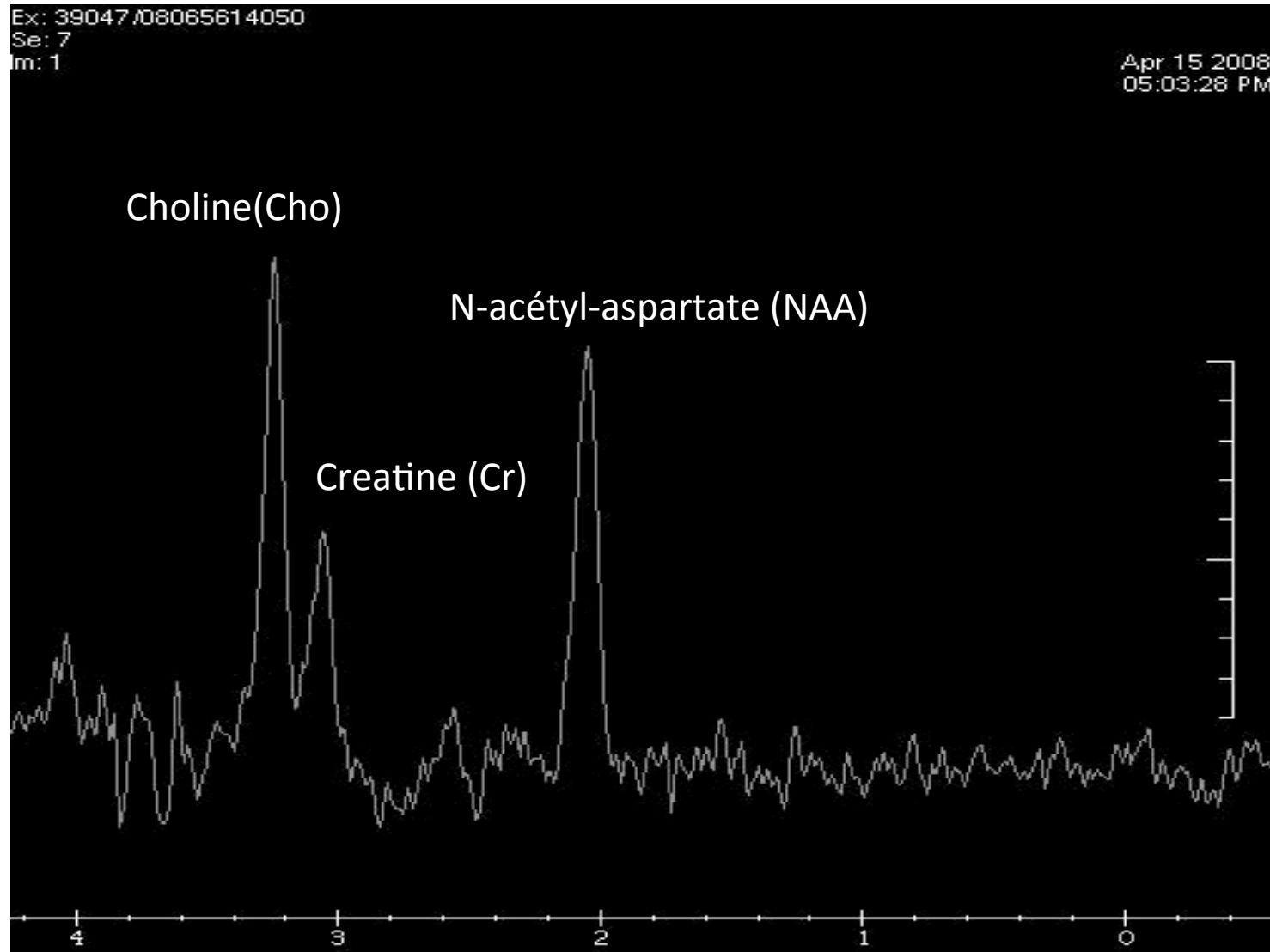


Ex: 39047/08065614050

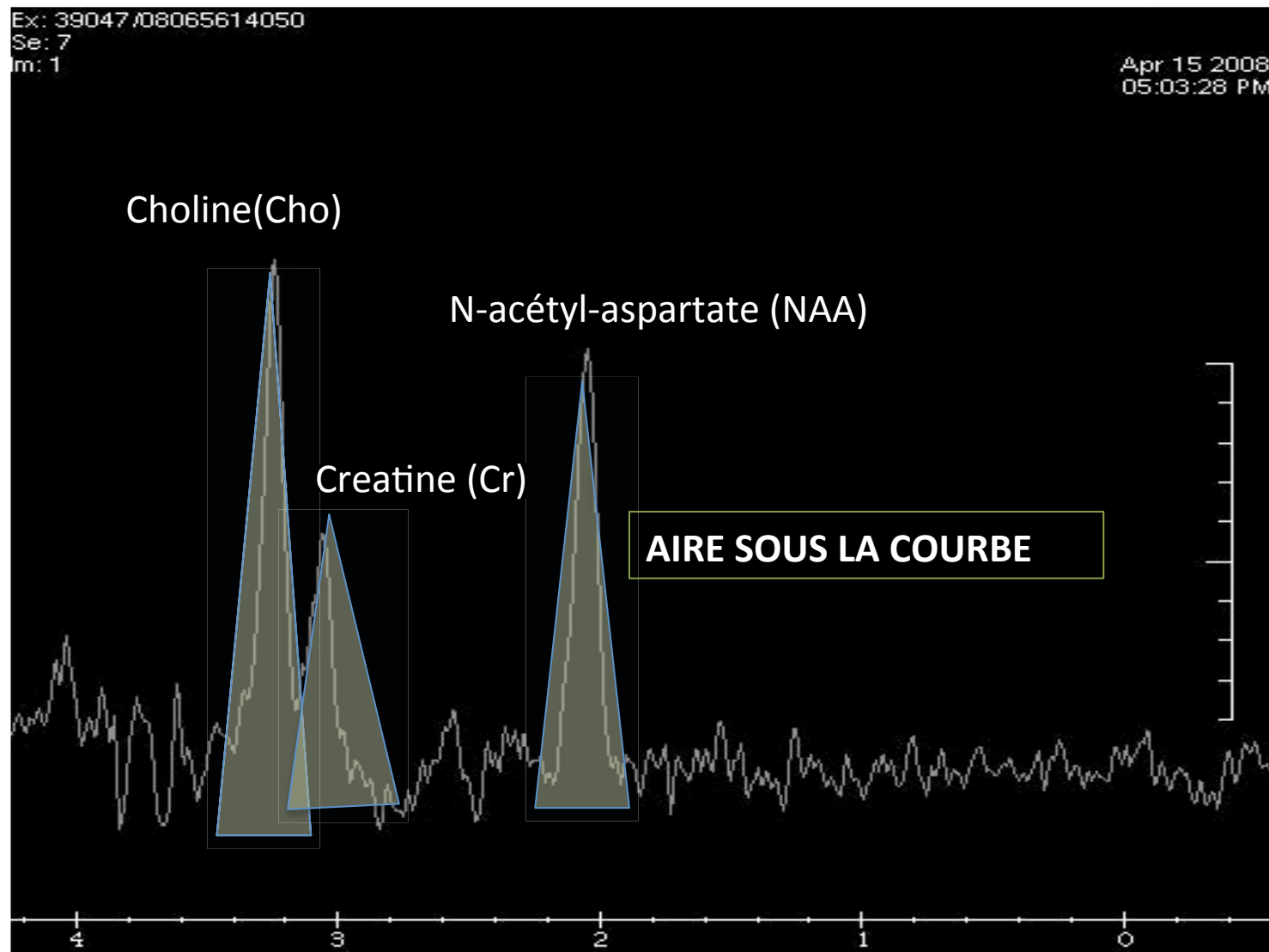
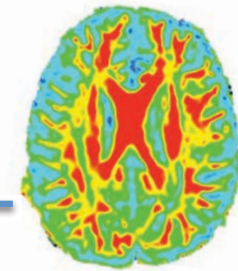
Se: 7

Im: 1

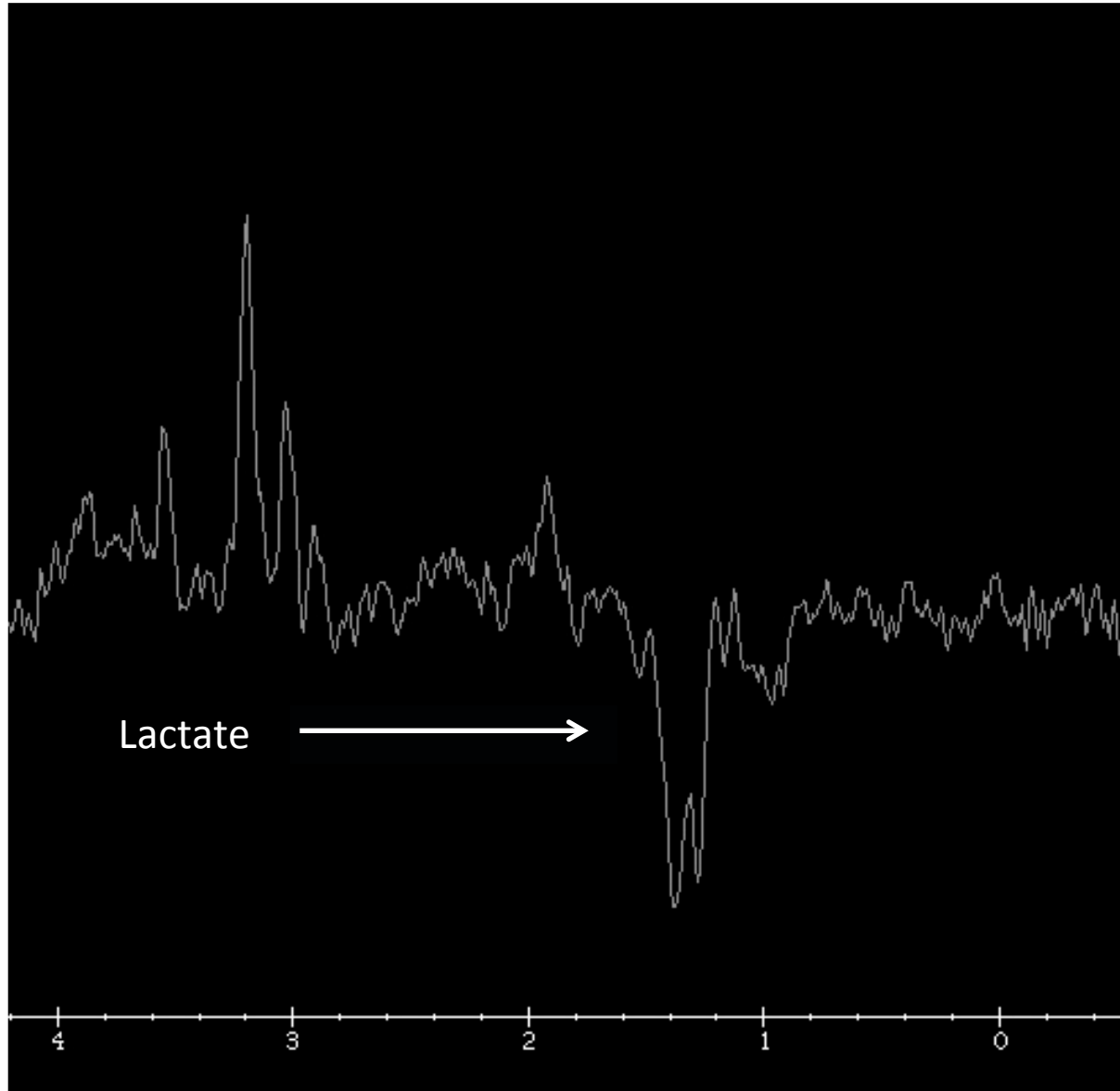
Apr 15 2008
05:03:28 PM



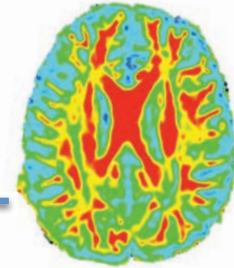
Spectro-IRM



Spectro-IRM & Lactate

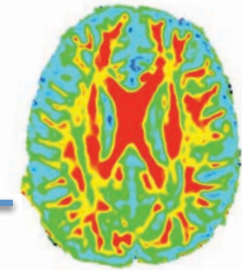


Plan

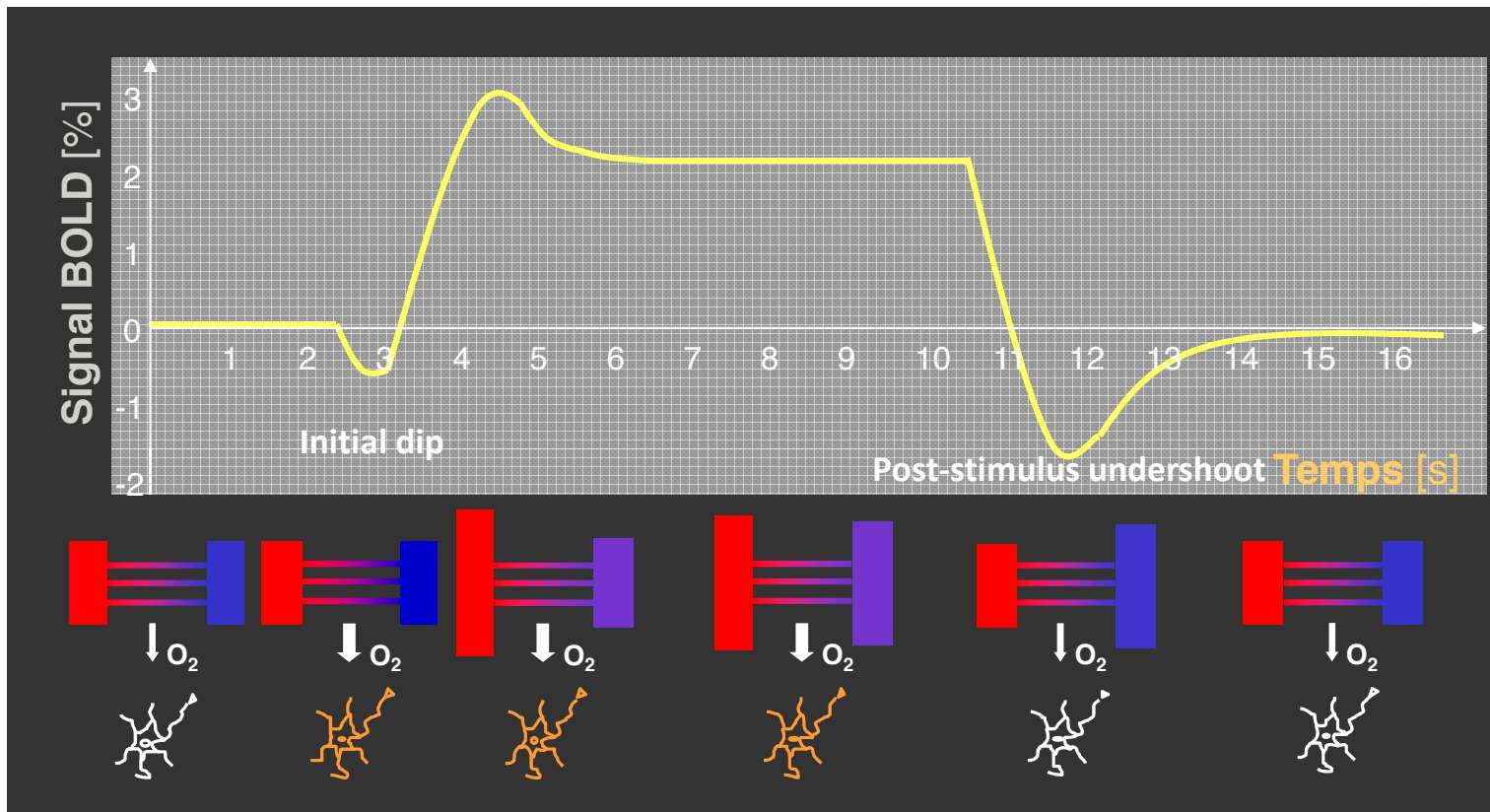


- IRM morphologique rappels
- IRM en tenseur de diffusion
- Spectro-IRM
- IRM fonctionnelle-RS-BOLD
- Applications

L'effet BOLD

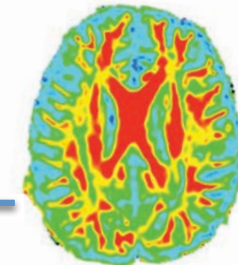


BLOOD OXYGEN LEVEL DEPENDANT

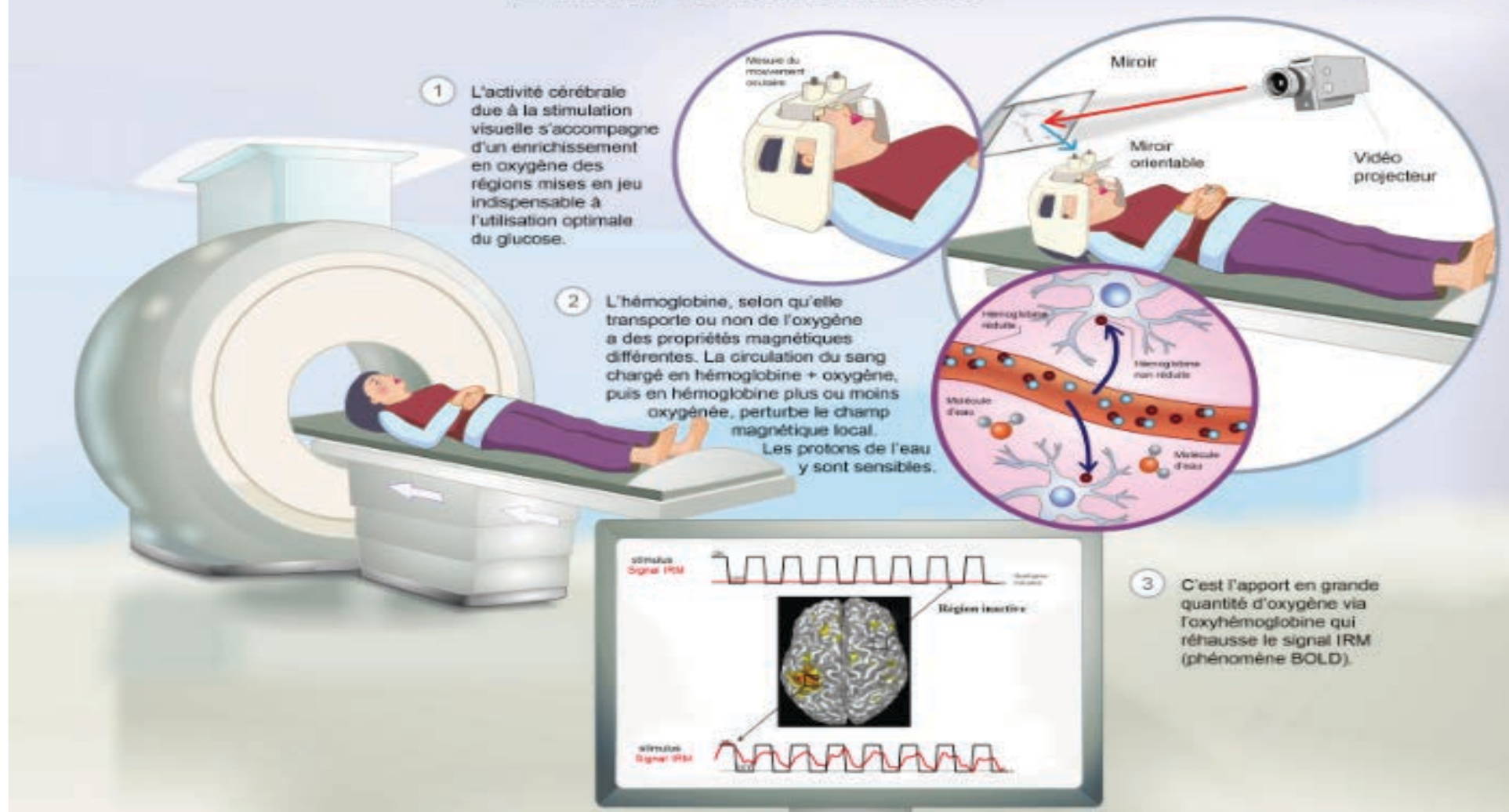


Oxy-Hb sang artériel DIAMAGNETIQUE
Désoxy-Hb sang veineux PARAMAGNETIQUE

IRM fonctionnelle



L'IRM fonctionnelle

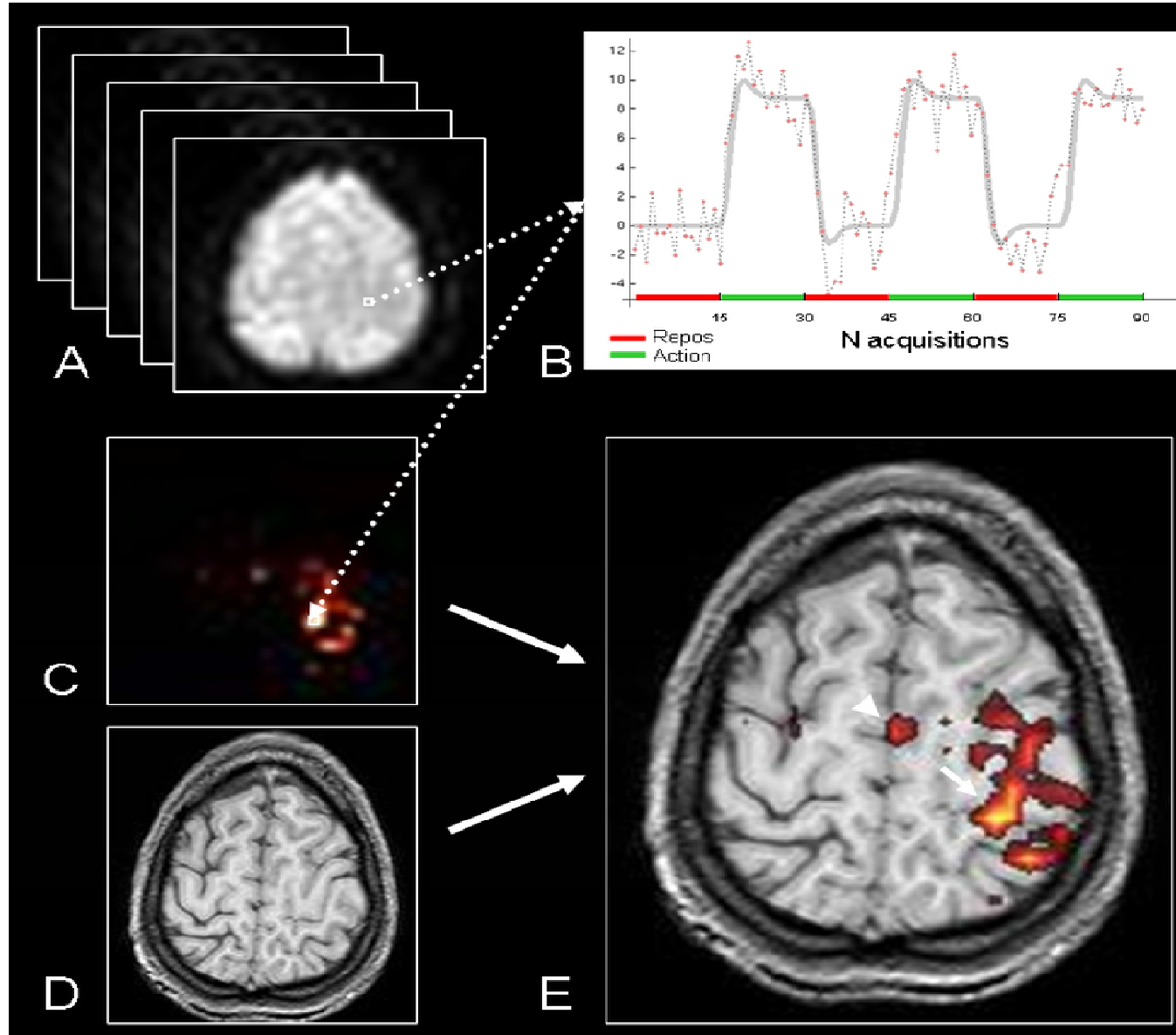


1 L'activité cérébrale due à la stimulation visuelle s'accompagne d'un enrichissement en oxygène des régions mises en jeu indispensable à l'utilisation optimale du glucose.

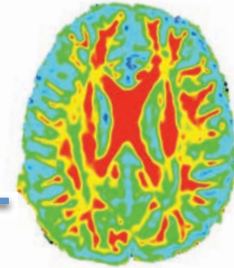
2 L'hémoglobine, selon qu'elle transporte ou non de l'oxygène, a des propriétés magnétiques différentes. La circulation du sang chargé en hémoglobine + oxygène, puis en hémoglobine plus ou moins oxygénée, perturbe le champ magnétique local. Les protons de l'eau y sont sensibles.

3 C'est l'apport en grande quantité d'oxygène via l'oxyhémoglobine qui réhausse le signal IRM (phénomène BOLD).

IRM fonctionnelle



Plan



- IRM morphologique rappels
- IRM en tenseur de diffusion
- Spectro-IRM
- IRM fonctionnelle-RS-BOLD
- Applications

IRM multimodale & anoxie



ADC-MD

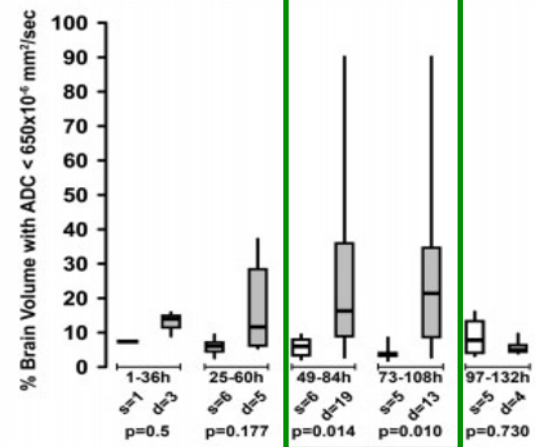
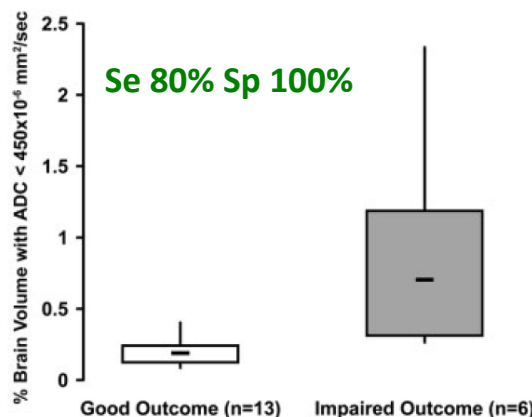
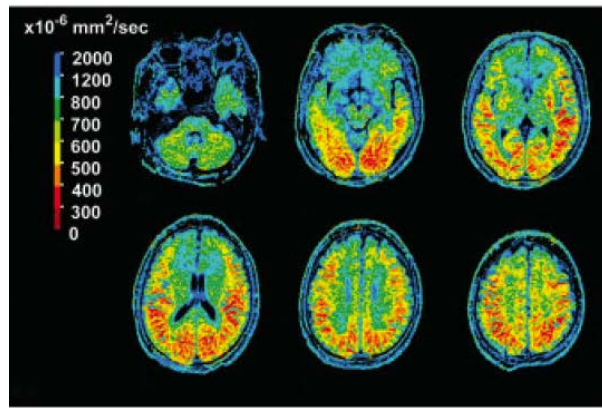


TABLE 4. Diffusion MRI Findings for Predicting Poor Neurologic Outcome at Hospital Discharge

Involved Brain Region, n (%)	Good Outcome	Poor Outcome	p	Sensitivity/ Specificity	Positive / Negative Predictive Value	AUC	p
Cerebral cortex							
Frontal (n = 88)	2 (3.7)	86 (72.9)	< 0.01	96/73	62/98	0.85	< 0.01
Parietal (n = 98)	2 (3.7)	96 (81.4)	< 0.01	96/81	70/98	0.89	< 0.01
Temporal (n = 82)	1 (1.9)	81 (68.6)	< 0.01	98/69	59/99	0.83	< 0.01
Occipital (n = 93)	2 (3.7)	91 (77.1)	< 0.01	96/77	66/98	0.87	< 0.01
Basal ganglia or thalamus (n = 55)	0 (0.0)	55 (46.6)	< 0.01	54/47	46/100	0.73	< 0.01
Cerebellum (n = 37)	0 (0.0)	37 (31.4)	< 0.01	100/31	40/100	0.66	< 0.01
Brain stem (n = 3)	0 (0.0)	3 (2.5)	0.55	100/3	32/100	0.51	0.79
MRI positive finding ^a	4 (7.4)	102 (86.4)	< 0.01	93/86	76/96	0.90	< 0.01
≤ 3 d (n = 146)	2 (4.9)	92 (87.6)	< 0.01	95/88	75/98	0.91	< 0.01
> 3 d (n = 26)	2 (15.4)	10 (76.9)	< 0.01	85/77	79/83	0.81	< 0.01
Numbers of involved lesion	0 [0-0]	4 [3-5]	< 0.01			0.93	0.02

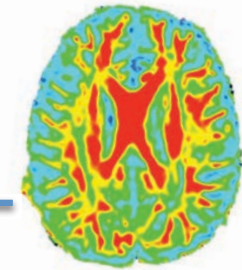
Significatif de J2 à J5

Wijman et al, Annals of neurology, 2009

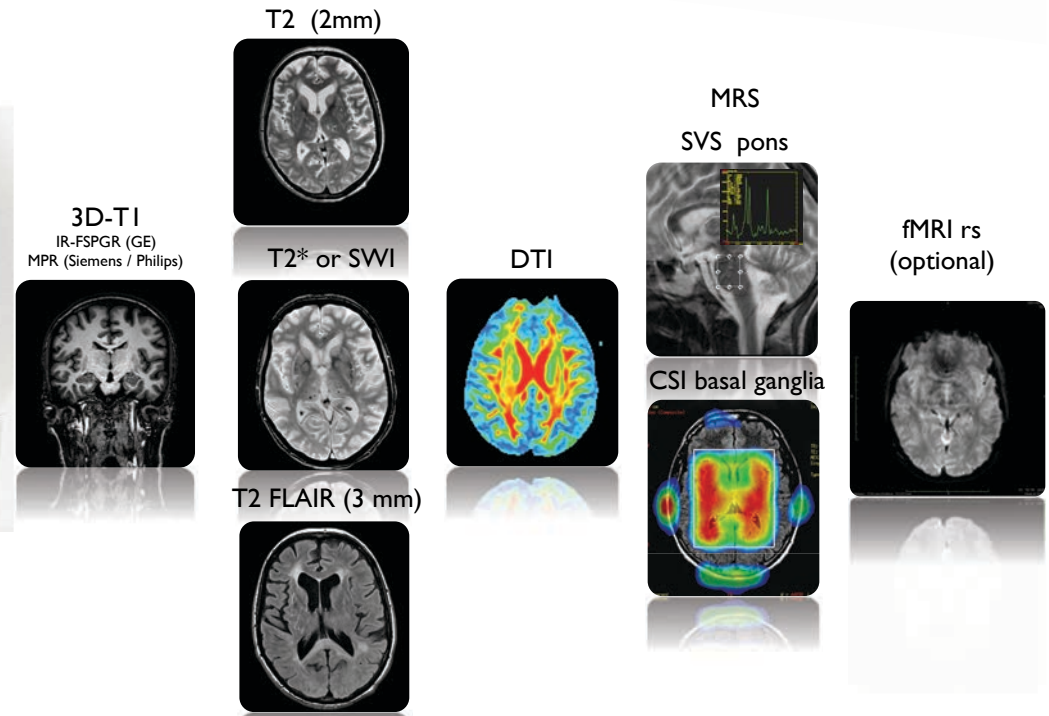
IRM dans la 1^{ère} semaine

Seung Mok et al, CCM, 2015

IRM multimodale & anoxie

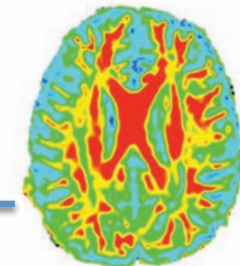


Le DWI à la Pitié Salpêtrière :

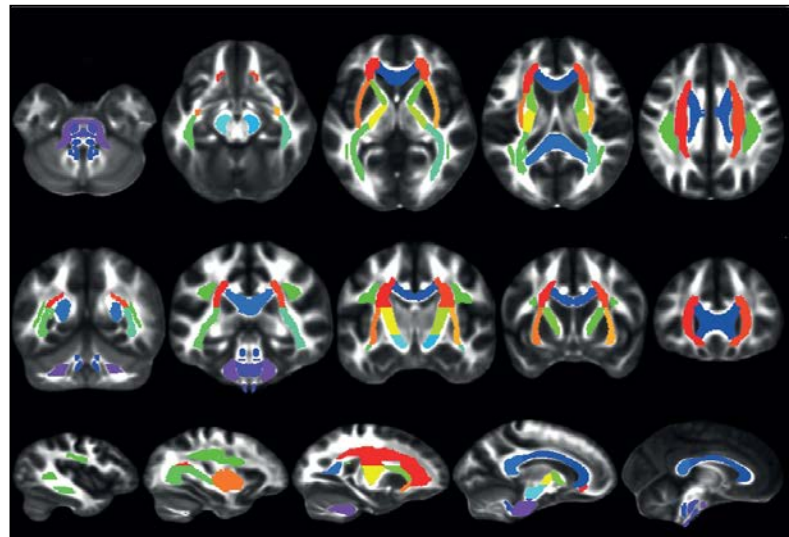


Idéalement à partir de J7 si patient toujours dans le coma

IRM multimodale & anoxie



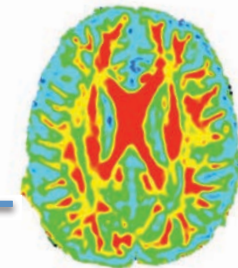
Le DWI à la Pitié Salpêtrière



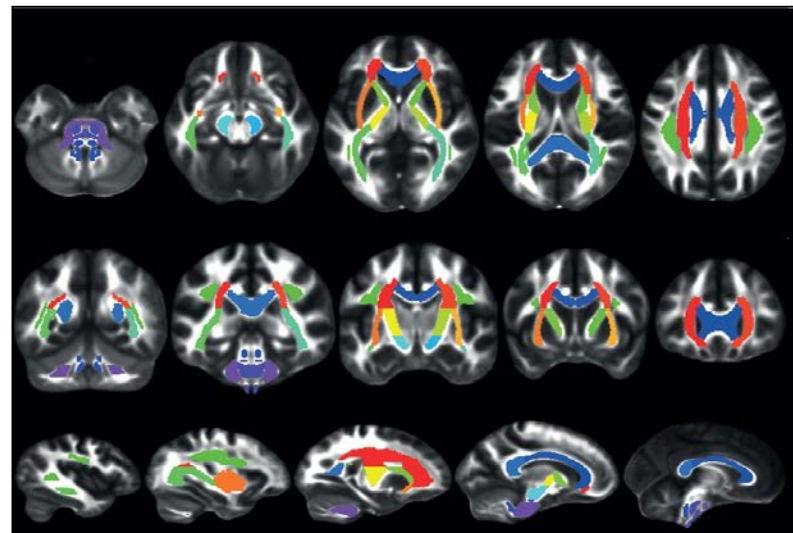
20 ROI DE LA substance blanche

	Number	Abbreviation	Region
Posterior fossa	1	MCP	Middle cerebellar peduncle
	2	antBS	Anterior brainstem (pons, medulla oblongata)
	3	postBS	Posterior brainstem (pons, medulla oblongata)
	7	CP_R	Right cerebral peduncle
	8	CP_L	Left cerebral peduncle
Deep brain	4	gCC	Genu of the corpus callosum
	5	bCC	Body of the corpus callosum
	6	sCC	Splenium of the corpus callosum
	13	ALIC_R	Anterior arm of the internal capsule (right)
	14	ALIC_L	Anterior arm of the internal capsule (left)
	15	PLIC_R	Posterior arm of the internal capsule (right)
	16	PLIC_L	Posterior arm of the internal capsule (left)
	9	SS_R	Stratum sagittale (right)
Superficial regions	10	SS_L	Stratum sagittale (left)
	11	SLF_R	Superior longitudinal fasciculus (right)
	12	SLF_L	Superior longitudinal fasciculus (left)
	17	EC_R	External capsule (right)
	18	EC_L	External capsule (left)
	19	CR_R	Corona radiata (right)
	20	CR_L	Corona radiata (left)

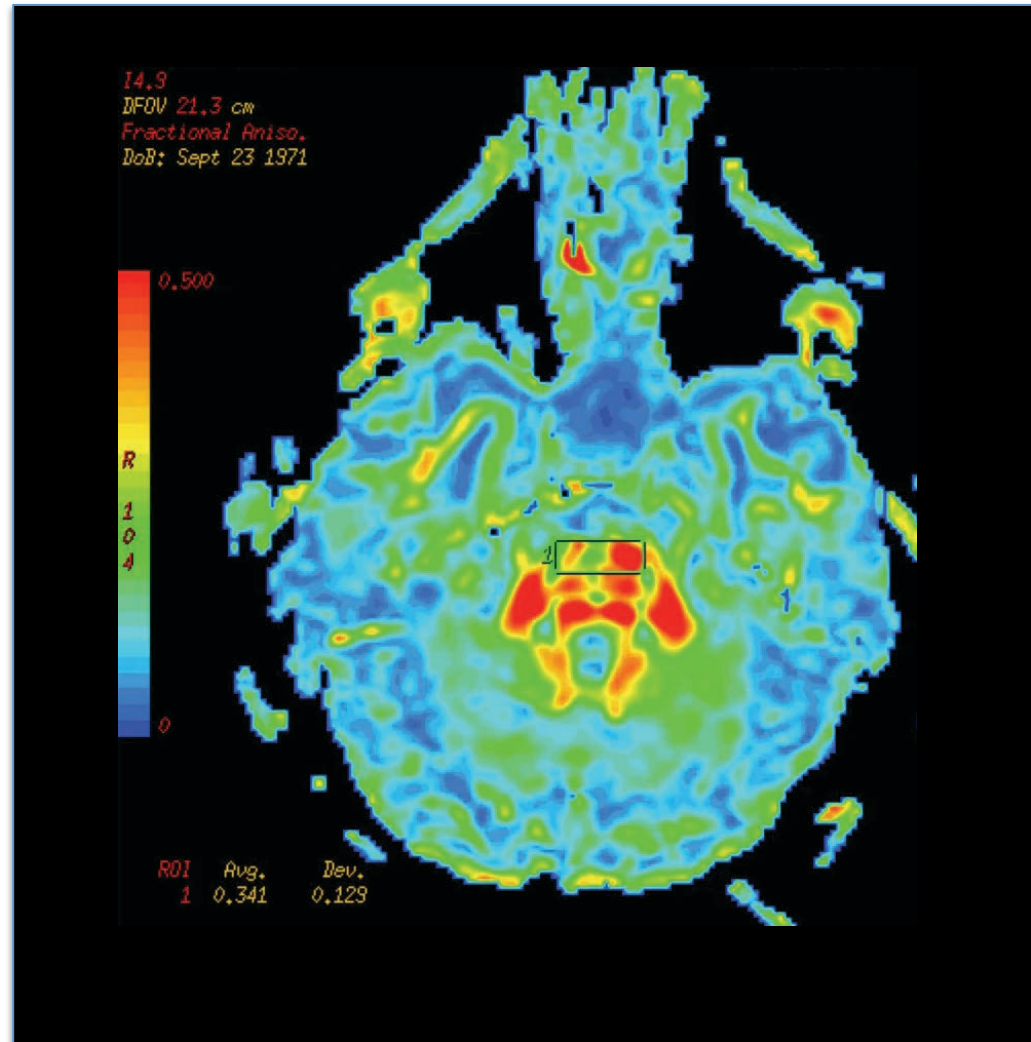
IRM multimodale & anoxie



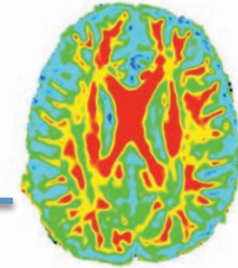
Le DWI à la Pitié Salpêtrière



	Number	Abbreviation	Region
Posterior fossa	1	MCP	Middle cerebellar peduncle
	2	antBS	Anterior brainstem (pons, medulla oblongata)
	3	postBS	Posterior brainstem (pons, medulla oblongata)
Deep brain	7	CP_R	Right cerebral peduncle
	8	CP_L	Left cerebral peduncle
	4	gCC	Genu of the corpus callosum
	5	bCC	Body of the corpus callosum
	6	sCC	Splenium of the corpus callosum
	13	ALIC_R	Anterior arm of the internal capsule (right)
	14	ALIC_L	Anterior arm of the internal capsule (left)
	15	PLIC_R	Posterior arm of the internal capsule (right)
	16	PLIC_L	Posterior arm of the internal capsule (left)
Superficial regions	9	SS_R	Stratum sagittale (right)
	10	SS_L	Stratum sagittale (left)
	11	SLF_R	Superior longitudinal fasciculus (right)
	12	SLF_L	Superior longitudinal fasciculus (left)
	17	EC_R	External capsule (right)
	18	EC_L	External capsule (left)
	19	CR_R	Corona radiata (right)
	20	CR_L	Corona radiata (left)



IRM multimodale & anoxie



Le DWI à la Pitié Salpêtrière :



ComaSoft REPORT - 2015/12/28



DISCLAIMER

The conclusions obtained from the COMASOFT software are a diagnostic and prognostic aid. They do not substitute the decisions of clinicians, who remain responsible for their diagnoses, prognoses, prescriptions and clinical care at all times. The conclusions provided by the COMASOFT report are for informational purposes only. They do not absolve the user from the responsibility of considering all necessary details when making a decision. They cannot be used in isolation in any circumstance.

Consequently, AP-HP, UPMC, and Inserm are not responsible for any direct or indirect damage resulting from the use of the data, information, or results obtained from the COMASOFT software. The user accepts and recognizes that the use of this information is under his/her sole and exclusive responsibility.

DECHARGE DE RESPONSABILITE

Les conclusions obtenues grâce au système logiciel COMASOFT constituent une aide au diagnostic et au pronostic. Elles ne se substituent pas aux décisions cliniques des praticiens qui demeurent responsables de leur diagnostic, de leur pronostic, de leurs prescriptions et de leur prise en charge en toutes circonstances. Les conclusions fournies par l'outil à travers le rapport COMASOFT le sont à titre indicatif. Elles ne sauraient dispenser l'utilisateur de réunir tous les arguments nécessaires à sa décision. Elles ne peuvent en aucun cas être utilisées de manière isolée.

En conséquence, l'AP-HP, l'UPMC et l'Inserm ne pourront en aucun cas être tenus responsables de tout dommage direct ou indirect résultant de l'utilisation des données, informations ou résultats issus de ce système logiciel COMASOFT. L'utilisateur reconnaît utiliser ces informations sous sa seule responsabilité exclusive.

PATIENT REFERENCE : mis01171garje_20151225

PATIENTS AGE : 52

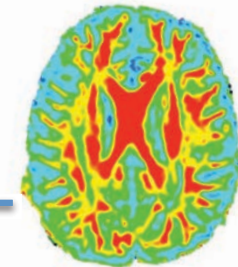
DTI CONTROLS GROUP : ctrl_psl_3t_50d_85_mask_freesurfer

CLASSIFIER : AC_mask20_wobs_LOGfeatselFA_N=100_2013/10/25

TRAINING GROUP : N=100_Male=74_UFO=78_age=50(+17)

UFO SCORE : 0.601

IRM multimodale & anoxie



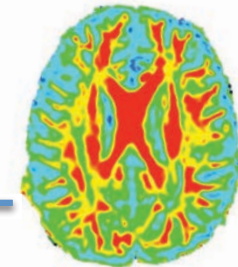
Le DWI à la Pitié Salpêtrière : WM-FA

Patient	FA	MD	L1	Lt
Whole Brain	0.952	1.134	1.118	1.146
White matter	0.913	1.126	1.078	1.184
Grey matter	0.968	1.134	1.126	1.139

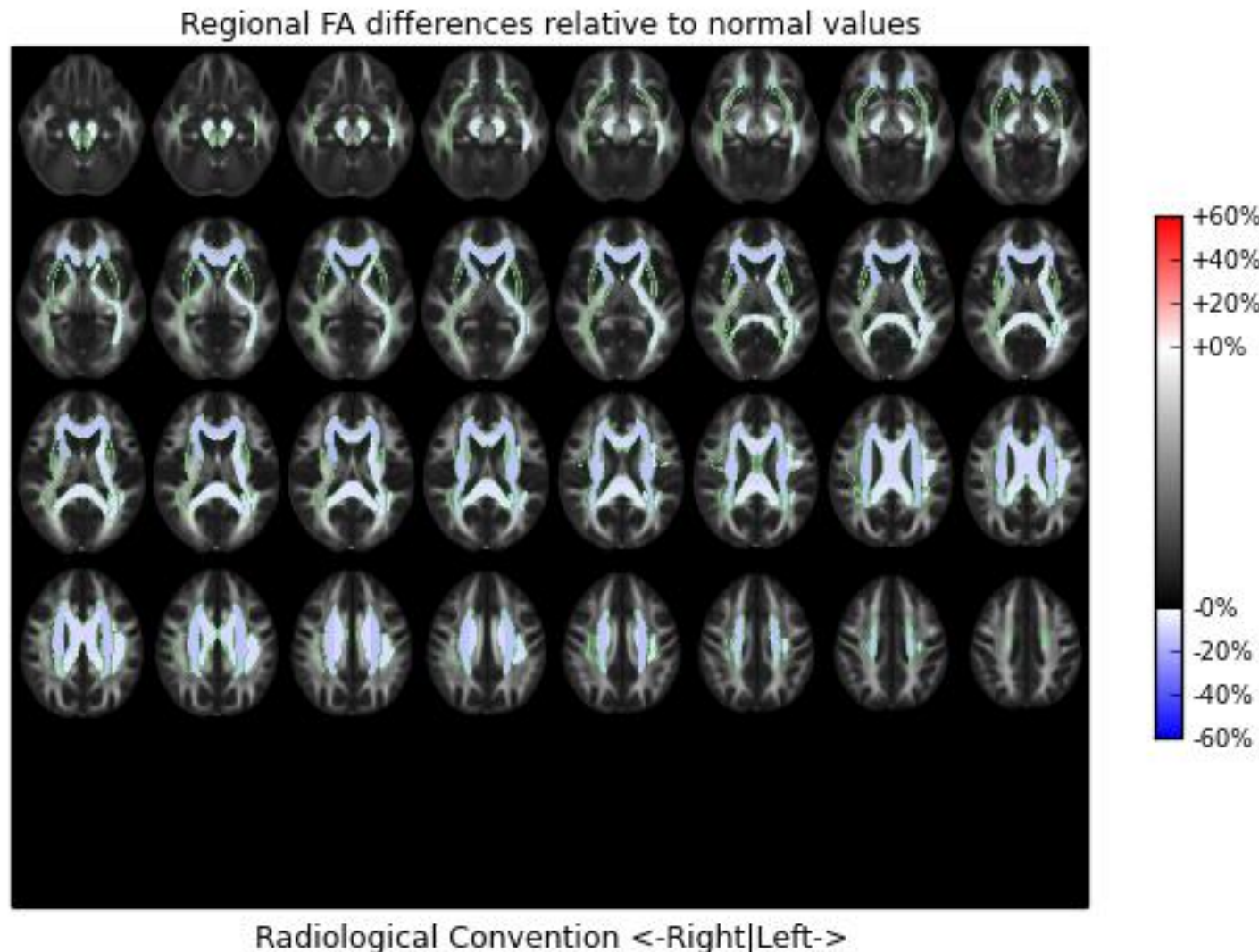
+1*SD Controls	FA	MD	L1	Lt
Whole Brain	0.984-1.016	0.972-1.028	0.977-1.023	0.968-1.032
White matter	0.97-1.03	0.968-1.032	0.979-1.021	0.95-1.05
Grey matter	0.97-1.03	0.968-1.032	0.979-1.021	0.95-1.05

+2*SD Controls	FA	MD	L1	Lt
Whole Brain	0.968-1.032	0.944-1.056	0.954-1.046	0.936-1.064
White matter	0.94-1.06	0.936-1.064	0.958-1.042	0.9-1.1
Grey matter	0.94-1.06	0.936-1.064	0.958-1.042	0.9-1.1

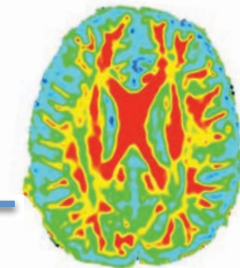
IRM multimodale & anoxie



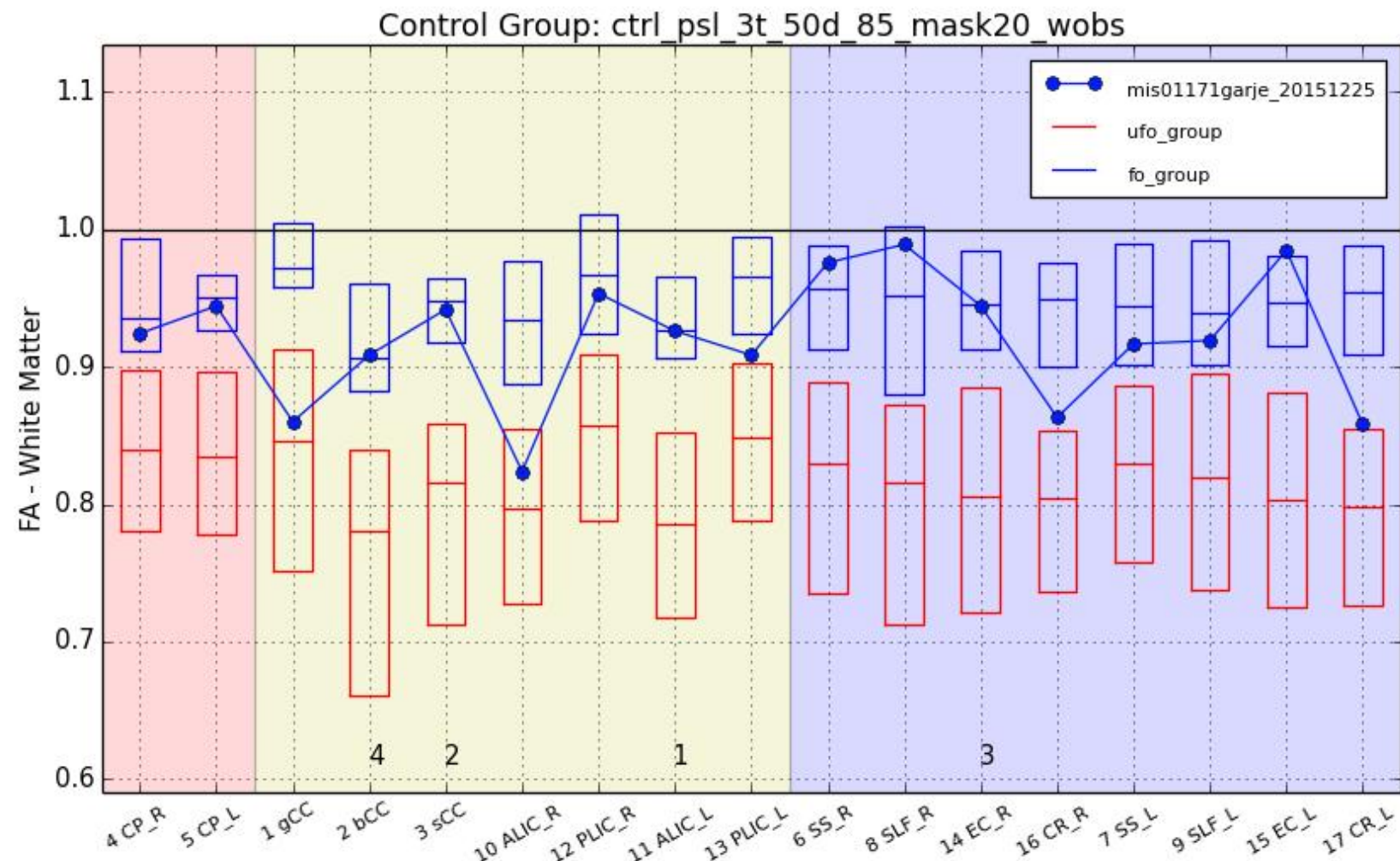
Le DWI à la Pitié Salpêtrière : WM-FA



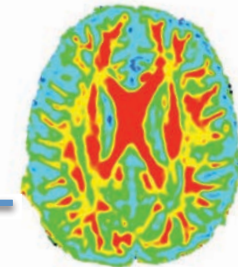
IRM multimodale & anoxie



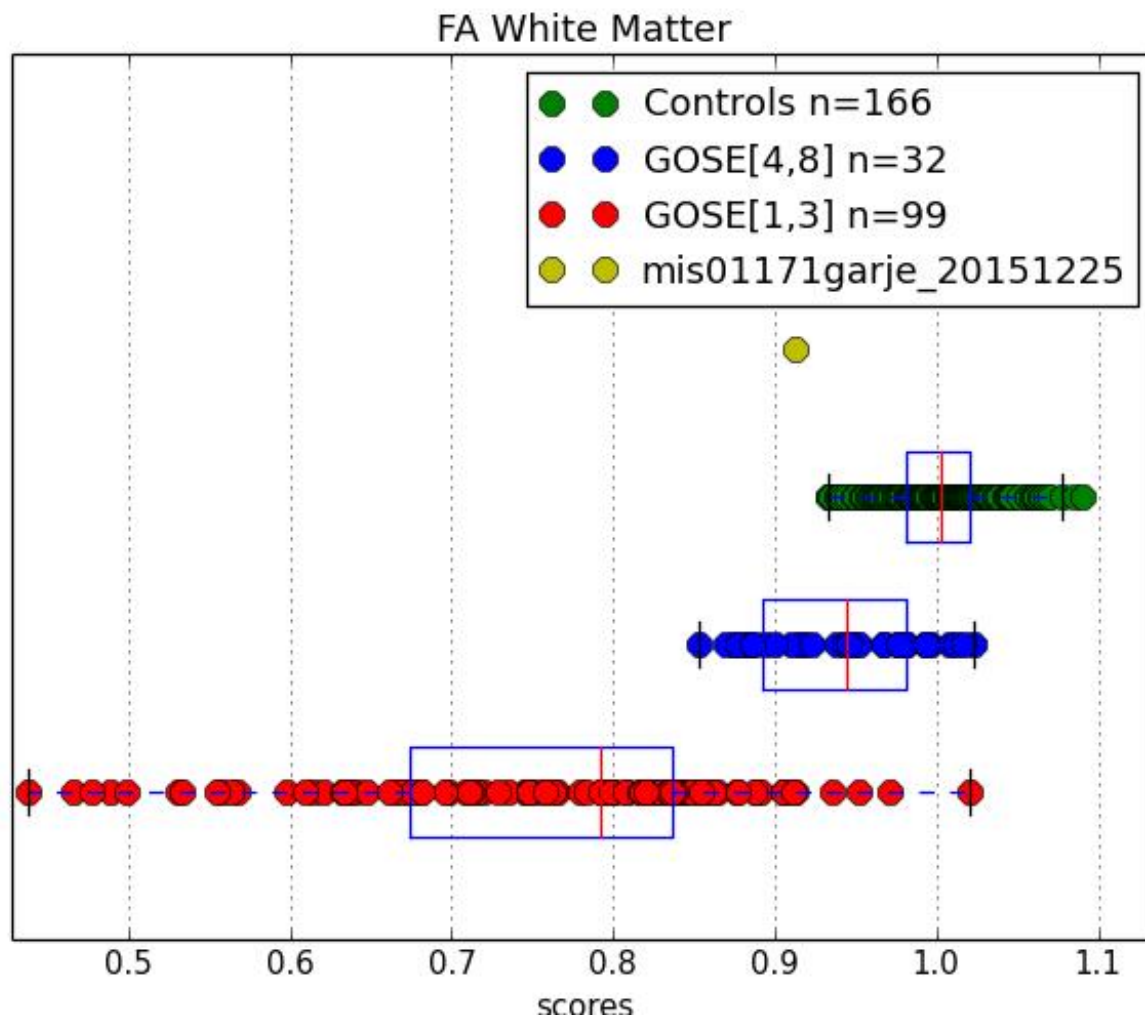
Le DWI à la Pitié Salpêtrière : WM-FA



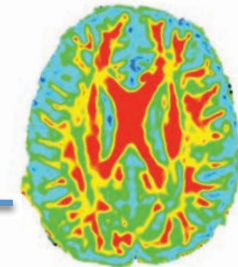
IRM multimodale & anoxie



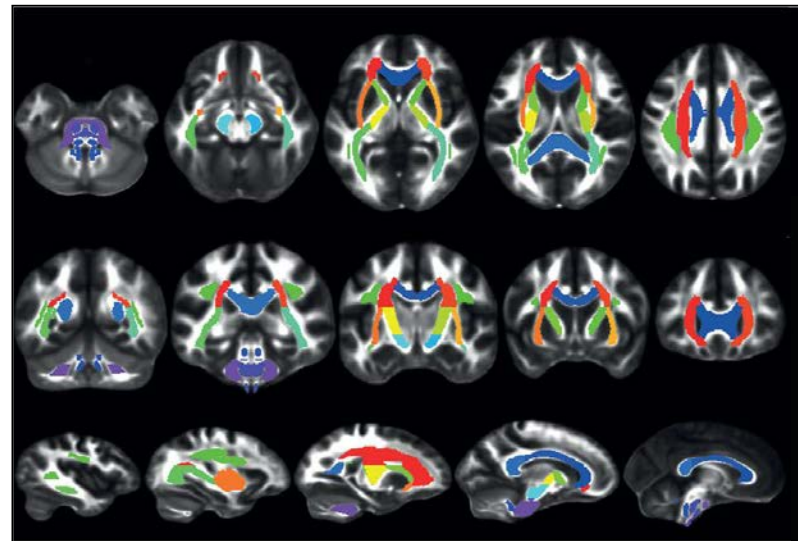
Le DWI à la Pitié Salpêtrière : WM-FA



IRM multimodale & anoxie



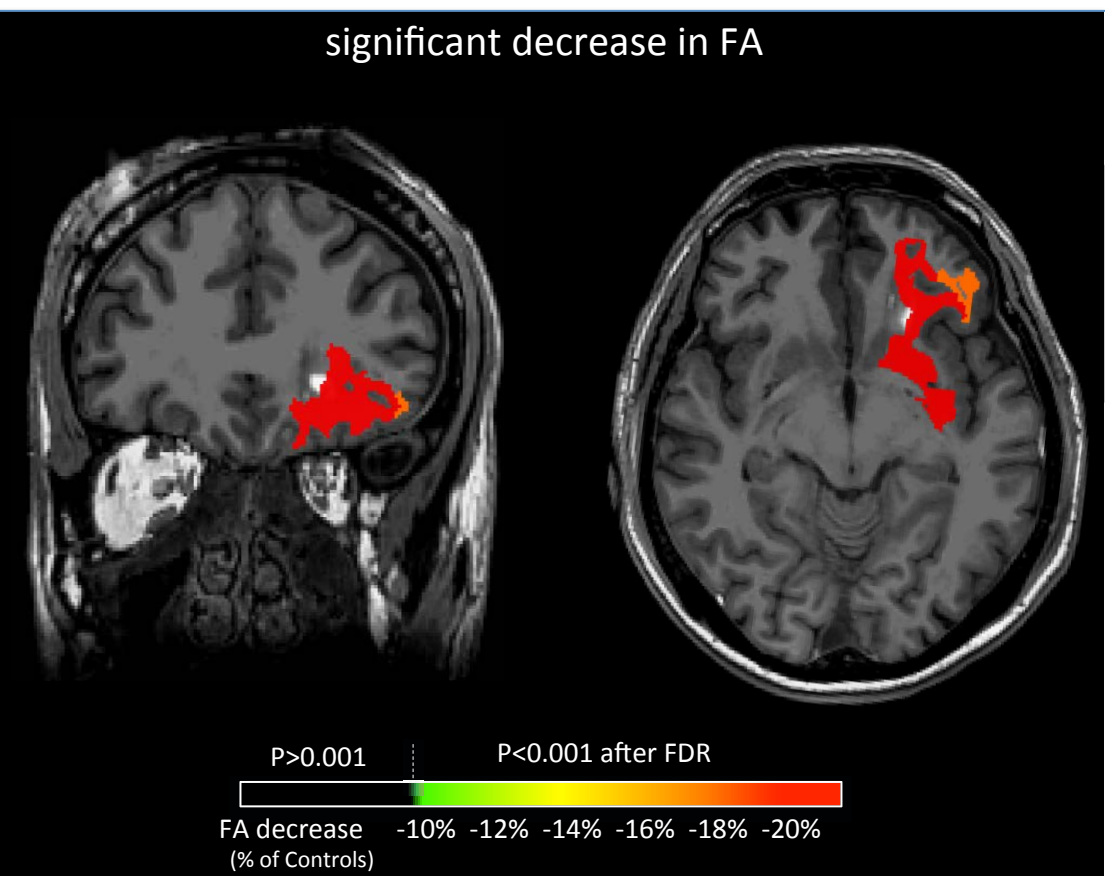
Le DWI à la Pitié Salpêtrière



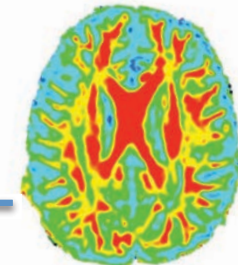
	Number	Abbreviation	Region
Posterior fossa	1	MCP	Middle cerebellar peduncle
	2	antBS	Anterior brainstem (pons, medulla oblongata)
	3	postBS	Posterior brainstem (pons, medulla oblongata)
Deep brain	7	CP_R	Right cerebral peduncle
	8	CP_L	Left cerebral peduncle
	4	gCC	Genu of the corpus callosum
	5	bCC	Body of the corpus callosum
	6	sCC	Splenium of the corpus callosum
	13	ALIC_R	Anterior arm of the internal capsule (right)
	14	ALIC_L	Anterior arm of the internal capsule (left)
	15	PLIC_R	Posterior arm of the internal capsule (right)
	16	PLIC_L	Posterior arm of the internal capsule (left)
Superficial regions	9	SS_R	Stratum sagittale (right)
	10	SS_L	Stratum sagittale (left)
	11	SLF_R	Superior longitudinal fasciculus (right)
	12	SLF_L	Superior longitudinal fasciculus (left)
	17	EC_R	External capsule (right)
	18	EC_L	External capsule (left)
	19	CR_R	Corona radiata (right)
	20	CR_L	Corona radiata (left)

Results express in % of controls

significant decrease in FA



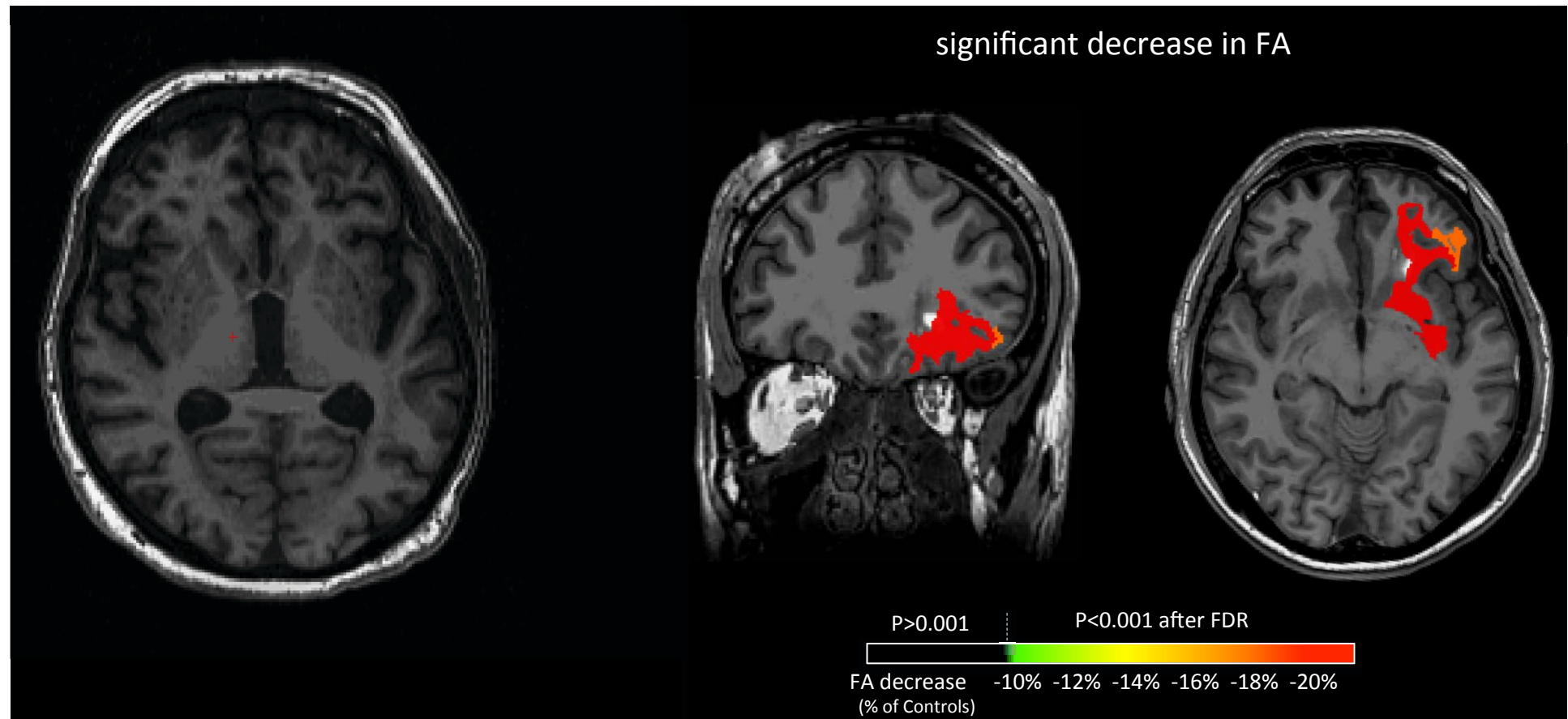
IRM multimodale & anoxie



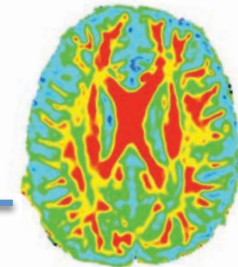
Le DWI à la Pitié Salpêtrière

Results express in % of controls

significant decrease in FA



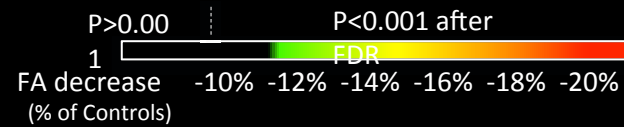
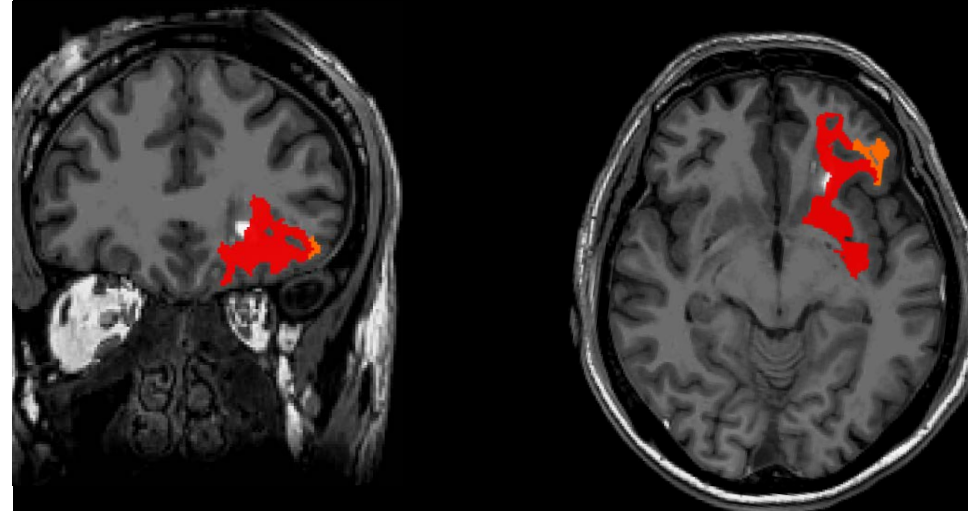
IRM multimodale & anoxie



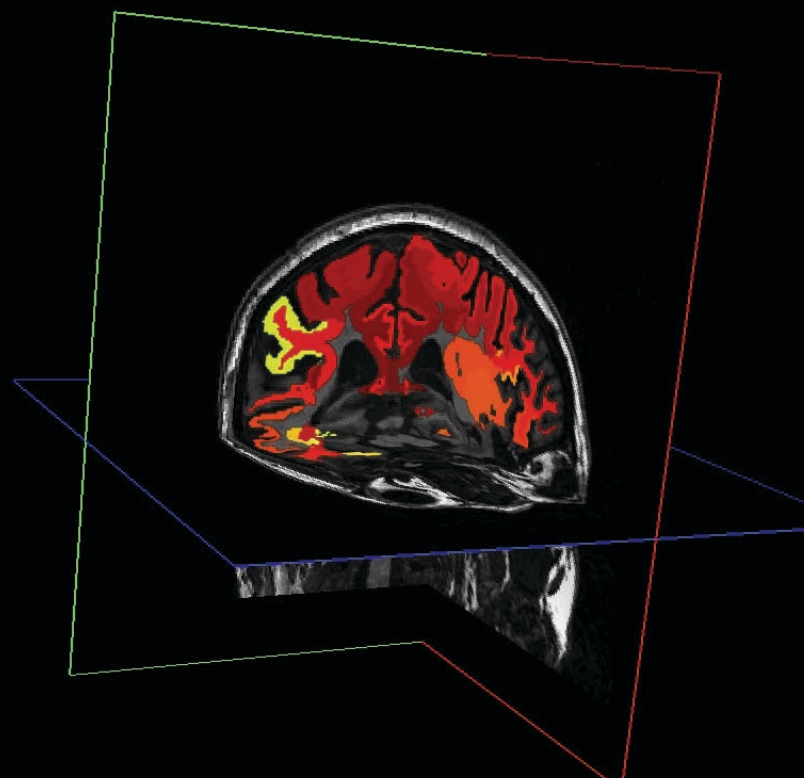
Le DWI à la Pitié Salpêtrière

Results express in % of controls

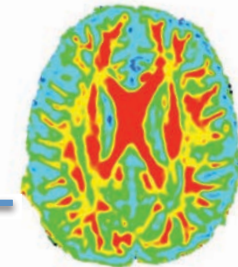
significant decrease
in FA



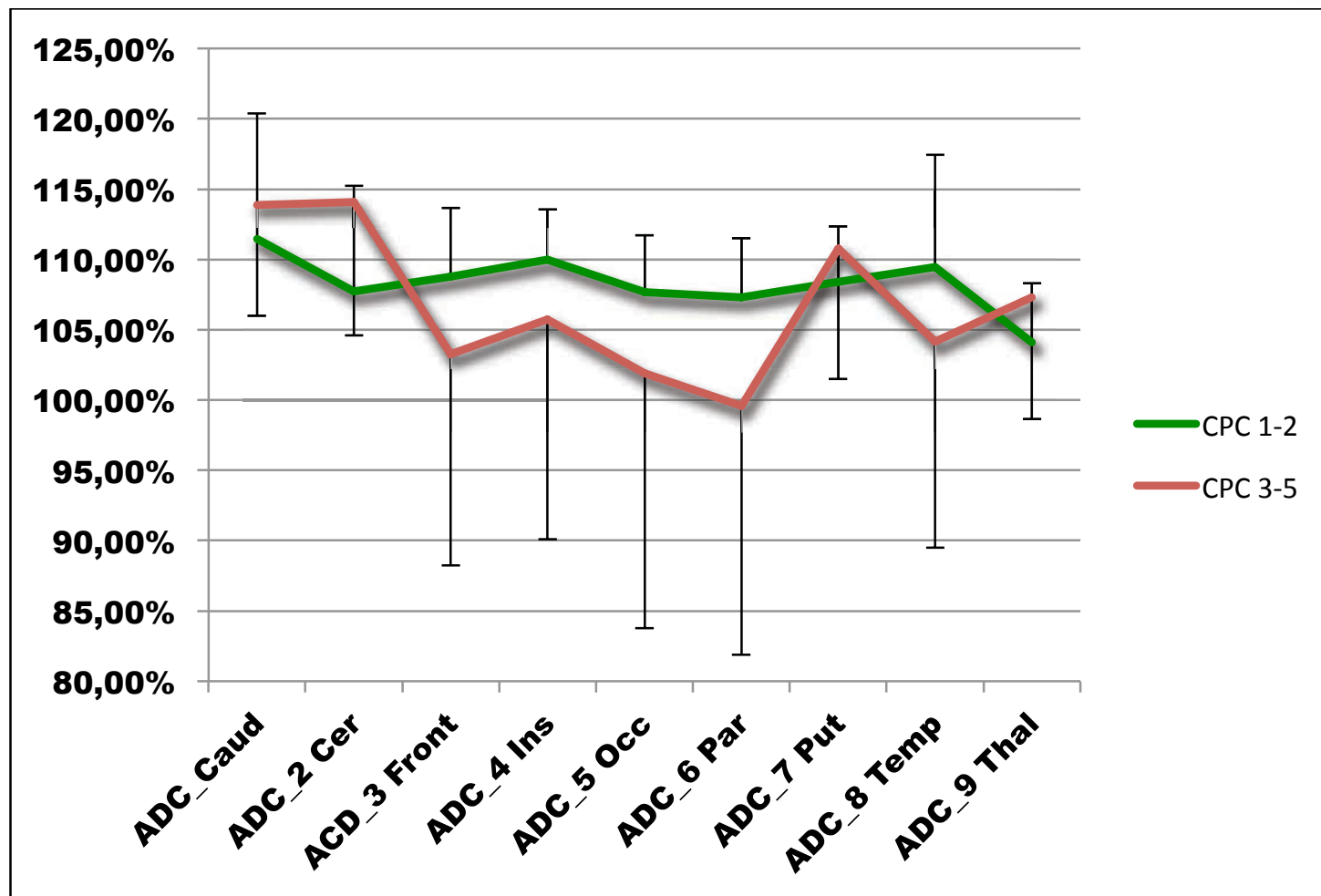
Cardiac arrest bad outcome



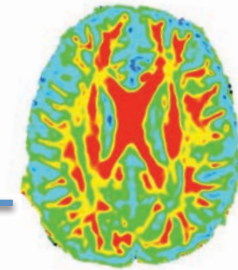
IRM multimodale & anoxie



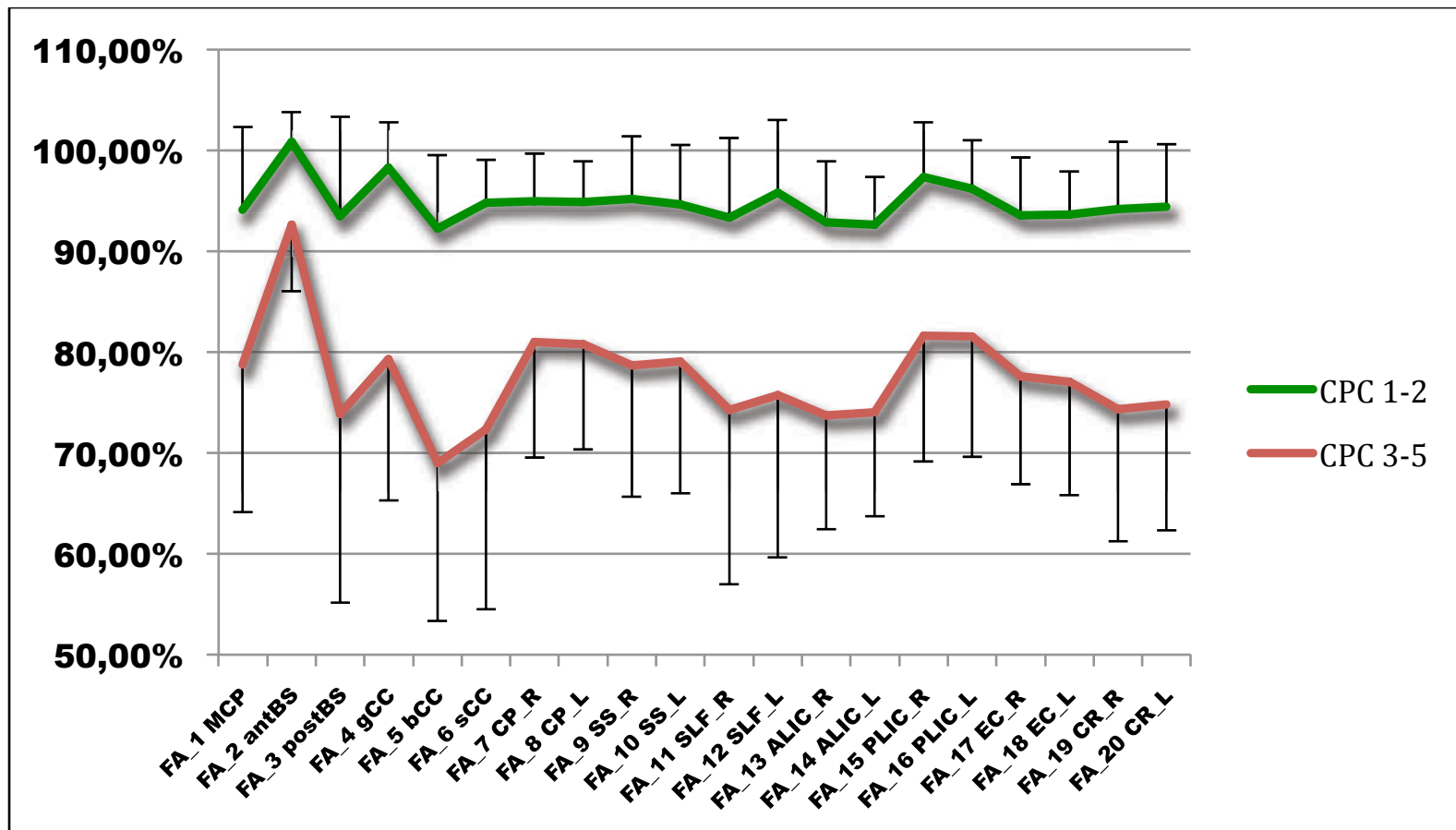
Le DWI à la Pitié Salpêtrière: GM-ADC



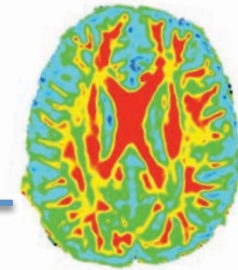
IRM multimodale & anoxie



Le DWI à la Pitié Salpêtrière : WM-FA



IRM multimodale & anoxie

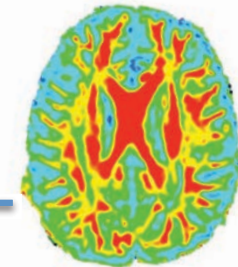


Le DWI à la Pitié Salpêtrière : WM-FA

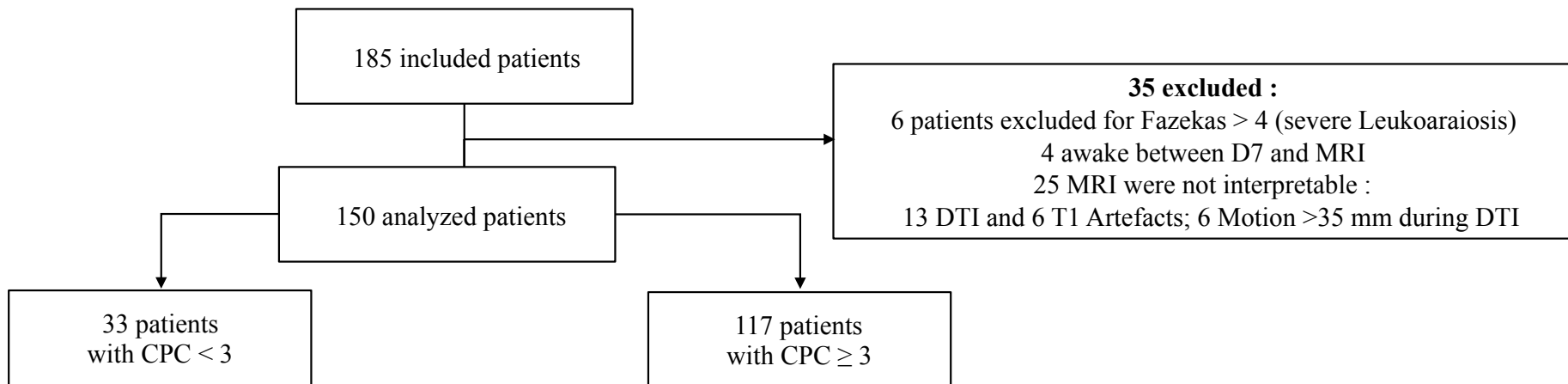
Early Brain Diffusion Tensor Imaging Predicts Long Term Outcome in Patients after Cardiac Arrest

Lionel Velly, M.D., Ph.D., Vincent Perlberg, Ph.D., Thomas Boulier, Ph.D., Nicolas Adam, M.D., Charles-Edouard Luyt, M.D., Ph.D., Sébastien Delphine M.Eng., Charlotte Arbelot, M.D., Russel Chabanne, M.D., Betty Jean M.D., Carol Di Perri, M.D., Ph.D., Steven Laureys, M.D., Ph.D., Giuseppe Citerio, M.D., Ph.D., Alessia Vargiolu, Ph.D., Benjamin Rohaut M.D., Nicolas Bruder, M.D., Nadine Girard, M.D., Stein Silva, M.D., Ph.D., Jean-Albert Lotterie, M.D., Vincent Cottenceau, M.D., Thomas Tourdias M.D., Ph.D., Olivier Coulon, Ph.D., Bruno Riou, MD., Ph.D., Rajiv Gupta, M.D., Ph.D., Habib Benali, Ph.D., Damien Galanaud, M.D., Ph.D., Louis Puybasset, M.D., Ph.D., for the MRI-COMA Investigators*

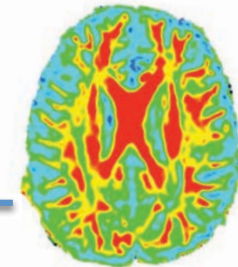
IRM multimodale & anoxie



Le DWI à la Pitié Salpêtrière : WM-FA

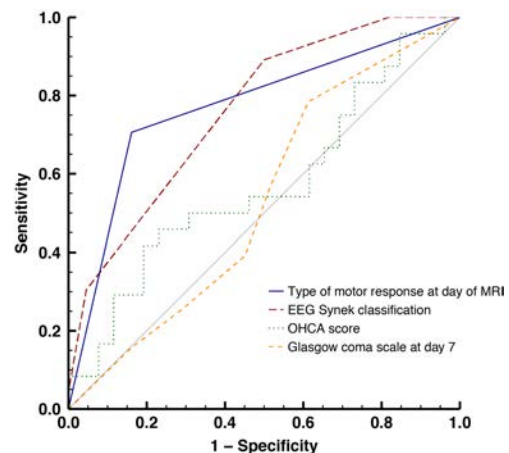


IRM multimodale & anoxie

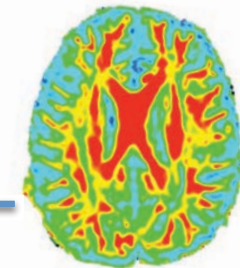


Le DWI à la Pitié Salpêtrière : WM-FA

A Clinical and paraclinical parameters

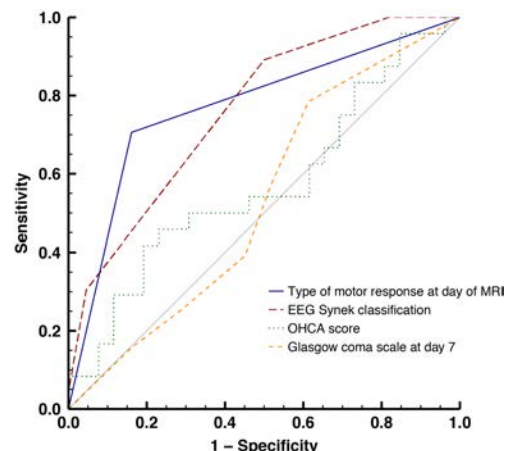


IRM multimodale & anoxie



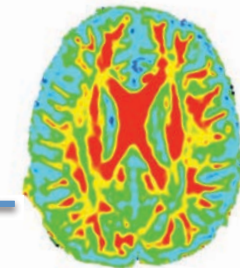
Le DWI à la Pitié Salpêtrière : WM-FA

A Clinical and paraclinical parameters



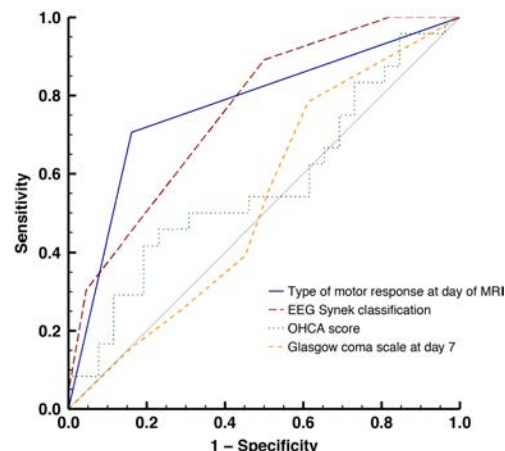
Variables	ROC _{AUC}			Predictive		
	(95% confidence interval)	Optimal Cutoff	Specificity	Sensitivity	Positive Value	Negative Value
<i>Expressed in percent (95% confidence interval)</i>						
Clinical, biological and electroencephalography (EEG) variables						
OHCA score	0.62 (0.50–0.75) †	≥58	100 (87–100)	6 (2–15) ‡	100 (40–100)	31 (22–42)
EEG Synck classification	0.74 (0.64–0.85) †	≥5	100 (86–100)	5 (2–11) ‡	100 (48–100)	20 (13–28)

IRM multimodale & anoxie



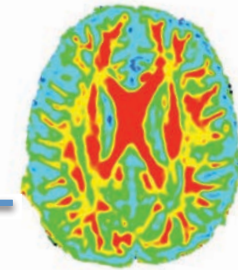
Le DWI à la Pitié Salpêtrière : WM-FA

A Clinical and paraclinical parameters



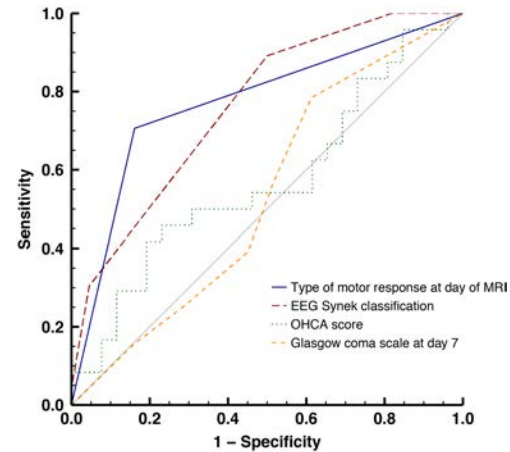
Variables	ROC _{AUC}		Predictive		Negative	
	(95% confidence interval)	Optimal Cutoff	Specificity	Positive	Predictive	
				Sensitivity	Value	Value
<i>Expressed in percent (95% confidence interval)</i>						
Clinical, biological and electroencephalography (EEG) variables						
OHCA score	0.62 (0.50–0.75) †	≥58	100 (87–100)	6 (2–15) ‡	100 (40–100)	31 (22–42)
EEG Synck classification	0.74 (0.64–0.85) †	≥5	100 (86–100)	5 (2–11) ‡	100 (48–100)	20 (13–28)

IRM multimodale & anoxie

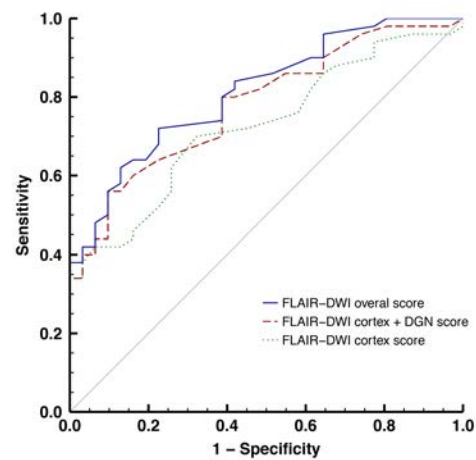


Le DWI à la Pitié Salpêtrière : WM-FA

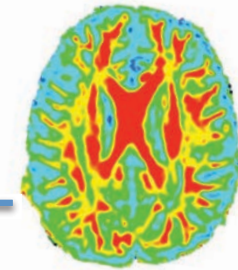
A Clinical and paraclinical parameters



B Qualitative MRI

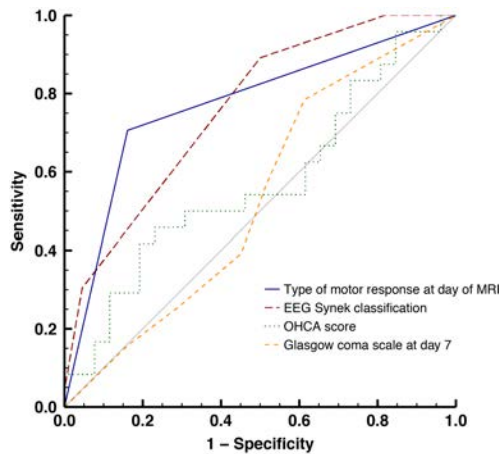


IRM multimodale & anoxie

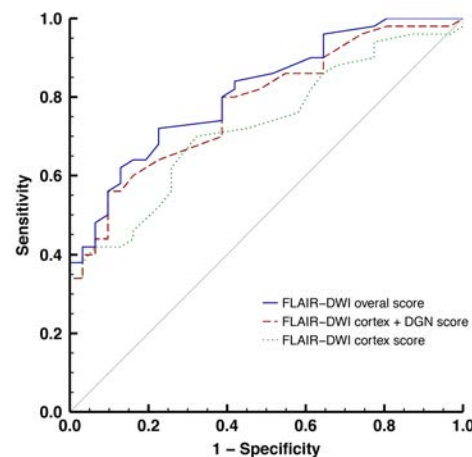


Le DWI à la Pitié Salpêtrière : WM-FA

A Clinical and paraclinical parameters



B Qualitative MRI



Variables

Qualitative Magnetic Resonance Imaging (MRI) variables

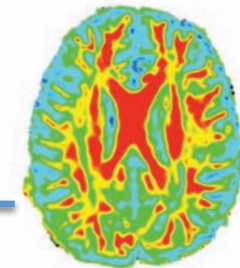
FLAIR-DWI “overall” score

Variables	Expressed in percent (95% confidence interval)					
	ROC _{AUC}		Predictive			
	(95% confidence interval)	Optimal Cutoff	Positive Value	Negative Value	Positive Predictive Value	Negative Predictive Value
FLAIR-DWI “overall” score	0.83 (0.76–0.90) †	≥41	100 (89–100)	40 (31–50) ‡	100 (92–100)	32 (23–42)
FLAIR-DWI “cortex” score	0.75 (0.67–0.83) †	≥30	100 (89–100)	33 (25–42) ‡	100 (91–100)	30 (22–39)
FLAIR-DWI “cortex + deep gray nuclei” score	0.81 (0.74–0.88) †	≥41	100 (89–100)	37 (28–46) ‡	100 (92–100)	31 (22–41)

FLAIR-DWI “cortex” score

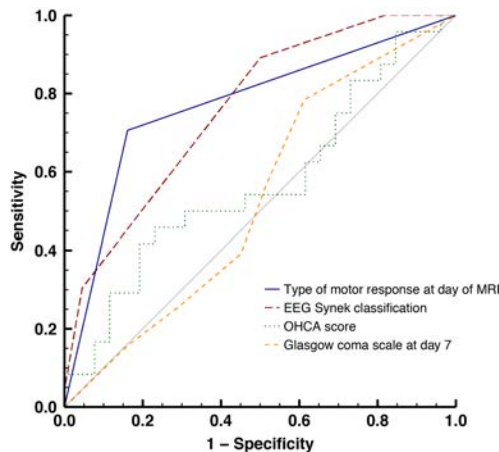
FLAIR-DWI “cortex + deep gray nuclei” score

IRM multimodale & anoxie

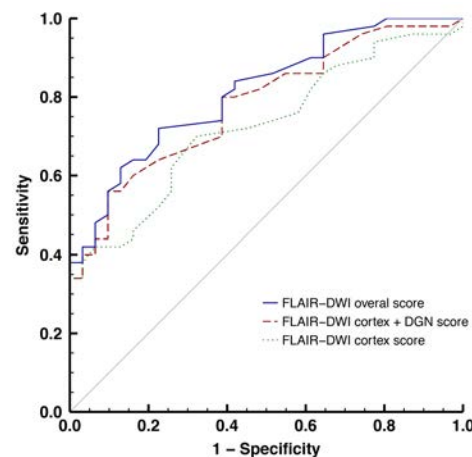


Le DWI à la Pitié Salpêtrière : WM-FA

A Clinical and paraclinical parameters



B Qualitative MRI



Variables

Qualitative Magnetic Resonance Imaging (MRI) variables

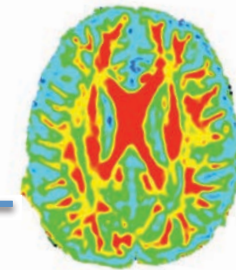
FLAIR-DWI “overall” score

Variables	Expressed in percent (95% confidence interval)					
	ROC _{AUC}		Predictive		Negative	
	(95% confidence interval)	Optimal Cutoff	Positive Predictive Value	Negative Predictive Value	Positive Value	Negative Value
FLAIR-DWI “overall” score	0.83 (0.76–0.90) †	≥41	100 (89–100)	40 (31–50) ‡	100 (92–100)	32 (23–42)
FLAIR-DWI “cortex” score	0.75 (0.67–0.83) †	≥30	100 (89–100)	33 (25–42) ‡	100 (91–100)	30 (22–39)
FLAIR-DWI “cortex + deep gray nuclei” score	0.81 (0.74–0.88) †	≥41	100 (89–100)	37 (28–46) ‡	100 (92–100)	31 (22–41)

FLAIR-DWI “cortex” score

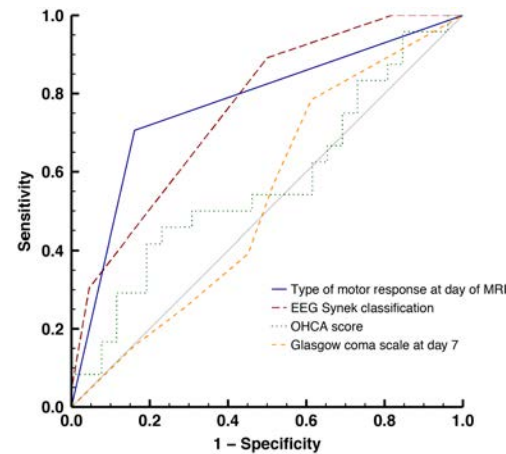
FLAIR-DWI “cortex + deep gray nuclei” score

IRM multimodale & anoxie

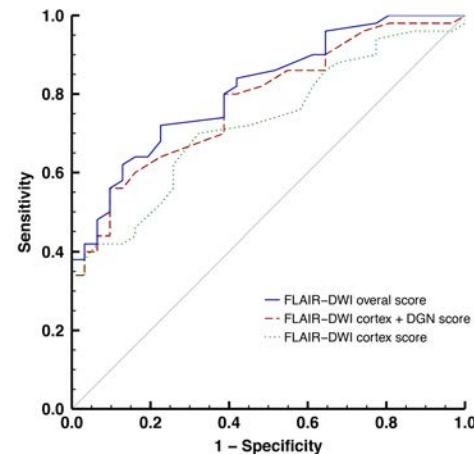


Le DWI à la Pitié Salpêtrière : WM-FA

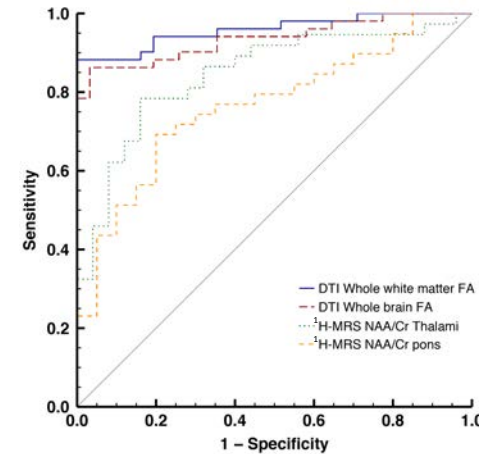
A Clinical and paraclinical parameters



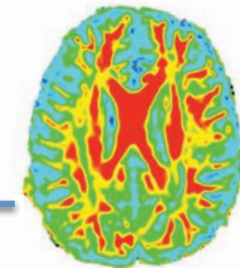
B Qualitative MRI



C Quantitative MRI

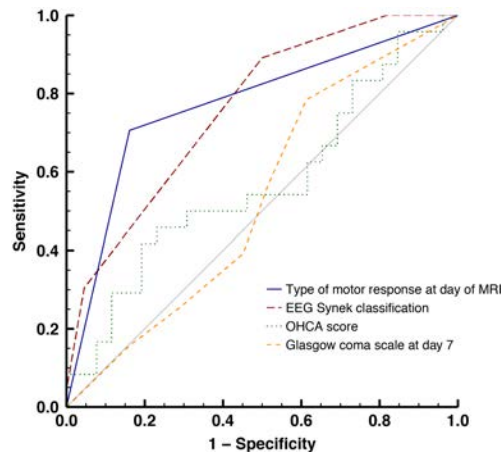


IRM multimodale & anoxie

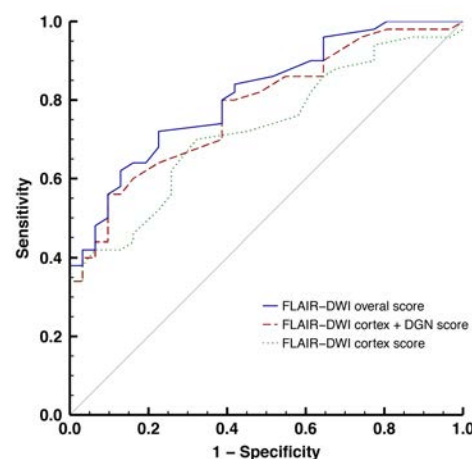


Le DWI à la Pitié Salpêtrière : WM-FA

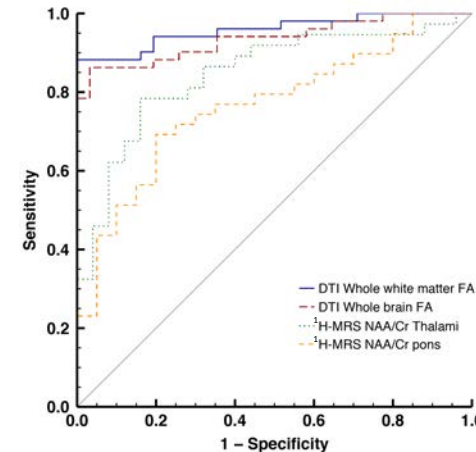
A Clinical and paraclinical parameters



B Qualitative MRI



C Quantitative MRI

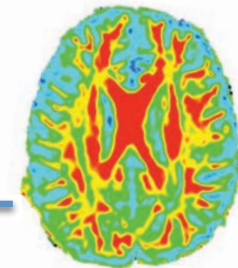


Variables

Quantitative MRI variables

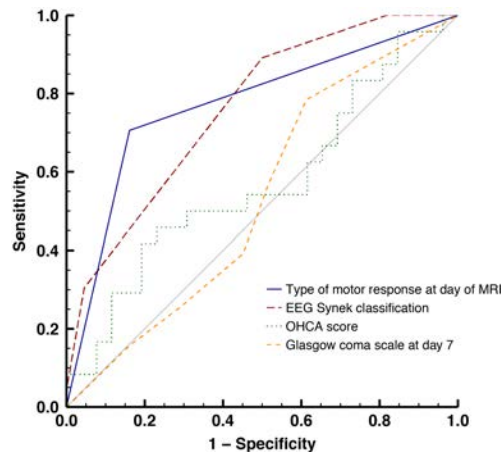
Variables	ROC _{AUC} (95% confidence interval)	Optimal Cutoff	Specificity	Sensitivity	Predictive Value	Negative Value
<i>Expressed in percent (95% confidence interval)</i>						
Whole white matter FA	0.95 (0.91–0.98)	<91%	100 (89–100)	89 (82–94)	100 (96–100)	72 (57–84)
Whole brain FA	0.92 (0.88–0.96)	<91%	100 (89–100)	80 (72–87)	100 (96–100)	59 (45–72)
NAA/Cr Thalamus	0.85 (0.77–0.93) †	<0.9	100 (87–100)	30 (21–40) ‡	100 (88–100)	29 (20–39)
NAA/Cr Pons	0.78 (0.68–0.87) †	<1.6	100 (85–100)	29 (20–39) ‡	100 (88–100)	24 (16–35)

IRM multimodale & anoxie

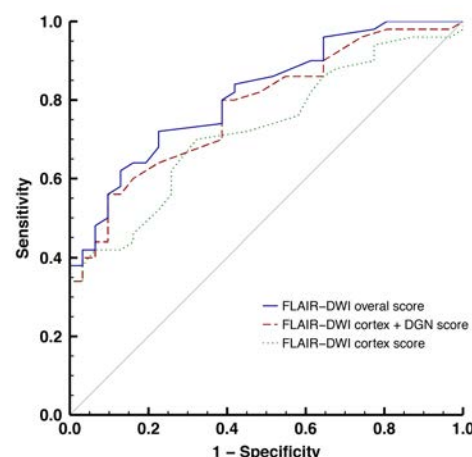


Le DWI à la Pitié Salpêtrière : WM-FA

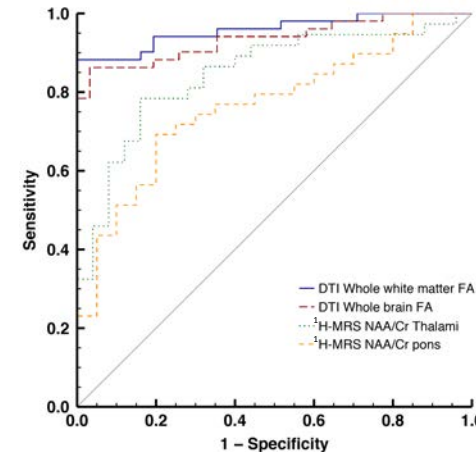
A Clinical and paraclinical parameters



B Qualitative MRI



C Quantitative MRI



Variables

Quantitative MRI variables

Whole white matter FA

0.95 (0.91–0.98)

<91%

100 (89–100)

89 (82–94) 100 (96–100)

72 (57–84)

Whole brain FA

0.92 (0.88–0.96)

<91%

100 (89–100)

80 (72–87) 100 (96–100)

59 (45–72)

NAA/Cr Thalamus

0.85 (0.77–0.93) †

<0.9

100 (87–100)

30 (21–40) ‡

100 (88–100)

29 (20–39)

NAA/Cr Pons

0.78 (0.68–0.87) †

<1.6

100 (85–100)

29 (20–39) ‡

100 (88–100)

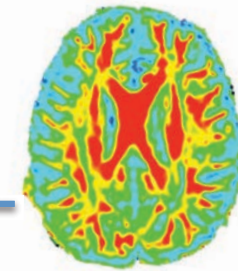
24 (16–35)

ROC_{AUC}
(95% confidence
interval)
Optimal
cutoff

	Predictive Positive	Negative Predictive
	Sensitivity	Value
	Specificity	Value
Expressed in percent (95% confidence interval)		

Expressed in percent (95% confidence interval)

IRM multimodale & anoxie

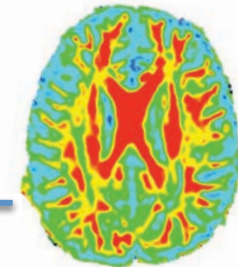


Le DWI à la Pitié Salpêtrière : WM-FA

Table S5. Prognostic Values of Significant Variables of the Patients Without a Limitation or Withdrawal of Care Decision*

Variables	ROC _{AUC} (95% Confidence Interval)	Optimal		Predictive		Negative
		cutoff	Specificity	Sensitivity	Positive Value	Predictive Value
		Expressed in percent (95% Confidence Interval)				
<i>Clinical, biological and electroencephalography (EEG) variables</i>						
OHCA score	0.57 (0.41–0.74)†	≥58	100 (87–100)	8 (1–27)‡	100 (16–100)	54 (39–69)
EEG Synek classification	0.76 (0.65–0.87)†	≥5	100 (85–100)	4 (1–15)‡	100 (16–100)	33 (22–46)
<i>Qualitative Magnetic Resonance Imaging (MRI) variables</i>						
FLAIR-DWI overall score	0.81 (0.72–0.90)†	≥42	100 (89–100)	38 (25–53)‡	100 (82–100)	50 (37–63)
FLAIR-DWI cortex score	0.73 (0.62–0.84)†	≥30	100 (89–100)	34 (21–49)‡	100 (80–100)	48 (36–61)
FLAIR-DWI cortex + deep gray nuclei score	0.78 (0.68–0.88)†	≥42	100 (89–100)	34 (21–49)‡	100 (80–100)	48 (36–61)
<i>Quantitative MRI variables</i>						
Whole white matter FA	0.96 (0.92–1.00)	<91%	100 (89–100)	88 (76–96)	100 (92–100)	84 (68–94)
Whole brain FA	0.94 (0.88–0.99)	<91%	100 (89–100)	78 (65–89)	100 (91–100)	74 (58–86)
NAA/Cr Thalamus	0.85 (0.75–0.94)†	<0.9	100 (86–100)	32 (18–50)‡	100 (74–100)	50 (36–64)
NAA/Cr Pons	0.77 (0.64–0.89)†	<1.6	100 (83–100)	23 (11–39)‡	100 (66–100)	40 (26–55)
<i>Combination of (Multivariate models)</i>						
Standard criteria – OHCA score – EEG Synek classification	0.84 (0.74–0.94)†	-	100 (85–100)	4 (1–15)‡	100 (16–100)	33 (22–46)
Standard criteria – OHCA score – EEG Synek classification – qualitative MRI	0.84 (0.75–0.93)†	-	100 (85–100)	62 (47–76)‡	100 (88–100)	56 (40–72)
Standard criteria – OHCA score – EEG Synek classification – qualitative MRI – quantitative MRI	0.99 (0.98–1.00)	-	100 (85–100)	93 (82–99)	100 (92–100)	88 (69–97)

IRM multimodale & anoxie



Le DWI à la Pitié Salpêtrière : WM-FA

RESULTS

In total, 185 patients were enrolled and 150 had an interpretable multimodal MRI. Thirty-three patients (22%) had a good neurologic outcome. Prognostic accuracy, as quantified by the area under the receiver operating characteristic curve (ROC_{AUC}), was significantly higher with the normalized WWM-FA value ($\text{ROC}_{\text{AUC}} 0.95$; 95% confidence interval (CI) 0.91 to 0.98) than with the standard criteria for poor outcome or other MRI sequences. The probability of good outcome with a WWM-FA value of $>95\%$ was 95% (95% CI 87 to 100).

Healthy volunteer

DWI

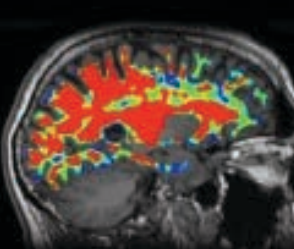
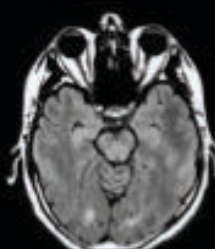
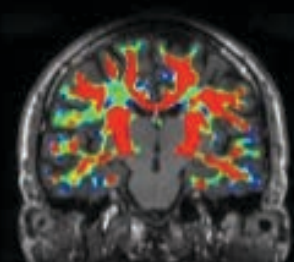
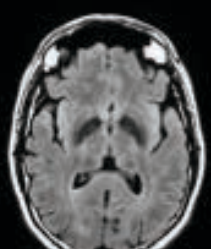
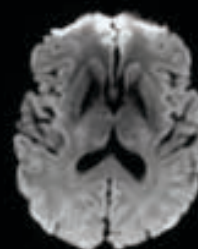
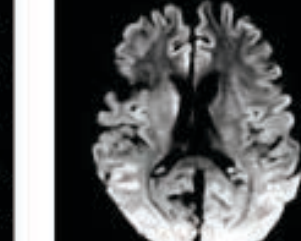
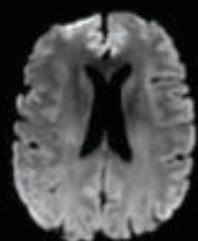
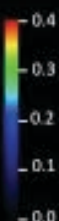


FLAIR



DTI

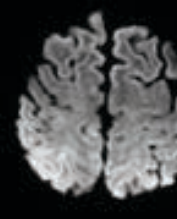
White Matter Fractional Anisotropy



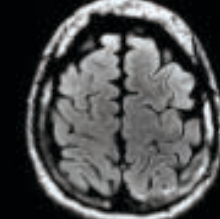
FLAIR-DWI "overall score": 4

Patient 1 (CPC-2)

DWI

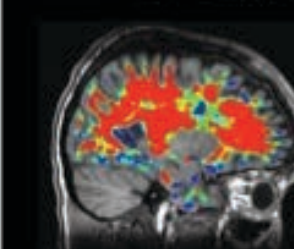
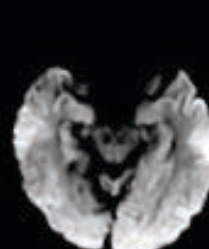
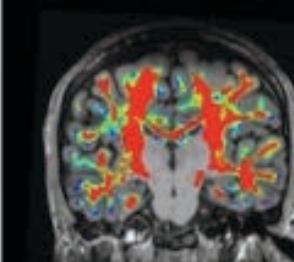
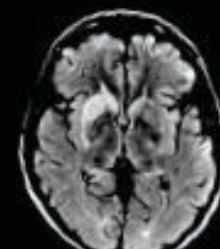
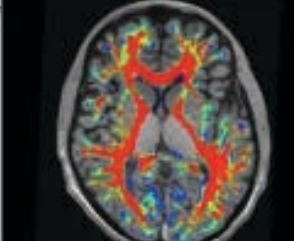
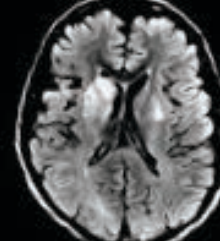
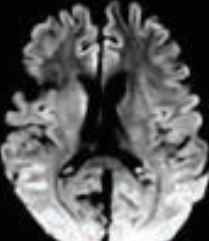


FLAIR



DTI

White Matter Fractional Anisotropy

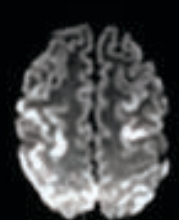


FLAIR-DWI "overall score": 35

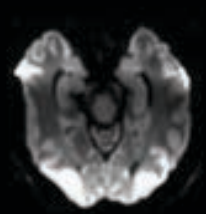
WWM-FA : 92% of controls

Patient 2 (CPC-2)

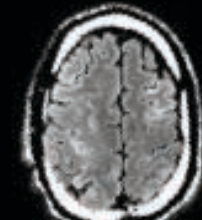
DWI



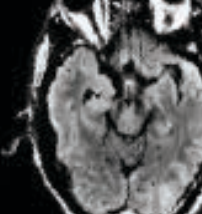
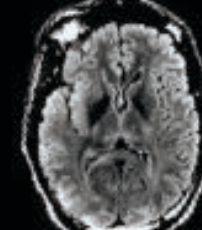
DWI



FLAIR

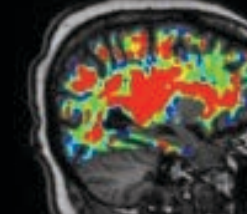
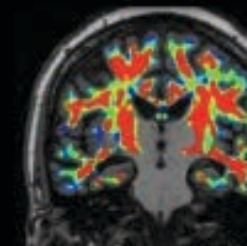
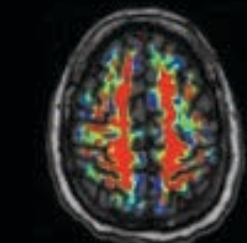


FLAIR



DTI

White Matter Fractional Anisotropy

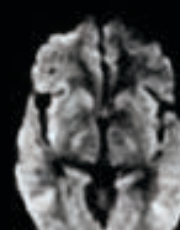


Patient 3 (CPC-4)

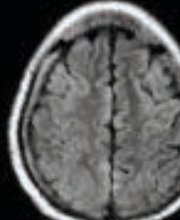
DWI



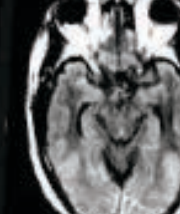
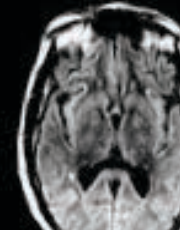
DWI



FLAIR

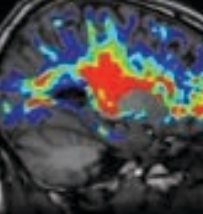
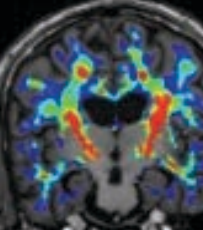
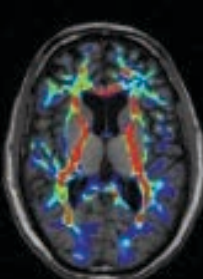
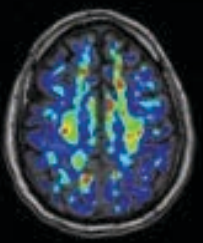


FLAIR



DTI

White Matter Fractional Anisotropy



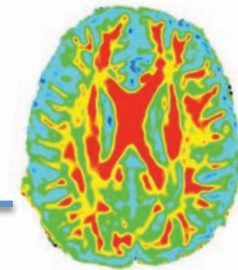
FLAIR-DWI "overall score": 32

WWM-FA : 95% of controls

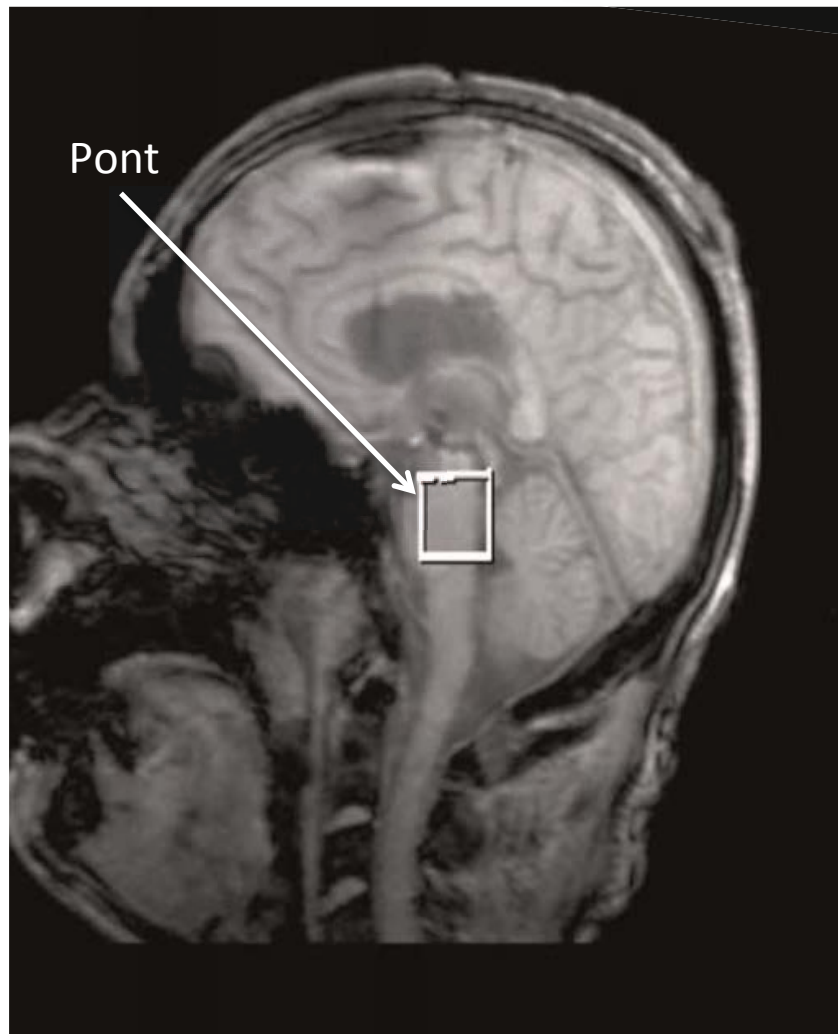
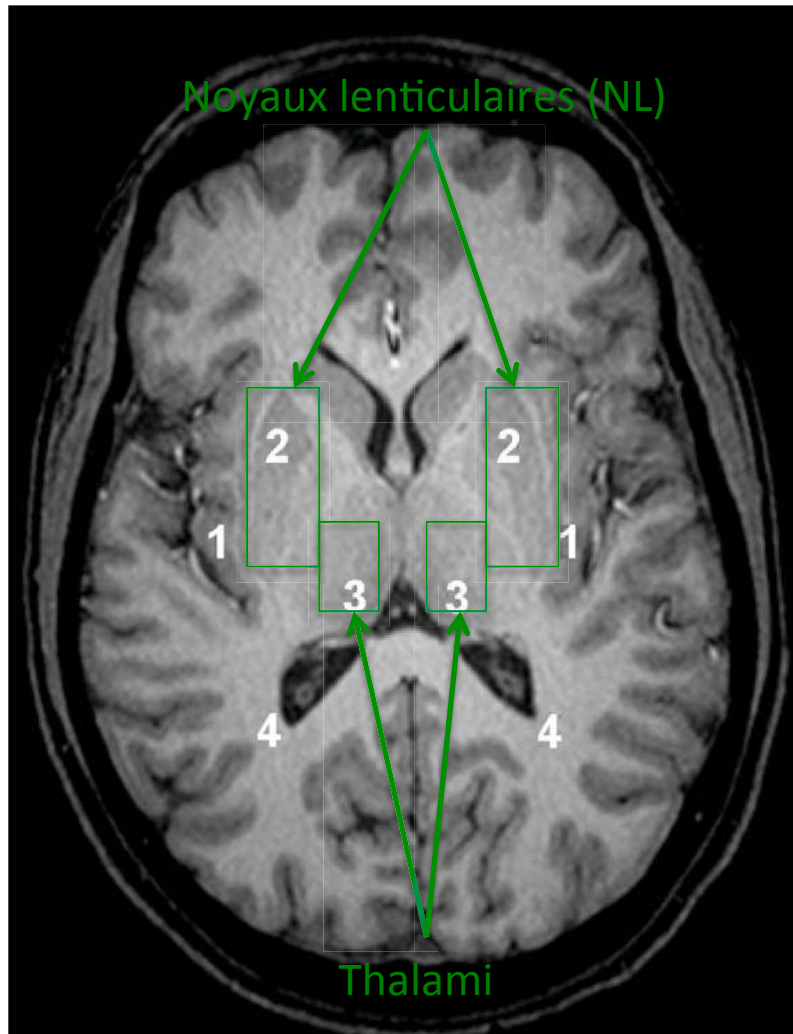
FLAIR-DWI "overall score": 25

WWM-FA : 66% of controls

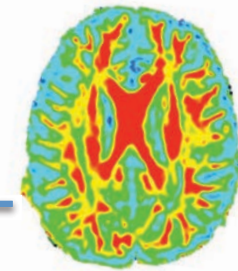
IRM multimodale & anoxie



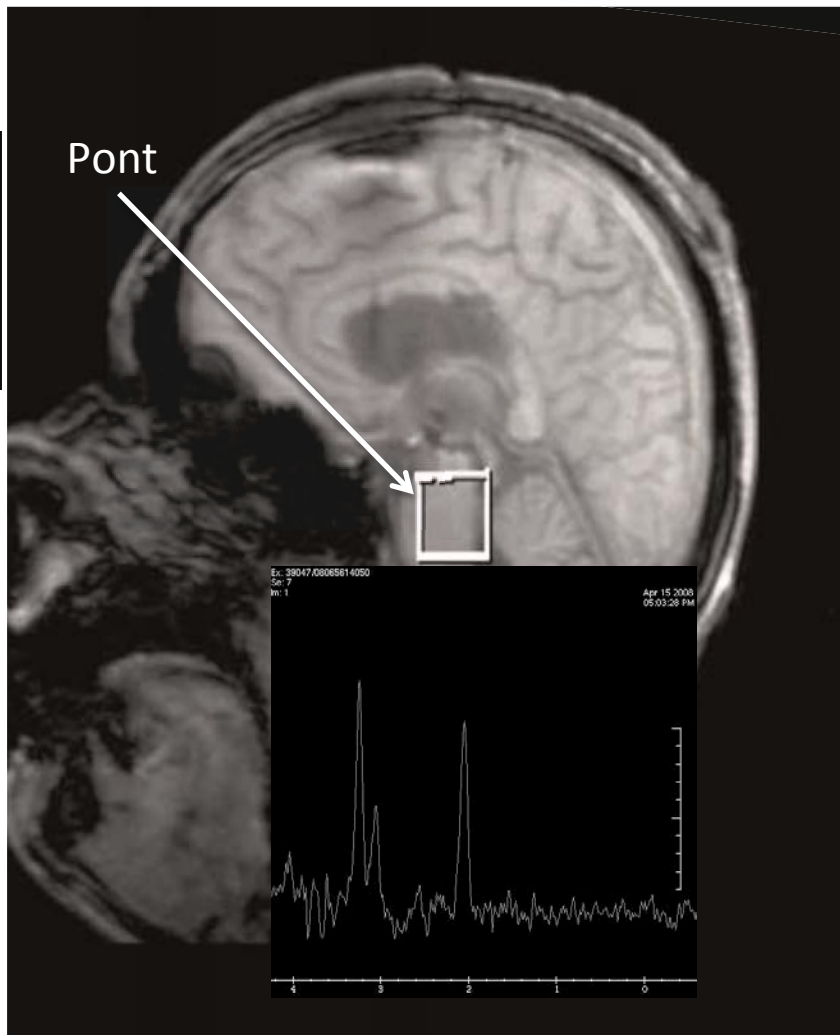
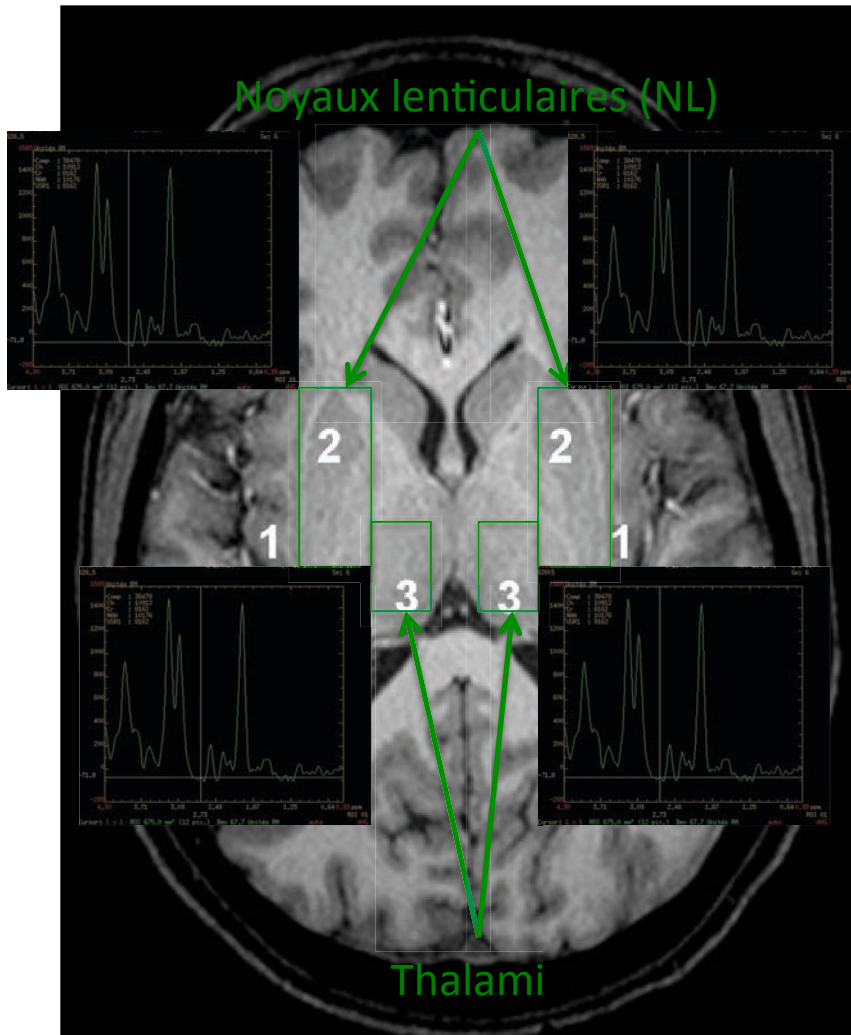
La SRM



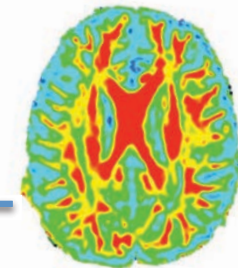
IRM multimodale & anoxie



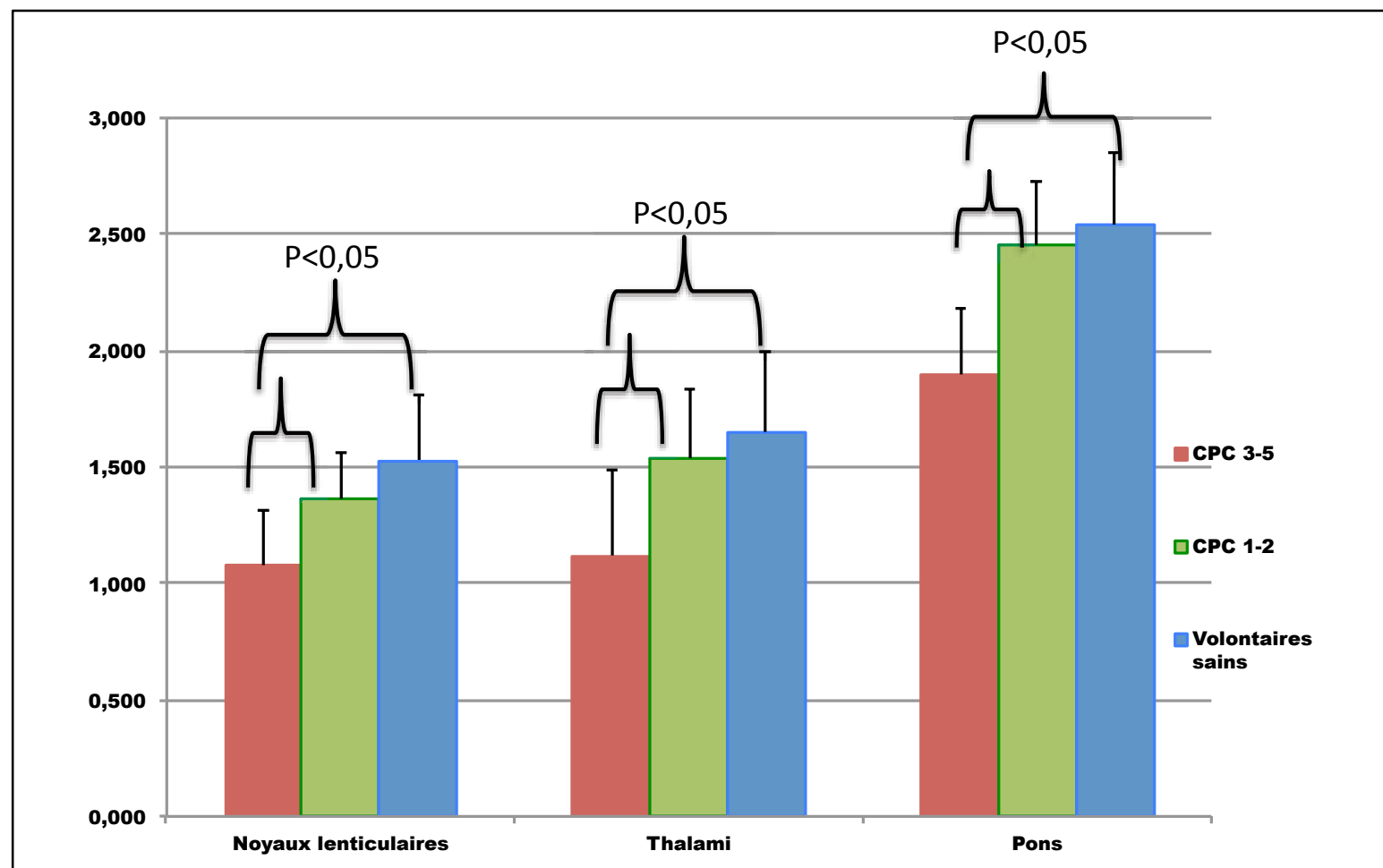
La SRM



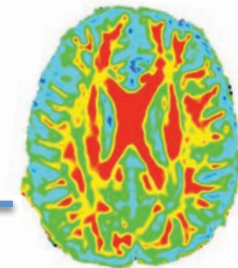
IRM multimodale & anoxie



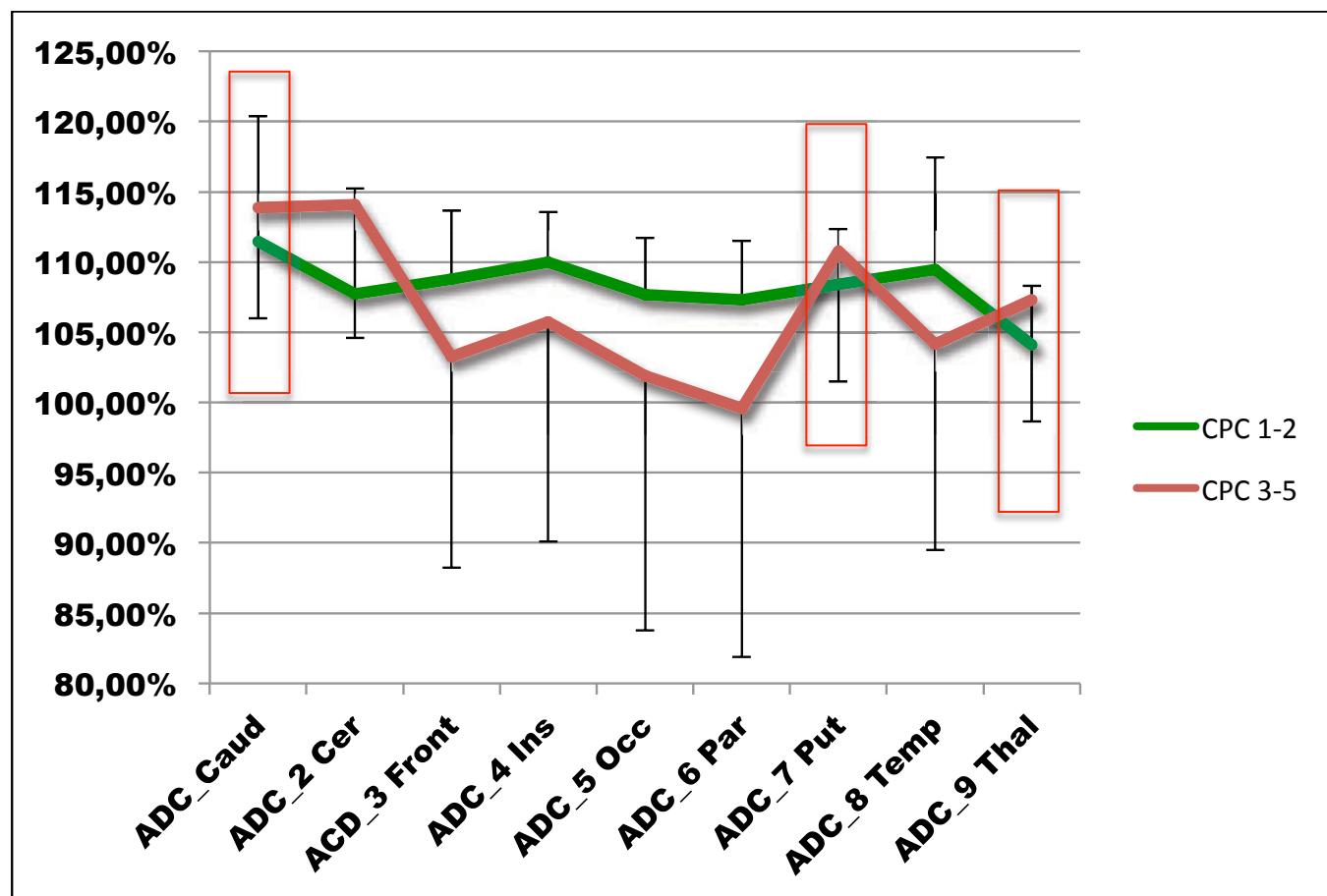
La SRM



IRM multimodale & anoxie



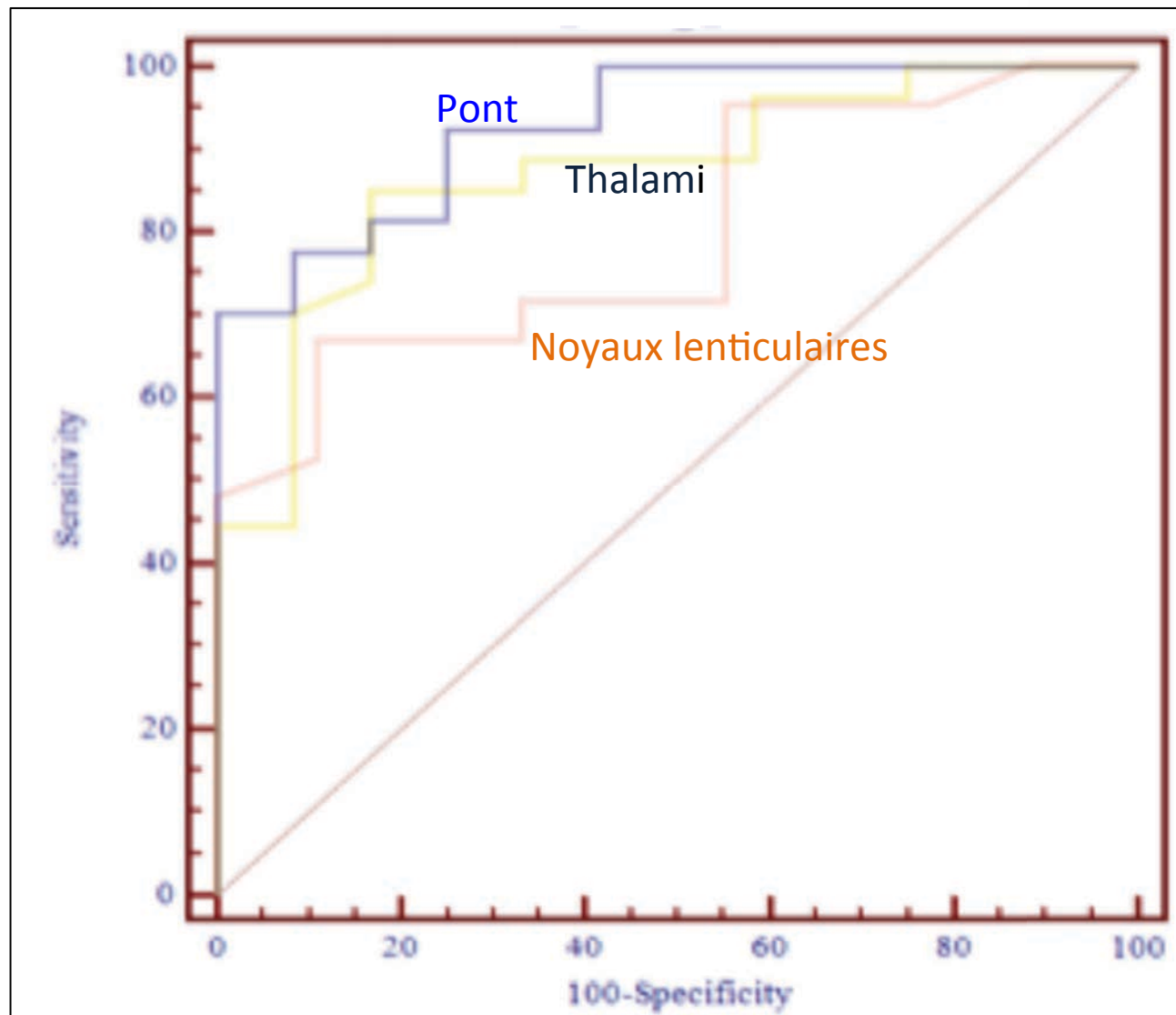
La SRM



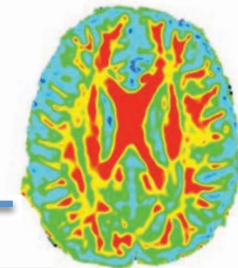
IRM multimodale & anoxie



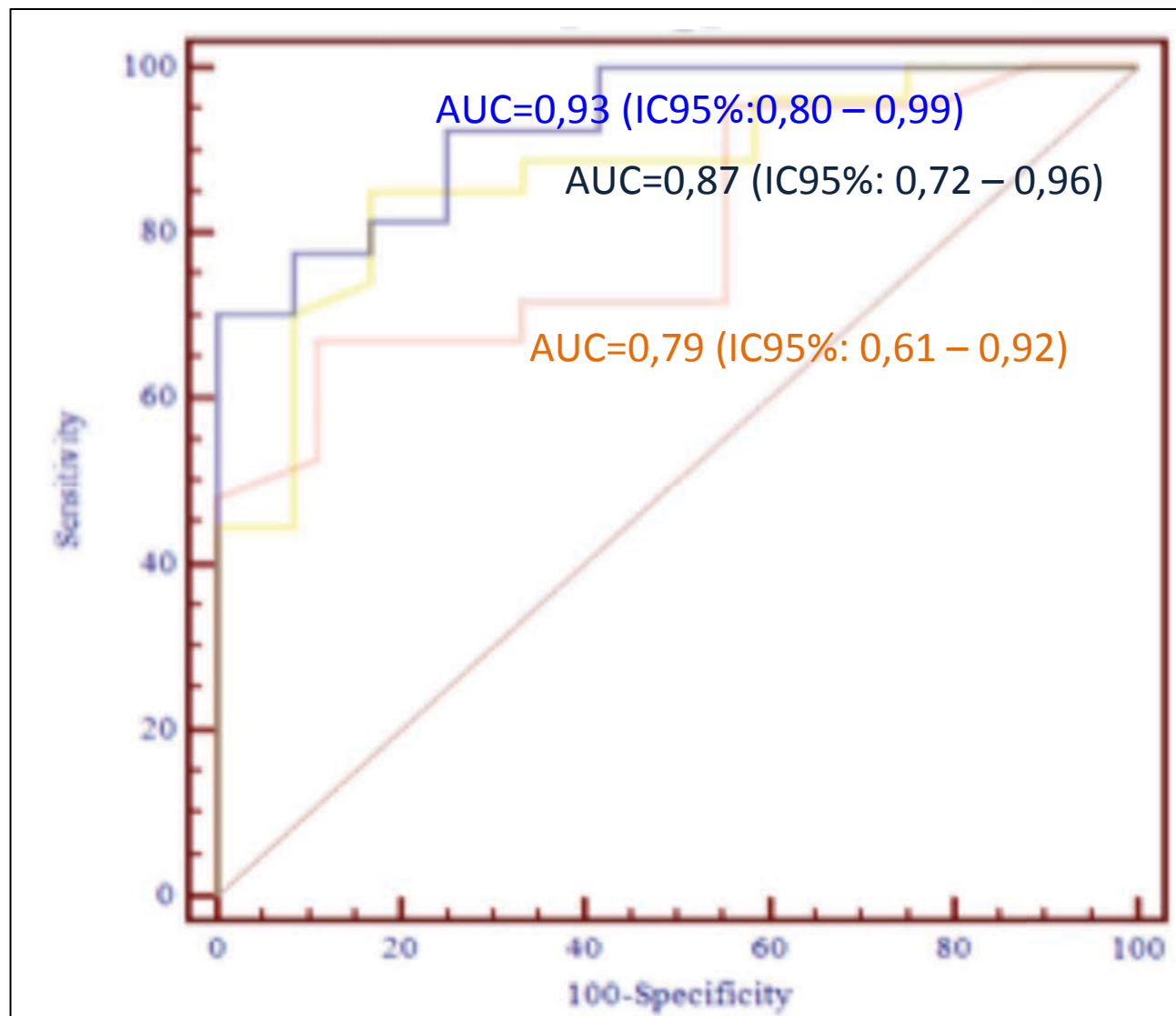
La SRM



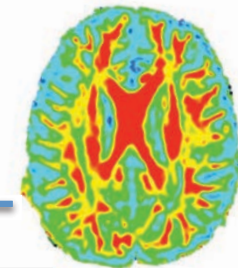
IRM multimodale & anoxie



La SRM



IRM multimodale & anoxie

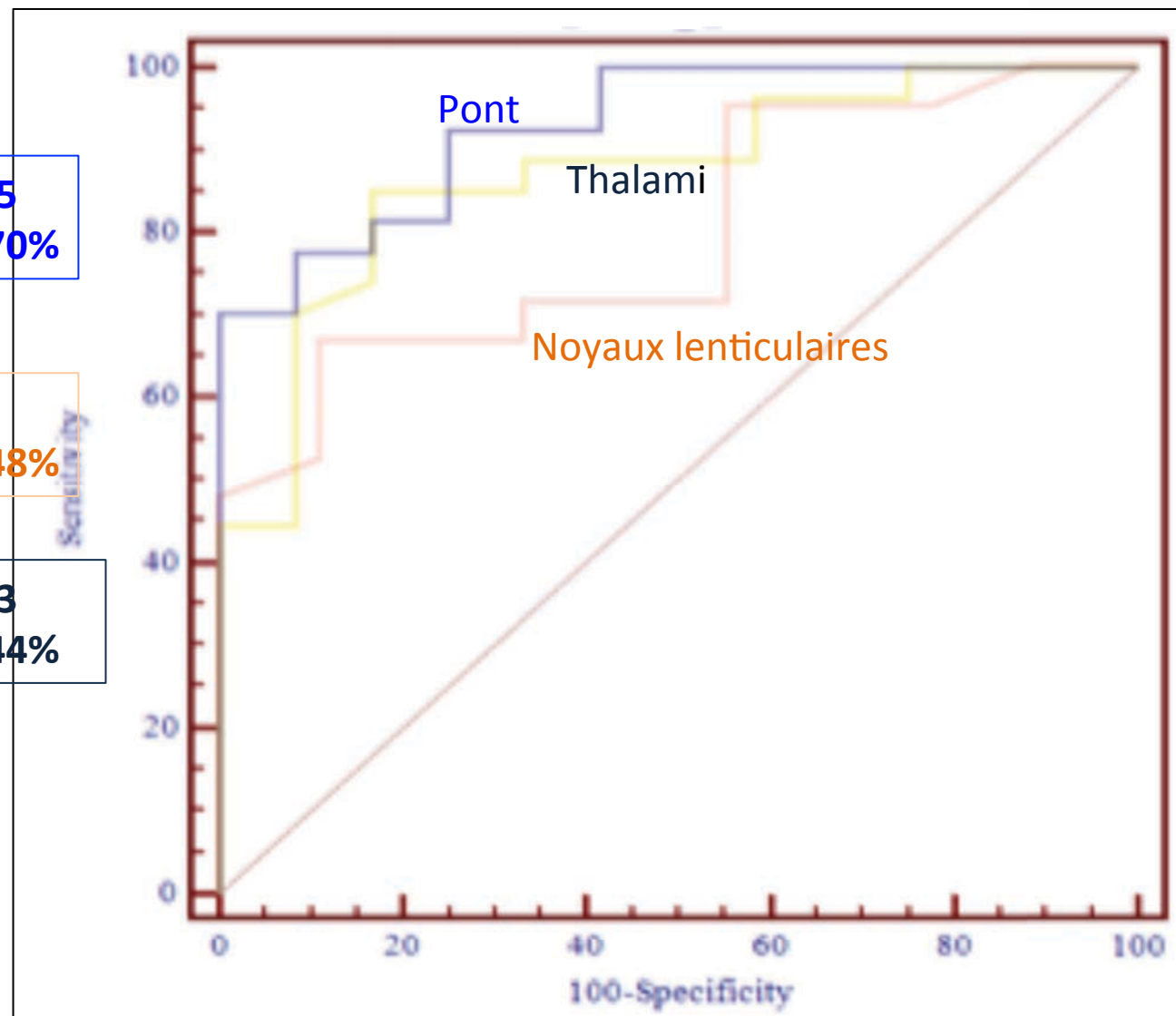


La SRM

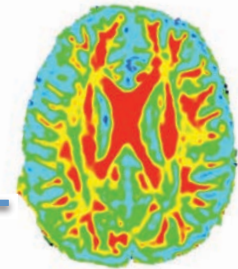
NAA/Cr <2,05
Sp 100% Se 70%

NAA/Cr<1,1
Sp 100% Se 48%

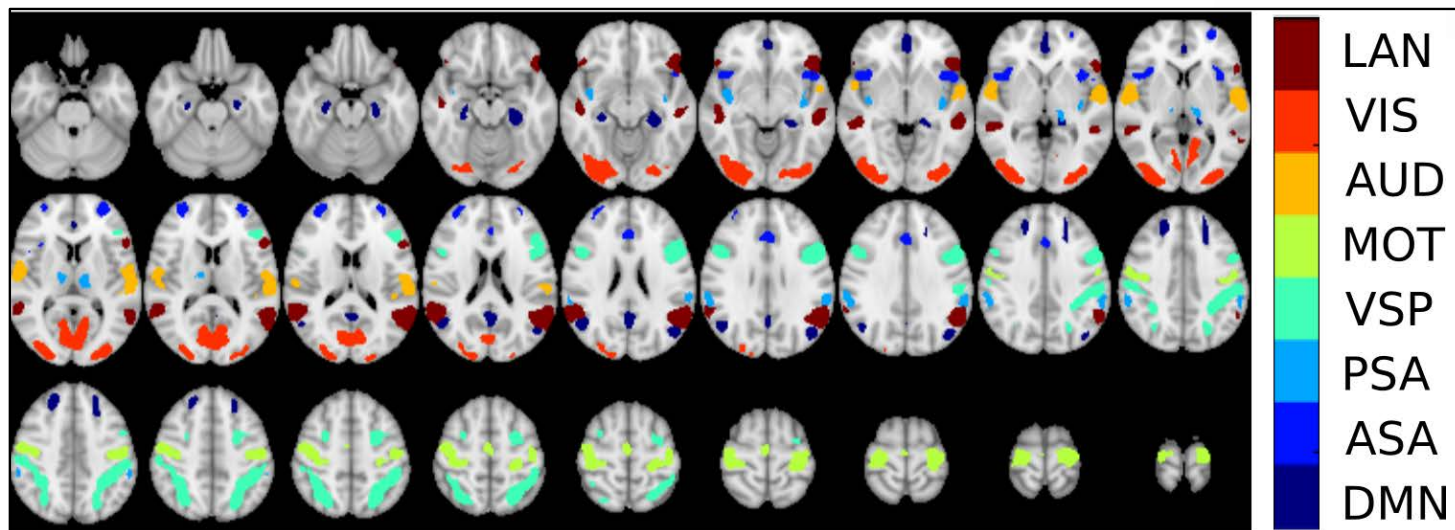
NAA/Cr<0 ,93
Sp 100% Se 44%



IRM multimodale & anoxie

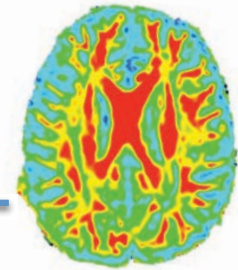


L'IRM fonctionnelle à la Pitié

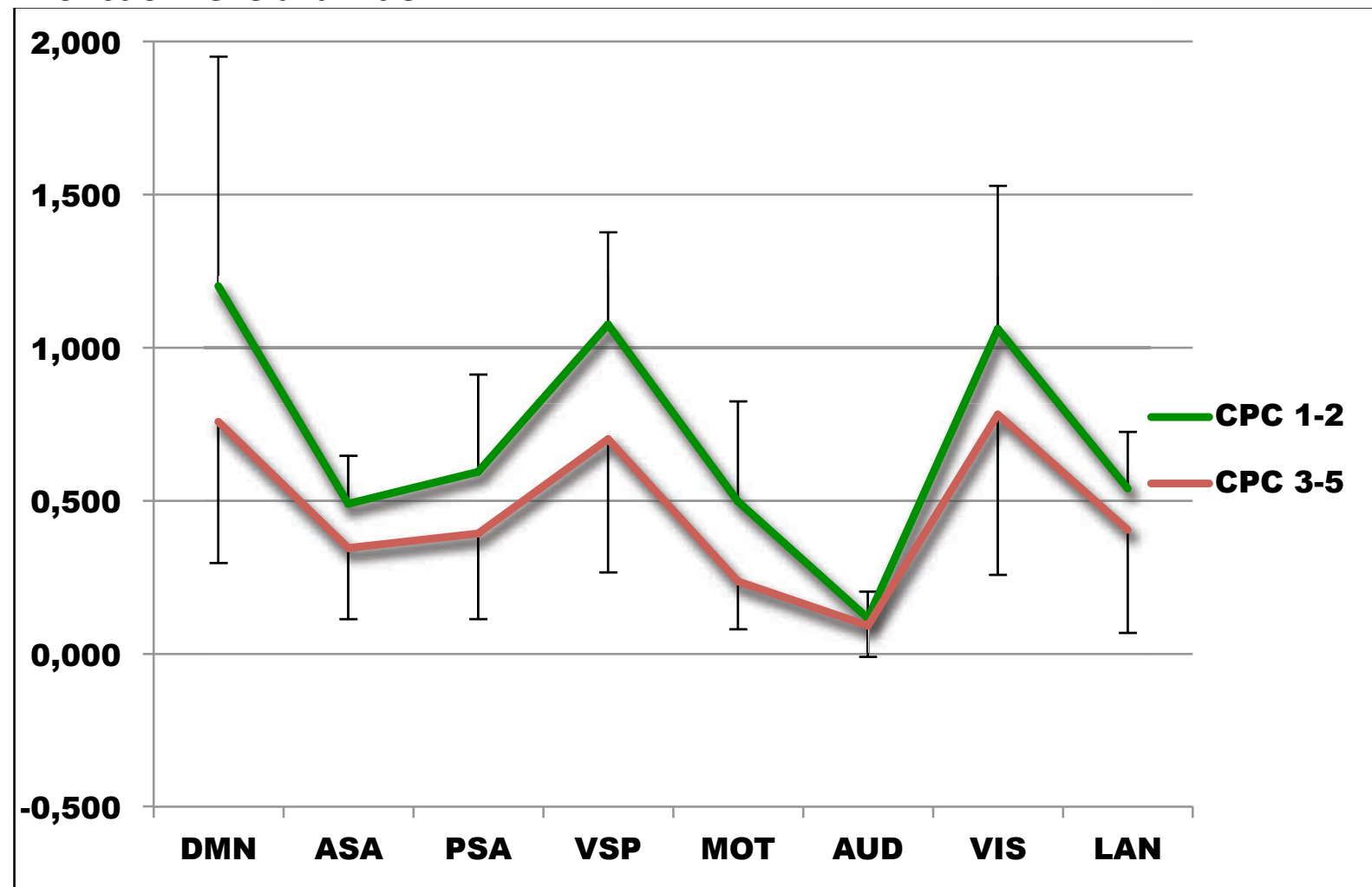


- 1) Intégration DMN: intégration dans le réseau par défaut
- 2) Intégration ASA: intégration dans le réseau antérieur de la salience
- 3) Intégration PSA: intégration dans le réseau postérieur de la salience
- 4) Intégration VSP: intégration dans le réseau de l'attention visio-spatiale
- 5) Intégration MOT: intégration dans le réseau moteur
- 6) Intégration AUD: intégration dans le réseau auditif
- 7) Intégration VIS: intégration dans le réseau visuel
- 8) Intégration LAN: intégration dans le réseau du langage

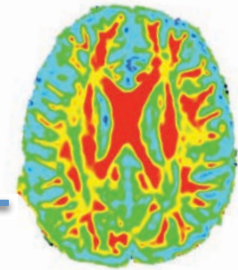
IRM multimodale & anoxie



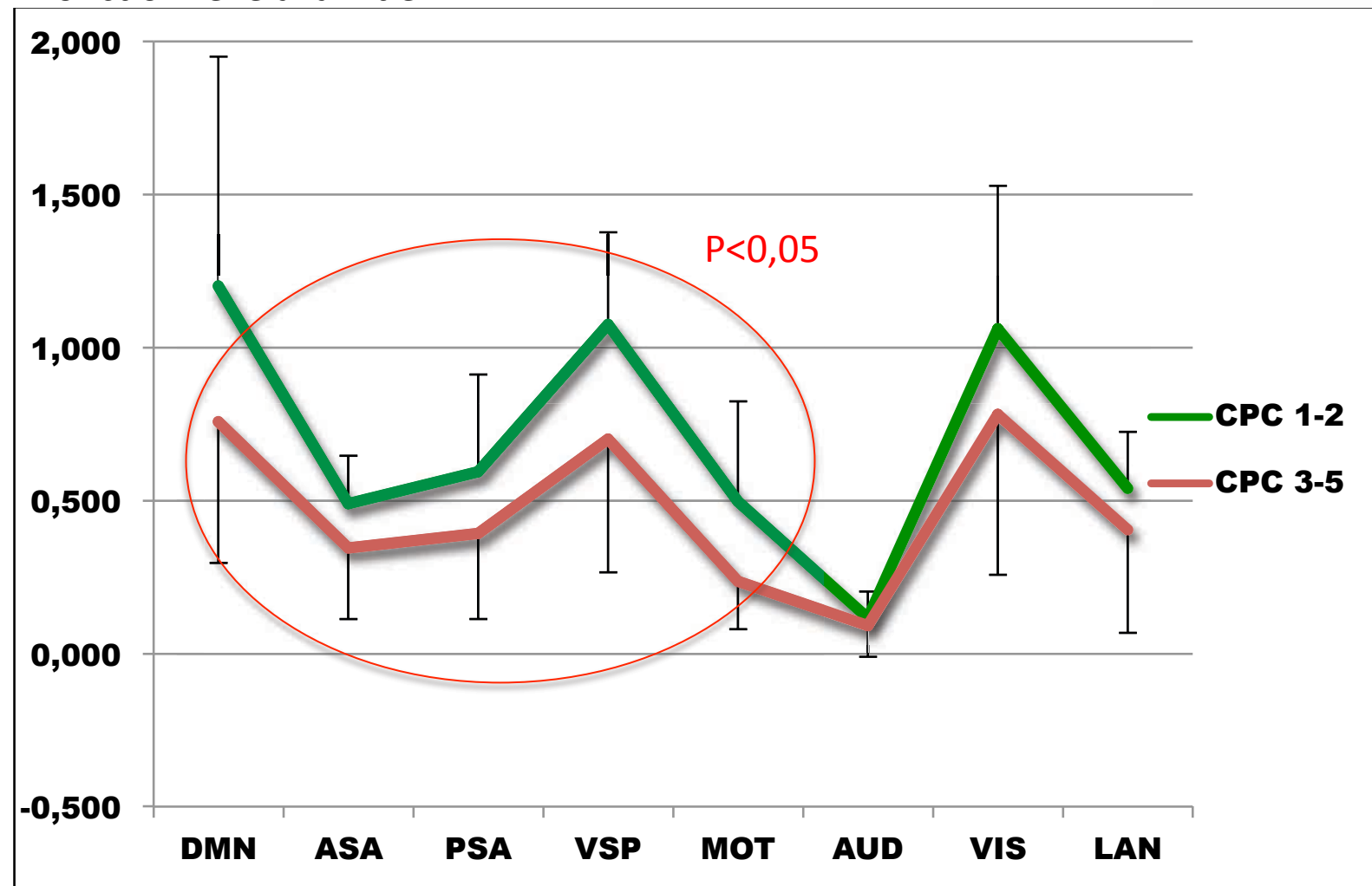
L'IRM fonctionnelle à la Pitié



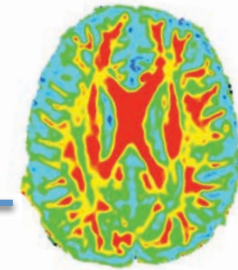
IRM multimodale & anoxie



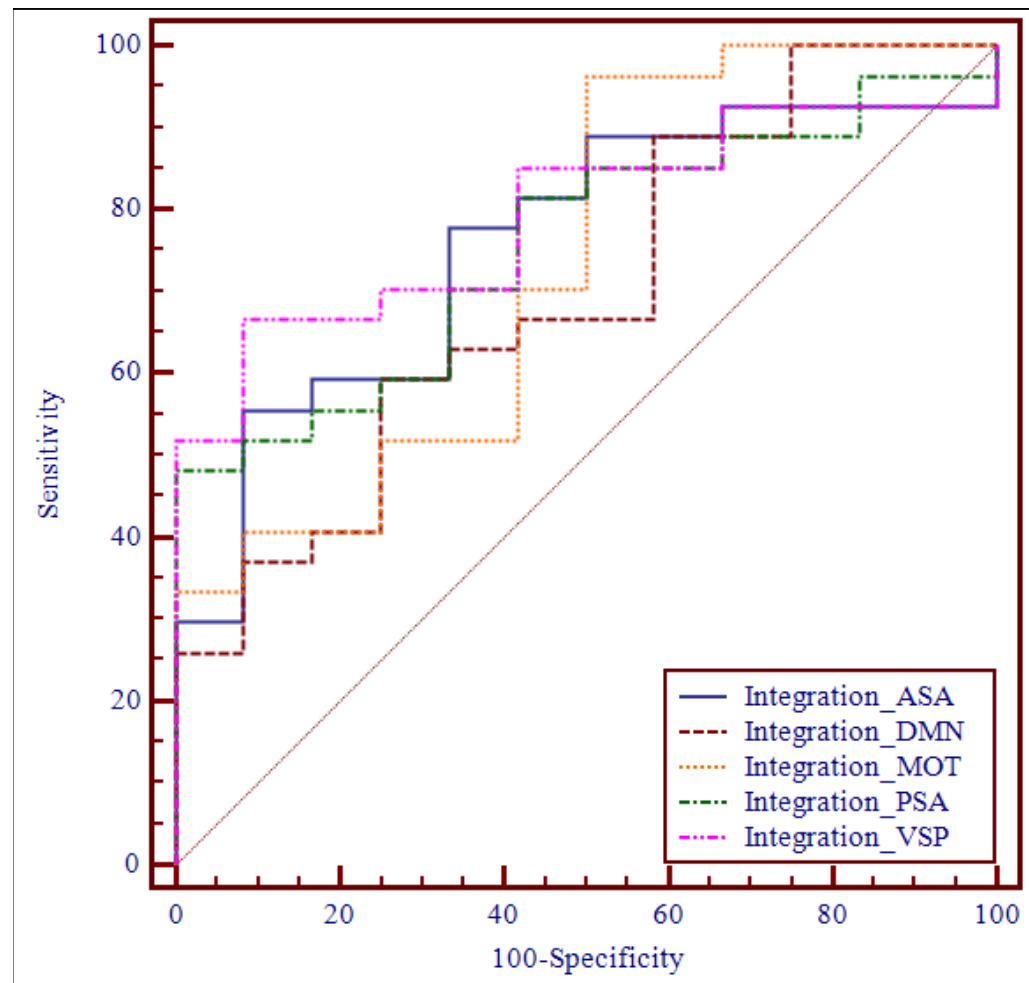
L'IRM fonctionnelle à la Pitié



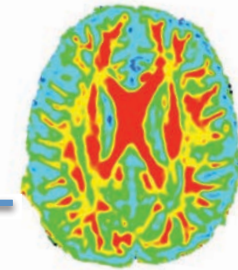
IRM multimodale & anoxie



L'IRM fonctionnelle à la Pitié

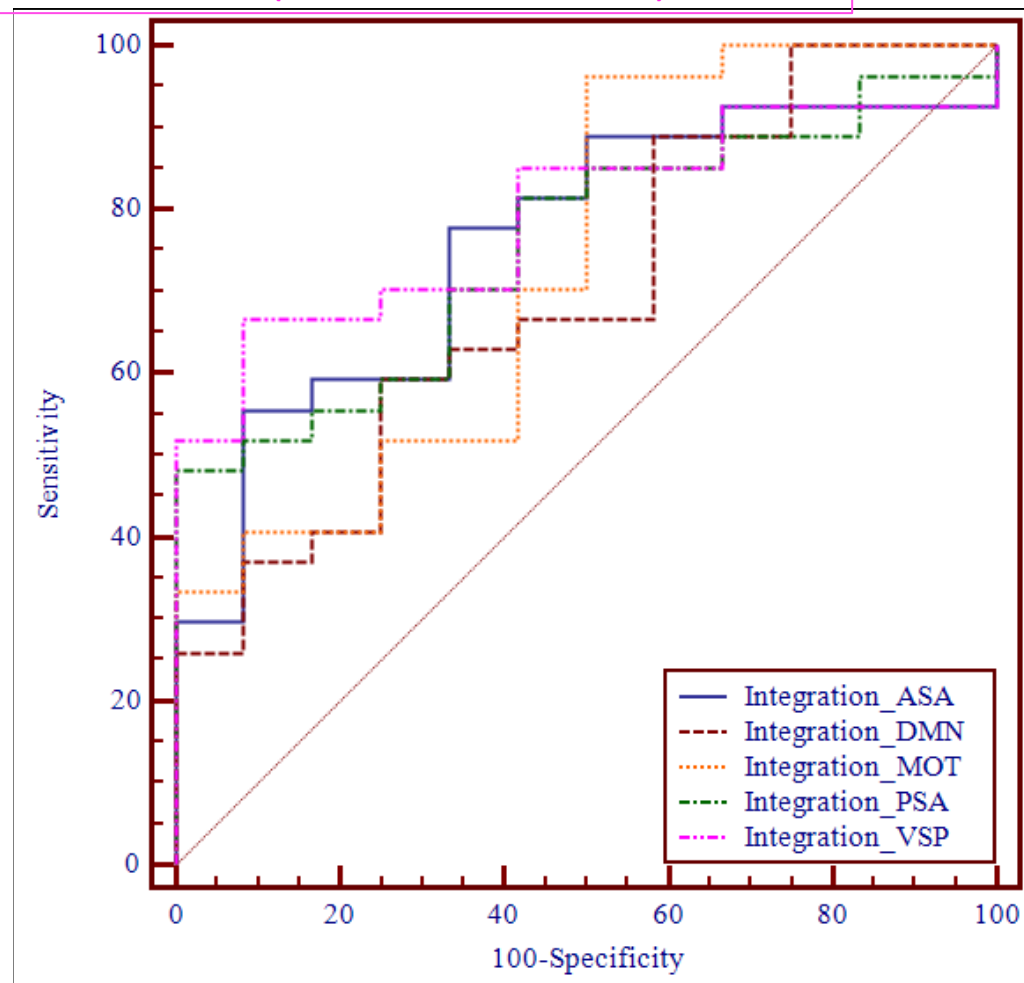


IRM multimodale & anoxie

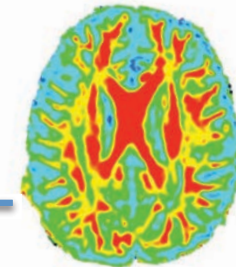


L'IRM fonctionnelle à la Pitié

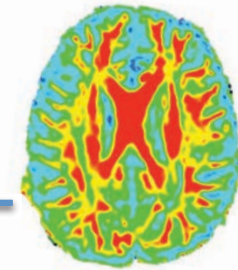
intégration dans le VSP : AUC 0,79 (IC 95%: 0,63 – 0,91)



IRM multimodale & anoxie



IRM multimodale & anoxie



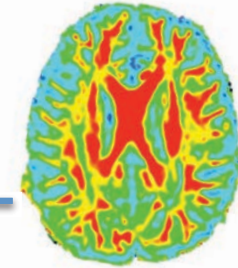
Willful Modulation of Brain Activity in Disorders
of Consciousness

The NEW ENGLAND
JOURNAL of MEDICINE



Laureys S, et al, NEJM, 2010

IRM multimodale & anoxie



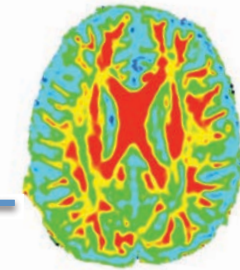
Willful Modulation of Brain Activity in Disorders of Consciousness

The NEW ENGLAND
JOURNAL of MEDICINE

Patient No.	Location	Age	Sex	Diagnosis on Admission	Cause of Disorder
23	Liege	22	Male	VS	TBI

Laureys S, et al, NEJM, 2010

IRM multimodale & anoxie



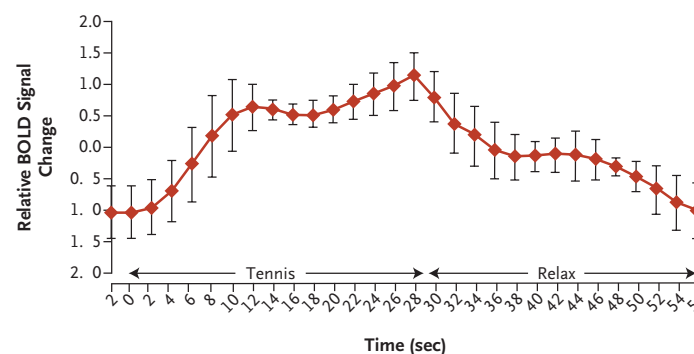
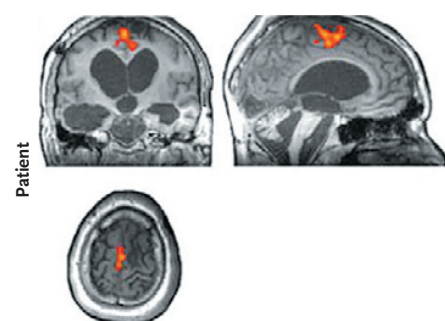
Willful Modulation of Brain Activity in Disorders of Consciousness

The NEW ENGLAND JOURNAL of MEDICINE

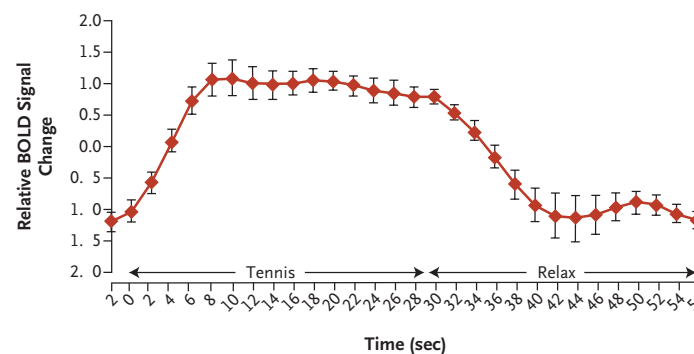
Patient No.	Location	Age	Sex	Diagnosis on Admission	Cause of Disorder
-------------	----------	-----	-----	------------------------	-------------------

23 Liege 22 Male VS TBI

A Motor Imagery

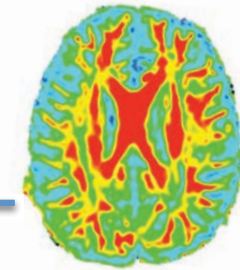


B Motor Imagery



Laureys S, et al, NEJM, 2010

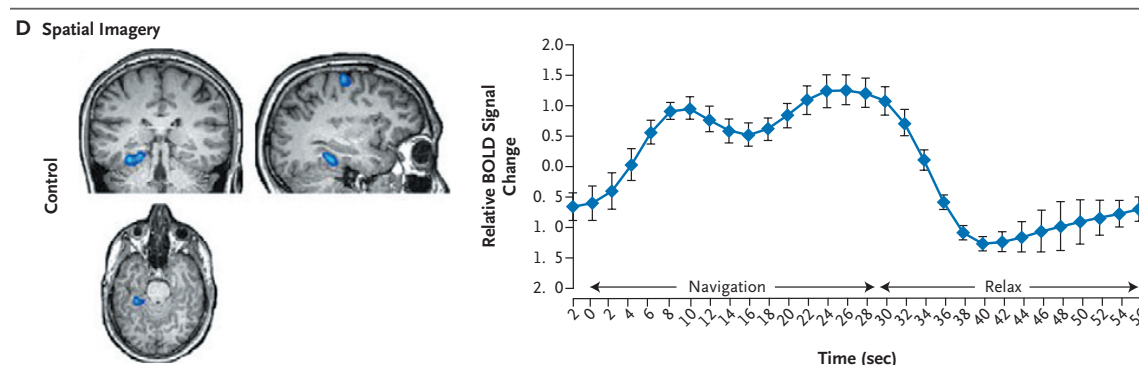
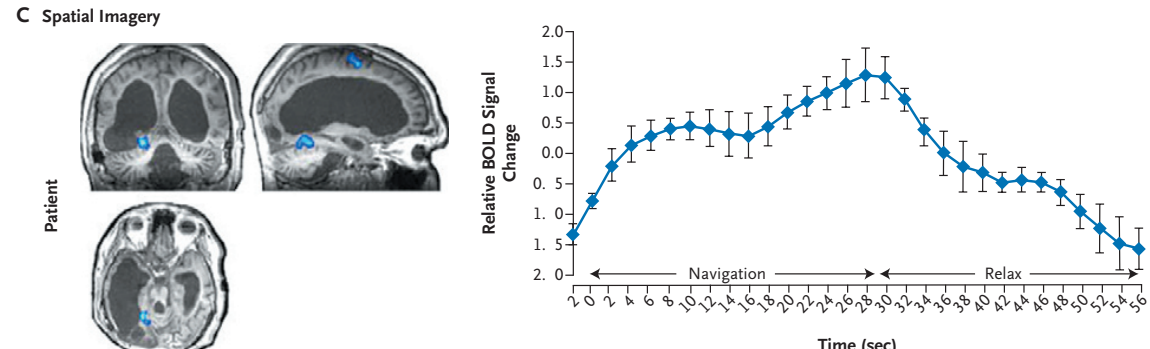
IRM multimodale & anoxie



Willful Modulation of Brain Activity in Disorders of Consciousness

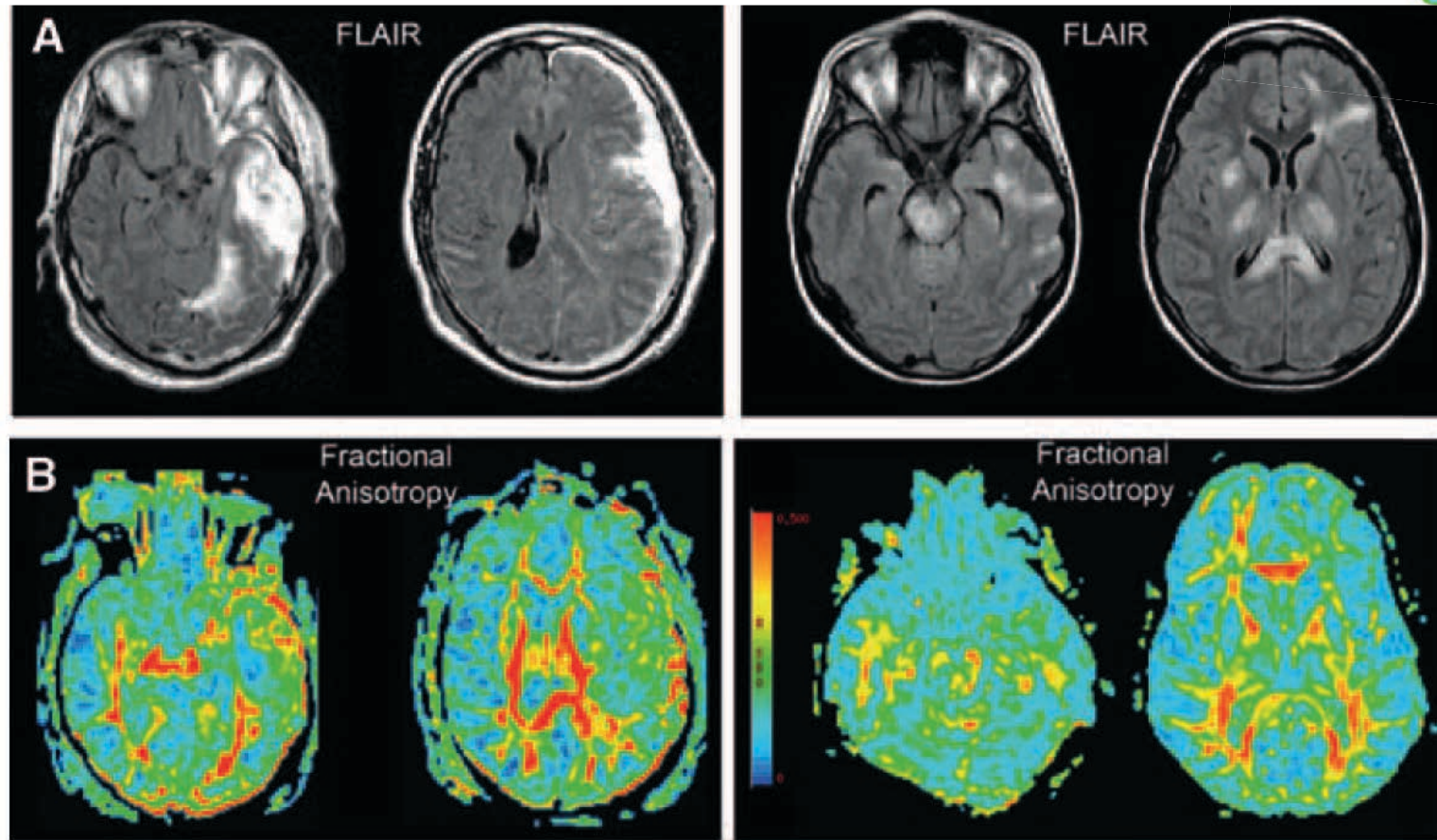
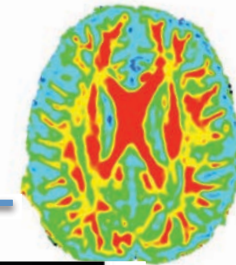
The NEW ENGLAND JOURNAL of MEDICINE

Patient No.	Location	Age	Sex	Diagnosis on Admission	Cause of Disorder
23	Liege	22	Male	VS	TBI



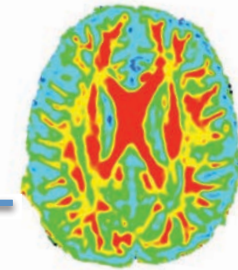
Laureys S, et al, NEJM, 2010

IRM multimodale & TBI



TBI=Distribution hétérogène des lésions

IRM multimodale & TBI



ASSISTANCE
PUBLIQUE
HÔPITAUX
DE PARIS

UPMC
SORBONNE UNIVERSITÉS

IIF

Inserm

ComaSoft REPORT - 13/01/15



DISCLAIMER

The conclusions obtained with the COMASOFT software is an help to the diagnosis and to the prognosis. They do not substitute themselves for the clinical decisions of the clinicians which remain responsible for their diagnosis, for their prognosis, for their prescriptions and for their clinical care in any circumstances. The conclusions supplied by the tool through the COMASOFT report are it as a rough guide. They would not know how to exempt the user of combining all the arguments necessary for his decision. They can be used on no account in a isolated way.
As a consequence, AP-HP, UPMC and Inserm can have on no account responsible for any direct or indirect damage resulting from the use of the data, the information or the results stemming from this COMASOFT software. The user recognizes to use this information under his only exclusive responsibility.

DECHARGE DE RESPONSABILITE

Les conclusions obtenues grace au systeme logiciel COMASOFT constituent une aide au diagnostic et au pronostic. Elles ne se substituent pas aux decisions cliniques des praticiens qui demeurent responsables de leur diagnostic, de leur pronostic, de leurs prescriptions et de leur prise en charge en toutes circonstances. Les conclusions fournis par l'outil a travers le rapport COMASOFT le sont a titre indicatif. Elles ne sauraient dispenser l'utilisateur de reunir tous les arguments necessaires a sa decision. Elles ne peuvent en aucun cas etre utilisees de maniere isolee.
En consequence, l'AP-HP, l'UPMC et l'Inserm ne pourront en aucun cas etre tenus responsables de tout dommage direct ou indirect resultant de l'utilisation des donnees, informations ou resultats issus de ce systeme logiciel COMASOFT. L'utilisateur reconnaît utiliser ces informations sous sa seule responsabilite exclusive..

PATIENT REFERENCE : potel^cyril_20120629

DTI CONTROLS GROUP : ctrl_psl_3t_50d_84-5_84-9_85-1_85-3_maskTracts

CLASSIFIER : TBI_mask20_GOS[1,3-]_GOS[3+,5]

UFO SCORE : 0.871

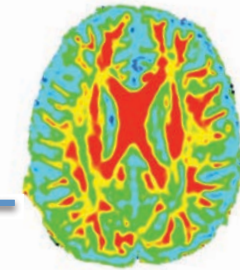
CLASSIFIER : TBI_mask20_WM_FA_GOS[1,3-]_GOS[3+,5]

UFO SCORE : 0.389

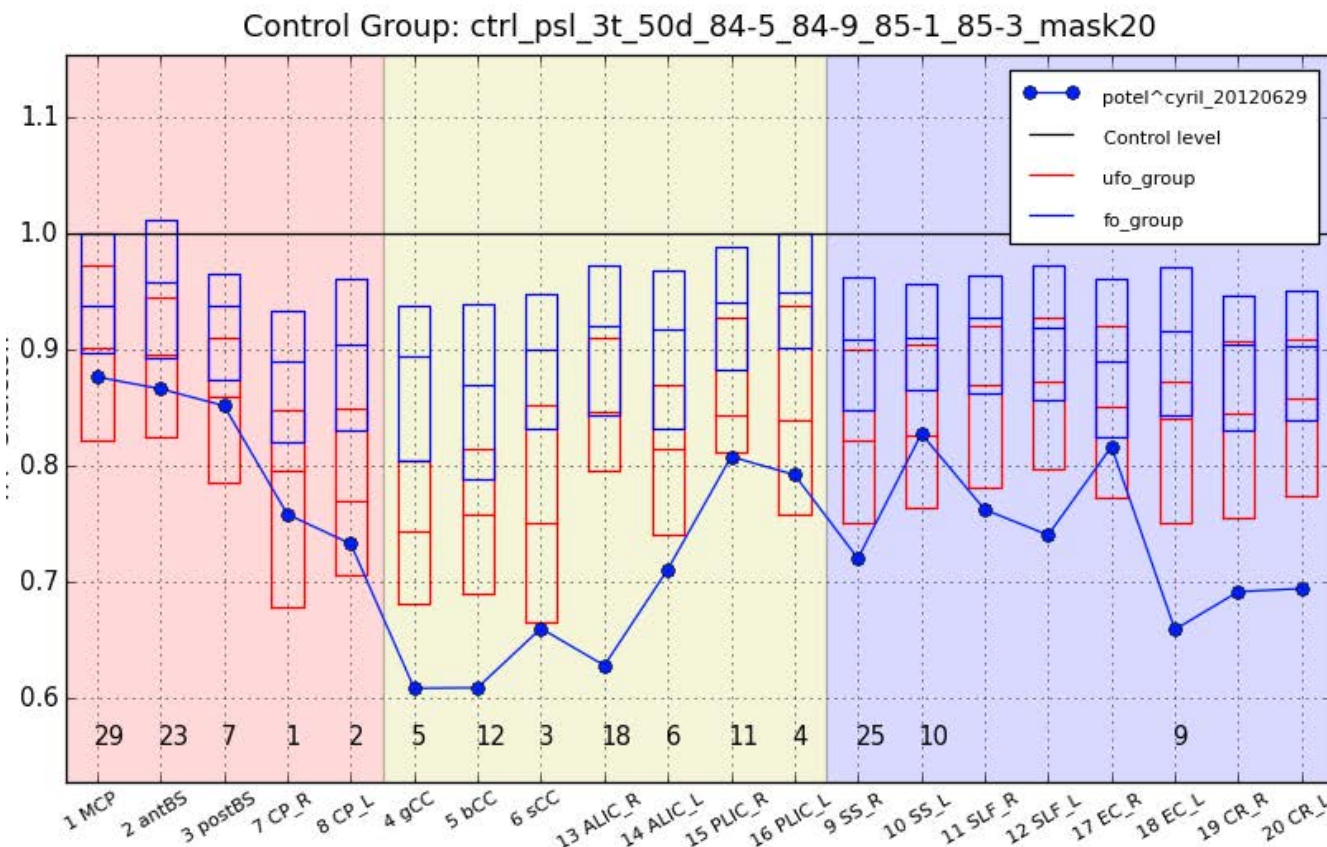
CLASSIFIER : TBI_maskTracts_DRS<5_DR>=5

UFO SCORE : 0.905

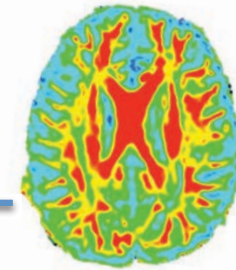
IRM multimodale & TBI



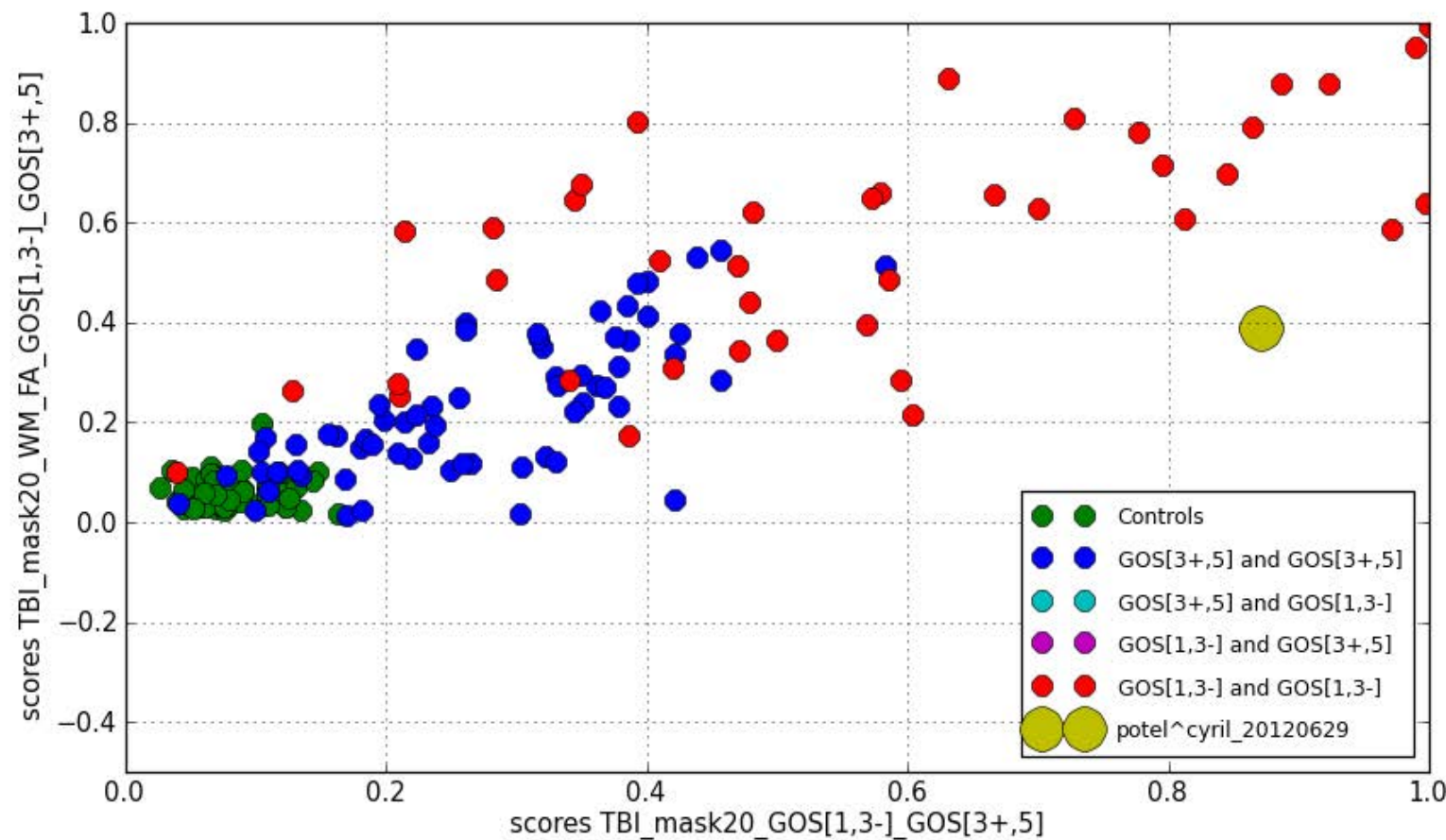
Fractional Anisotropy



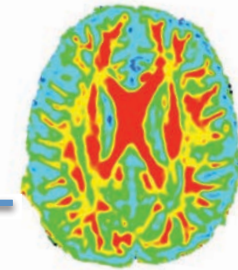
IRM multimodale & TBI



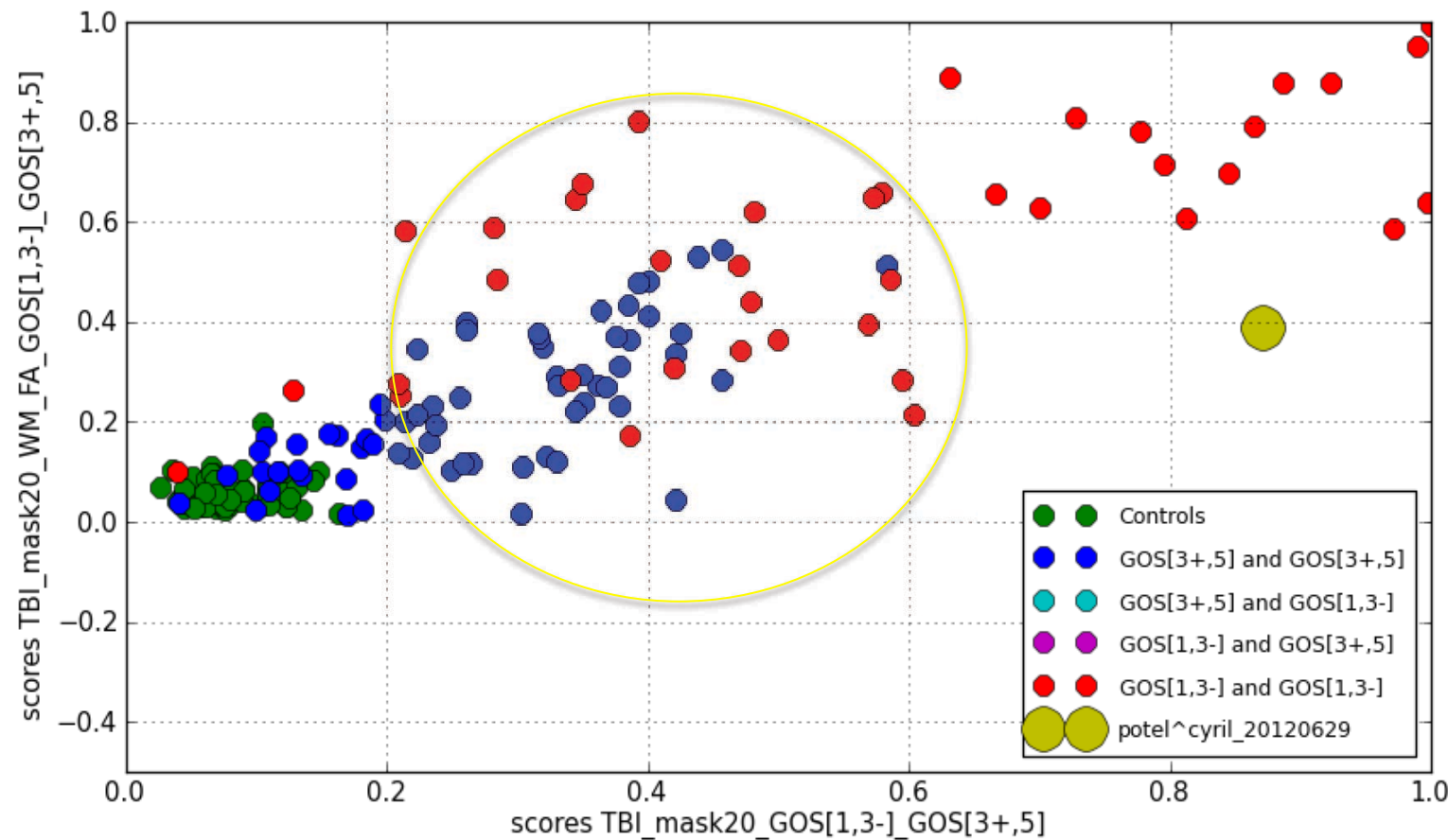
Outcome Prediction : Scatter Plot



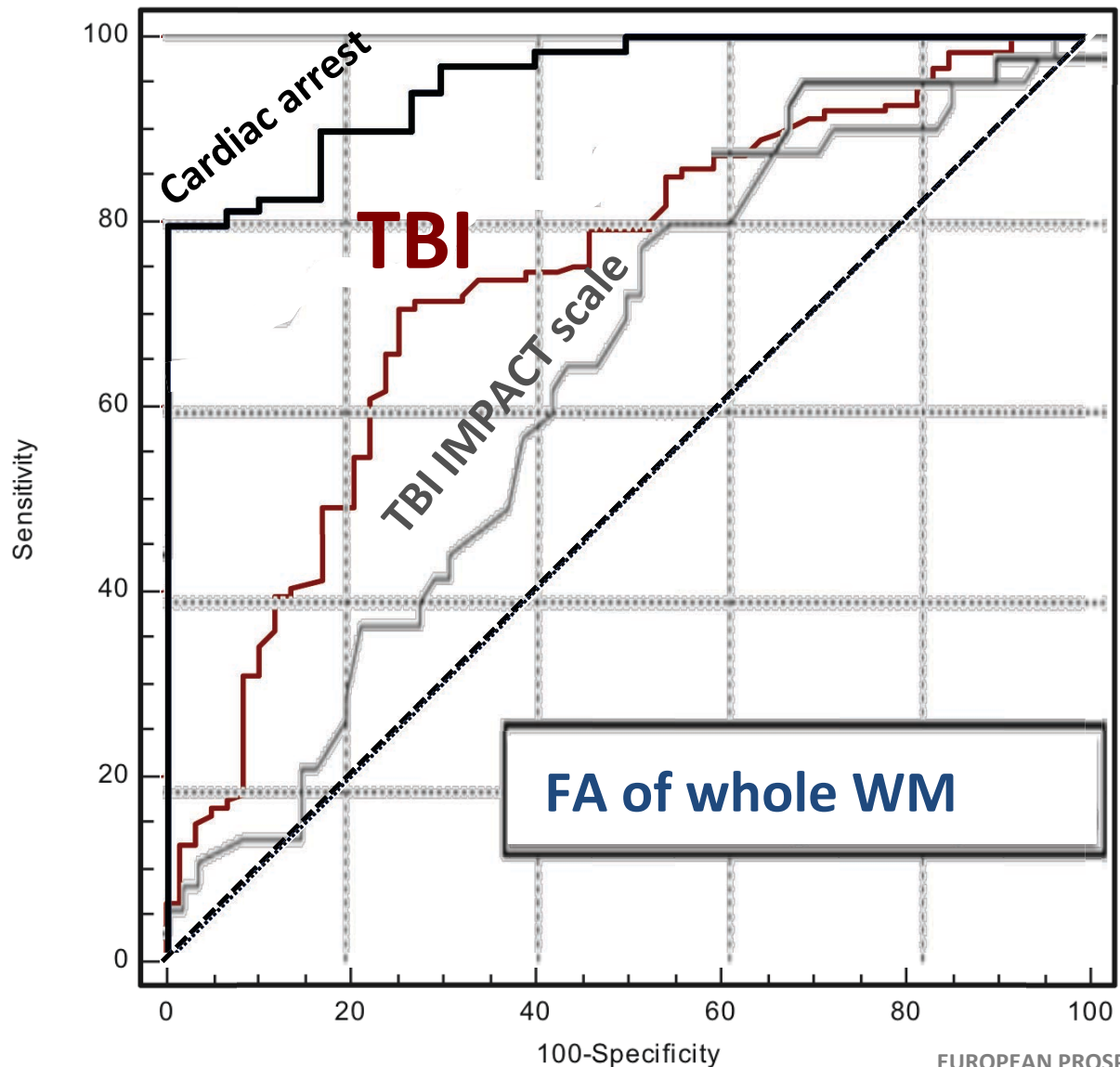
IRM multimodale & TBI



Outcome Prediction : Scatter Plot



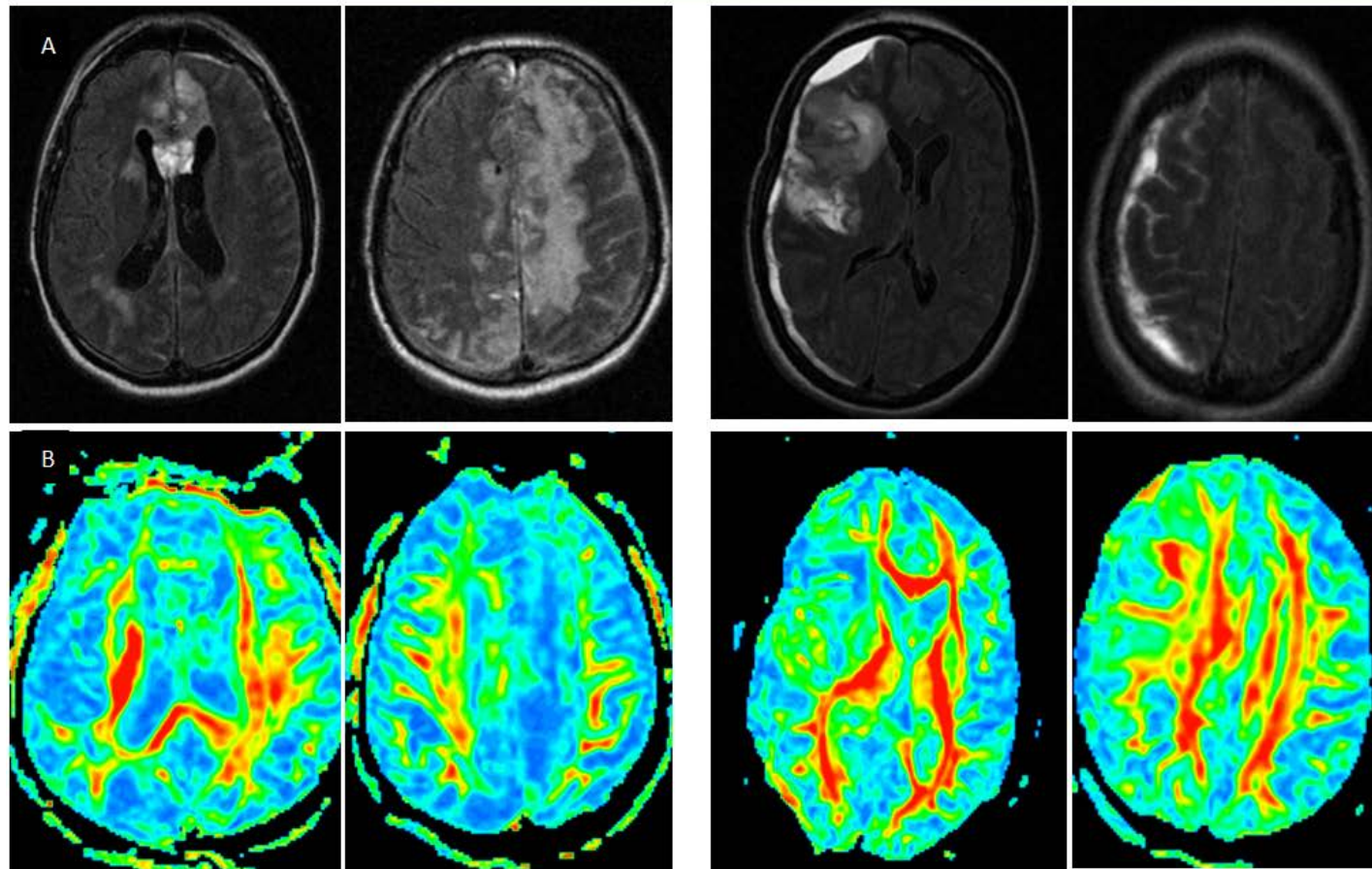
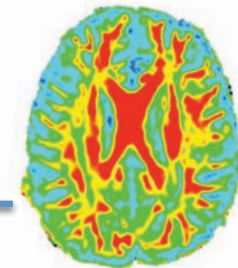
IRM multimodale & TBI



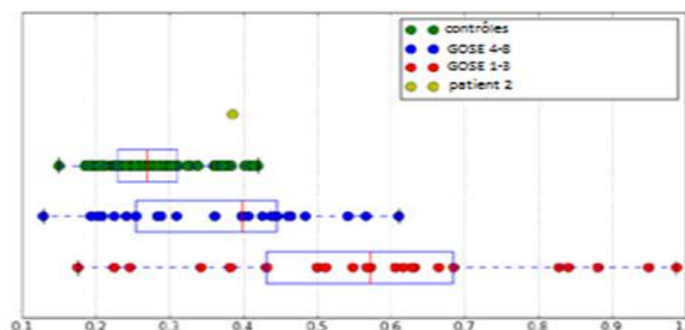
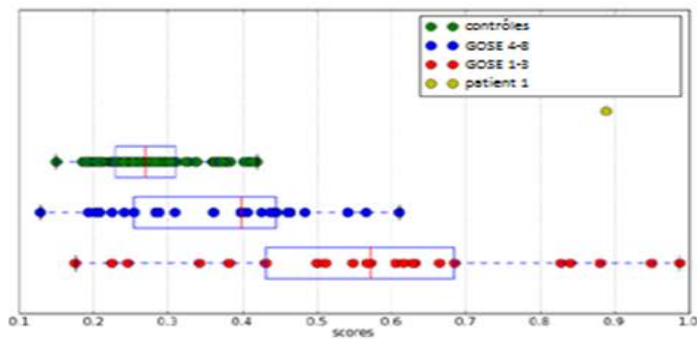
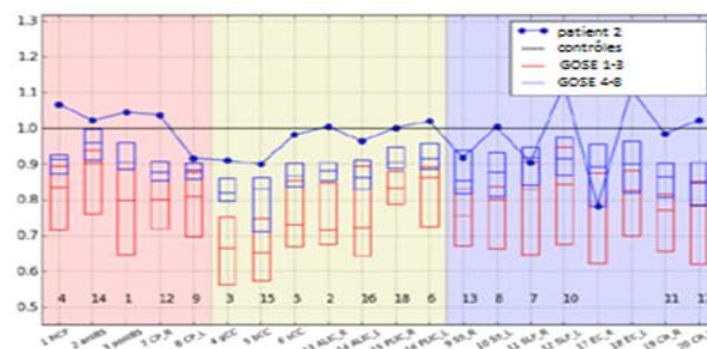
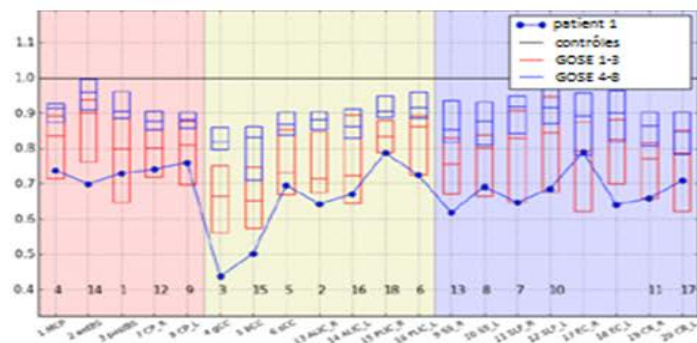
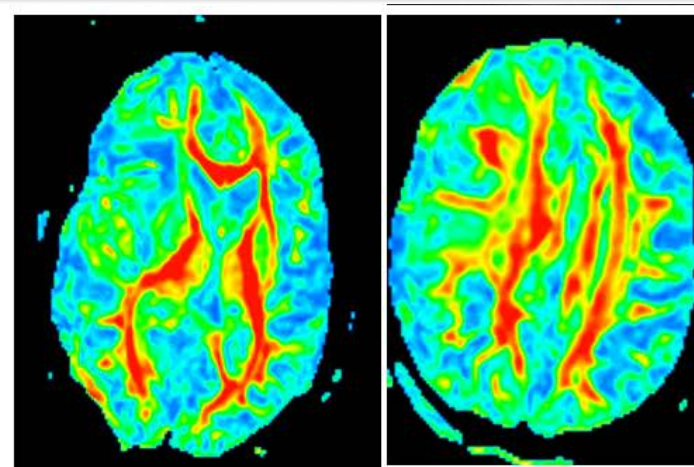
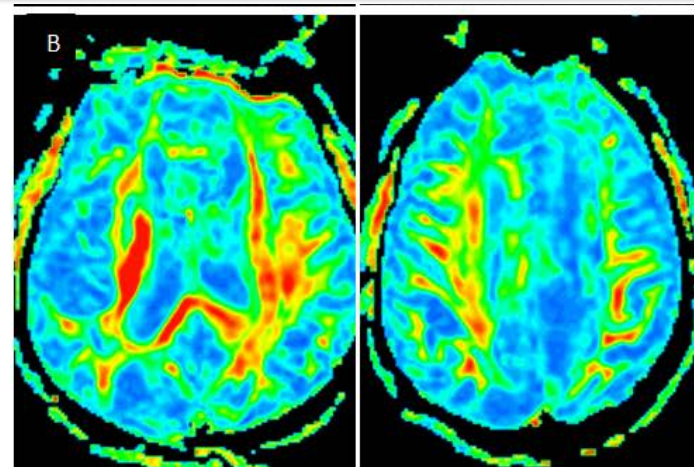
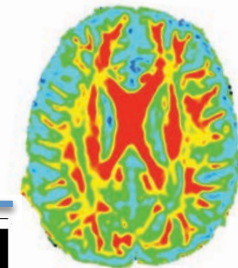
240 TBI in 16 ICU

EUROPEAN PROSPECTIVE MULTICENTER STUDY

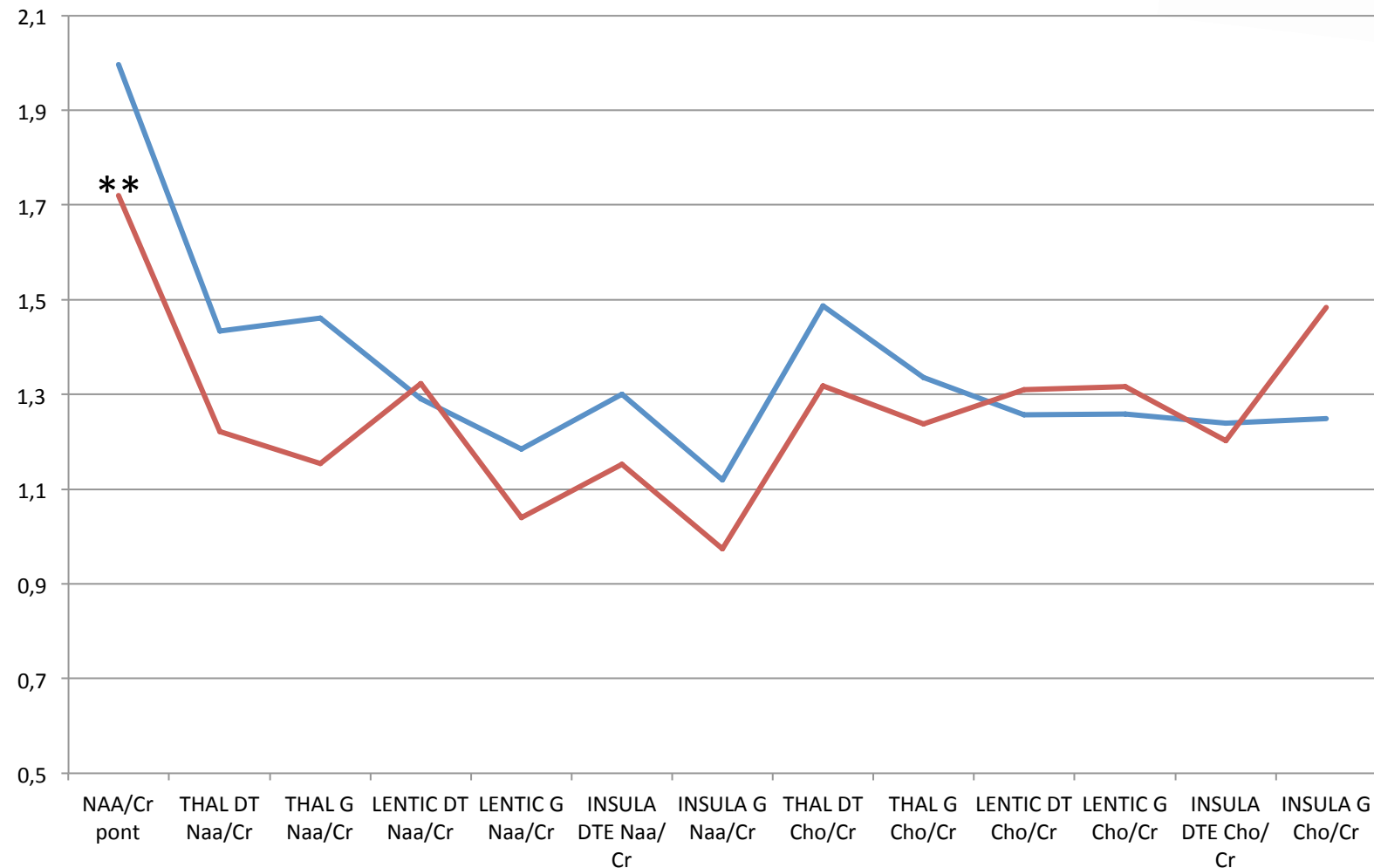
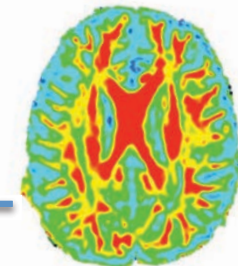
IRM multimodale & HSA



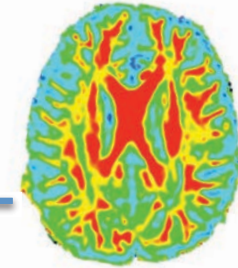
IRM multimodale & HSA



IRM multimodale & HSA

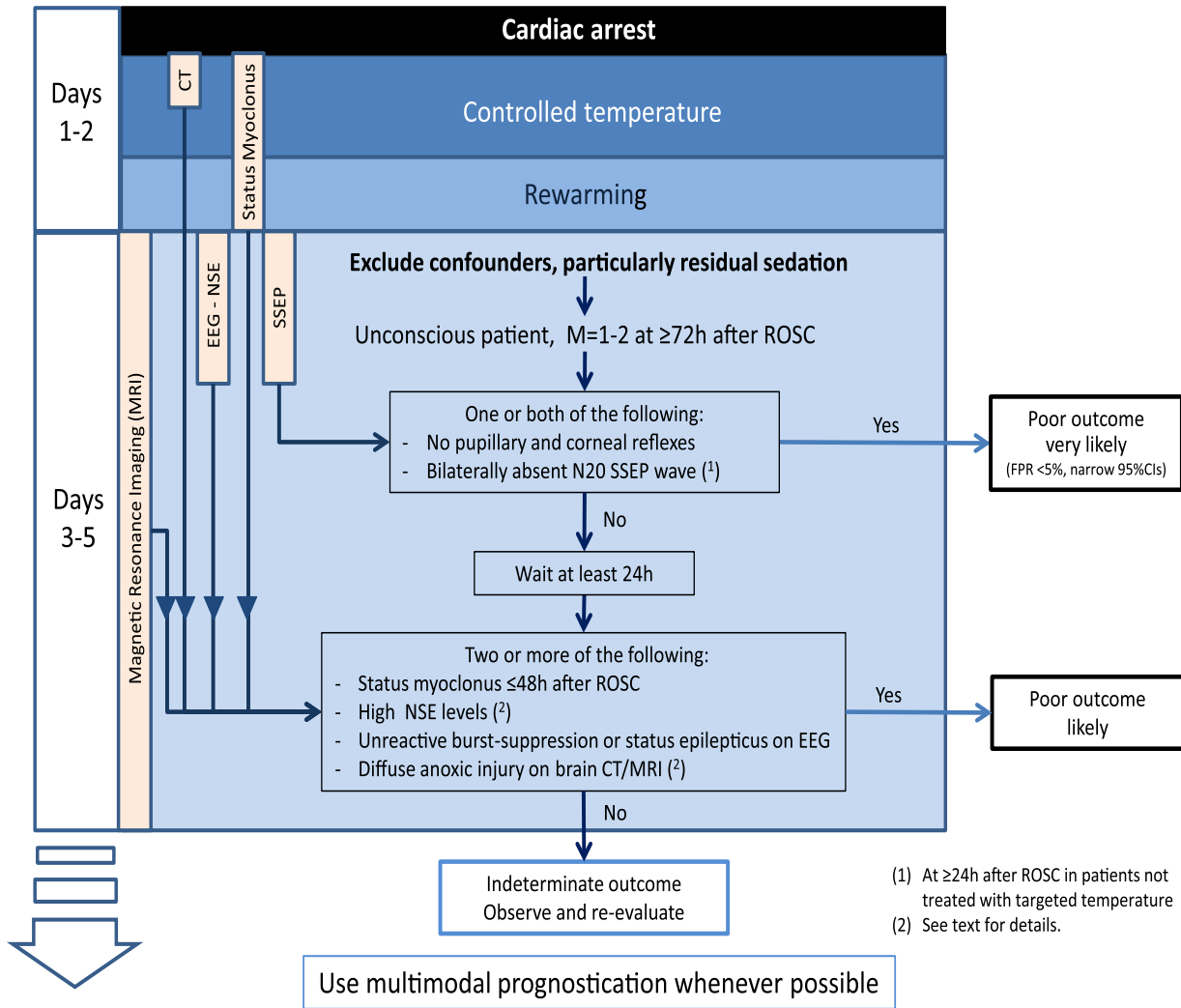


Conclusion



- Après anoxie cérébrale, en cas d'absence de réveil après 7 jours, l'IRM multimodale (DTI +SRM) permet de répondre dans quasi 100% des cas
- En cas de coma après TC grave, large zone grise du DTI
- Résultats plus prometteurs dans l'HSA

Conclusion



Recommendations European society of ICM, 2014